

بِسْمِ اللَّهِ الرَّحْمَنِ الرَّحِيمِ



دانشکده مهندسی مکانیک و مکاترونیک
پایان نامه کارشناسی ارشد مهندسی طراحی کاربردی

محاسبه ضرایب شدت تنش در یک محیط محدود ایزوتروپیک تحت شوک گرمایی با
در نظر گرفتن تئوری ترموالاستیسیته گرین-نقدي و با استفاده از روش المان
محدود توسعه یافته

نگارنده

محمد شاهسون طغان

اساتید راهنما

دکتر محمدباقر نظری

دکتر مسعود مهدی زاده رخی

بهمن ۱۳۹۷

تقدیم اثر

تمامی تلاش چندین ماهه‌ی خود را در این تحقیق به خانواده محترم و همسر عزیزم که با صبر و حوصله و همراهی‌های بی‌دریغشان، اینجانب را در پیشرفت هرچه بهتر پایان نامه‌یاری و مساعدت نموده‌اند، تقدیم می‌نمایم. امید است بتوانم ذره‌ای از محبت و دلداری‌های این یاران همیشگی را جبران نمایم.

تشکر و قدردانی

الکون که در سایه الطاف خداوند متعال این پایان نامه به انجام رسیده است، بر خود لازم میدانم از زحمات فراوان استاد بزرگوارم جناب آقای دکتر محمدباقر نظری که در منصب استاد راهنما توصیه های بی شائبه ی خود را در جهت گیری صحیح، تدوین و گردآوری پروژه ارائه نموده اند، مراتب سپاس را به جا آورم. همچنین از زحمات خالصانه جناب آقای دکتر مسعود مهدی زاده رخی که با در اختیار قرار دادن کدهای لازم و راهنمایی های خود بنده را یاری نموده اند، بسیار تشکر می کنم.

از جناب آقای دکتر اکبر زاده، مسئول محترم مرکز تحقیقاتی مکانیک محاسباتی و آقای مهندس درازکیو که بنده را جهت استفاده از سیستم پر سرعت یاری نموده اند، بسیار سپاسگزارم.

دوستان عزیزم آقایان مهندس وحید عصمتی و مهندس ادریس فری نژاد و کلیه کسانی که با سه صدر و حمایت های بی دریغ، اینجانب را در به ثمر رساندن این تحقیق یاری رسانده اند، خالصانه تشکر و قدردانی می نمایم و از درگاه ایزد منان توفیق روز افزون ایشان را خواستارم.

تعهد نامه

اینجانب محمد شاهسون طغان دانشجوی دوره کارشناسی ارشد رشته مهندسی مکانیک - طراحی کاربردی دانشکده مکانیک دانشگاه صنعتی شاهرود، نویسنده پایان نامه محاسبه ضرایب شدت تنش در یک محیط محدود ایزوتروپیک تحت شوک گرمایی با در نظر گرفتن تئوری ترموالاستیسیته گرین-نقدی و با استفاده از روش المان محدود توسعه-یافته تحت راهنمایی دکتر محمدباقر نظری و دکتر مسعود مهدی زاده رخی متعهد می شوم:

* تحقیقات در این پایان نامه توسط اینجانب انجام شده است.

* در استفاده از نتایج پژوهش‌های محققان دیگر به مرجع مورداستفاده استناد شده است.

* مطالب مندرج در پایان نامه تاکنون توسط خود یا فرد دیگری برای دریافت هیچگونه مدرک یا امتیازی در هیچ جا ارائه نشده است.

* کلیه حقوق معنوی این اثر متعلق به دانشگاه صنعتی شاهرود می باشد و مقالات مستخرج با نام « دانشگاه صنعتی شاهرود » و یا « Shahrood University of Technology » به چاپ خواهد رسید.

* حقوق معنوی تمام افرادی که در به دست آمدن نتایج اصلی پایان نامه تأثیر گذار بوده اند در مقالات مستخرج از پایان نامه رعایت می گردد.

* در کلیه مراحل انجام این پایان نامه در مواردی که به حوزه اطلاعات شخصی افراد دسترسی یافته یا از آن استفاده شده است، اصل رازداری، ضوابط و اصول اخلاق انسانی رعایت شده است.

تاریخ :

امضای دانشجو

مالکیت نتایج و حق نشر

* کلیه حقوق معنوی این اثر و محصولات آن (مقالات مستخرج، کتاب، برنامه‌های رایانه‌ای، نرم افزارها و ...) متعلق به دانشگاه صنعتی شاهرود می باشد.

* استفاده از اطلاعات و نتایج موجود در پایان نامه بدون ذکر منبع مجاز نمی باشد.

چکیده

در این پایان‌نامه، یک محیط ایزوتروپیک محدود دارای ترک تحت شوک گرمایی غیرکلاسیک مورد مطالعه قرار گرفته است. معادلات ترموالاستیسیته دینامیکی کوپل بر اساس تئوری ترموالاستیسیته گرین-نقدی^۱ در نظر گرفته شده است. روش المان محدود توسعه یافته برای گسسته سازی معادلات در فضا و روش ضمنی نیومارک جهت انتگرال گیری زمانی مورد استفاده قرار گرفته است. ضرایب شدت تنش که با استفاده از روش انتگرال برهم‌کنش محاسبه شده‌اند؛ با تئوری‌های دیگر ترموالاستیسیته مقایسه شده‌اند. اثر ضریب میرایی بر تغییرات زمانی ضرایب شدت تنش و میدان دما مورد بررسی قرار گرفته است. بعلاوه، توزیع دمای نوک ترک که موجب ایجاد آشفستگی در توزیع دما می‌شود؛ بر اساس مدل‌های II و III تئوری گرین-نقدی مقایسه شده‌اند. نتایج شوک دمایی صفحه دارای ترک نشان می‌دهد که ضرایب شدت تنش تئوری-گرین نقدی II که تئوری ترموالاستیسیته بدون اتلاف^۲ نیز گفته می‌شود به صورت چشمگیری از نتایج مدل‌های کلاسیک و لرد-شولمان^۳ بزرگتر هستند. درحالی‌که بیشینه ضریب شدت تنش تحت شوک شار گرمایی تقریباً با تئوری‌های دیگر برابر است.

کلیدواژگان

ضریب شدت تنش، المان محدود توسعه یافته، شوک گرمایی، تئوری گرین-نقدی.

^۱ Green-Naghdi (GN)

^۲ Thermoelasticity Without Energy Dissipation (TWED)

^۳ Lord-Shulman (LS)

مقالات مستخرج از پایان نامه

1. Shahsavan M., Nazari M. B. and Rokhi M. M. “Dynamic analysis of cracks under thermal shock considering thermoelasticity without energy dissipation” **J. Therm. Stress.** Accepted
2. Shahsavan M., Nazari M. B. and Rokhi M. M. “Thermal shock analysis of cracks considering Green-Naghdi theory” **Eng. Frac. Mech.** under review

فهرست عنوان‌ها

فهرست عنوان‌ها..... ط

فهرست نشانه‌ها..... ن

فصل ۱:..... ۱

مقدمه..... ۱

۱-۱- مقدمه..... ۲

۲-۱- مروری بر کارهای پیشین..... ۳

۳-۱- نوآوری..... ۷

فصل ۲:..... ۹

روش‌های المان محدود توسعه یافته وانتگرال برهم کنش..... ۹

۱-۲- مقدمه..... ۱۰

۲-۲- روش المان محدود توسعه یافته..... ۱۰

۳-۲- مدل سازی ترک در روش المان محدود توسعه یافته..... ۱۱

۴-۲- روش انتگرال برهم کنش..... ۱۴

۱-۴-۲- میدان‌های کمکی..... ۱۵

۲-۴-۲- فرمول بندی انتگرال برهم کنش..... ۱۶

۳-۴-۲- استخراج ضرایب شدت تنش..... ۲۰

۵-۲- تئوری گرین-نقدی..... ۲۱

۱-۵-۲- ساختار جاری تئوری گرین نقدی..... ۲۱

۱-۱-۵-۲- تعادل انتروپی..... ۲۱

۲-۱-۵-۲- تعادل انرژی، انرژی آزاد و تعادل انتروپی کاهش یافته..... ۲۲

۳-۱-۵-۲- جابه‌جایی گرمایی..... ۲۲

فصل ۳:..... ۲۵

استخراج معادلات حاکم تئوری گرین-نقدی نوع II..... ۲۵

۱-۳- مقدمه..... ۲۶

۲-۳- معادلات حاکم تئوری گرین نقدی II..... ۲۶

۳-۳- فرمول بندی المان محدود توسعه یافته..... ۲۷

- ۳-۴- نتایج ۳۰
- ۳-۴-۱- صفحه دارای ترک لبه‌ای تحت بارگذاری گرمایی گذرای متقارن ۳۱
- ۳-۴-۲- ترک افقی تحت شوک دمایی متقارن ۳۳
- ۳-۴-۳- ترک افقی تحت شوک دمایی نامتقارن ۳۷
- ۳-۴-۴- ترک افقی تحت شوک شار گرمایی متقارن ۴۰
- ۳-۴-۵- ترک مورب تحت شوک دمایی ۴۴

فصل ۴: ۴۹

استخراج معادلات حاکم تئوری گرین-نقدی نوع III ۴۹

- ۴-۱- مقدمه ۵۰
- ۴-۲- معادلات حاکم تئوری گرین-نقدی نوع III ۵۰
- ۴-۳- فرمول بندی المان محدود توسعه یافته ۵۲
- ۴-۴- نتایج ۵۵
- ۴-۴-۱- ترک مود I تحت شوک دمایی متقارن ۵۵
- ۴-۴-۲- اثر ضریب میرایی بر ضریب شدت تنش ۵۹
- ۴-۴-۳- ترک مورب تحت شوک دمایی ۶۳

فصل ۵: ۶۷

حل معادلات المان محدود توسعه یافته در فضای لاپلاس ۶۷

- ۵-۱- مقدمه ۶۸
- ۵-۲- اعمال تبدیل لاپلاس ۶۸
- ۵-۳- تبدیل لاپلاس معکوس عددی ۶۹
- ۵-۳-۱- روش دورباین ۷۰
- ۵-۳-۲- کاهش خطای گسسته‌سازی با استفاده از یک روش تصحیح کننده ۷۱
- ۵-۳-۳- شتاب همگرایی ۷۲
- ۵-۴- نتایج ۷۳

فصل ۶: ۷۵

نتیجه‌گیری و پیشنهادها ۷۵

- ۶-۱- نتیجه‌گیری ۷۶
- ۶-۲- پیشنهادها ۷۷

پیوست الف..... ۷۸

میدانهای کمکی حوزه نوک ترک ساکن در محیط ایزوتروپیک همگن..... ۷۸

منابع..... ۸۰

فهرست شکل‌ها

شکل (۱-۲) نمایش یک شبکه اجزا محدود توسعه‌یافته شامل ترک و گره‌های غنی‌شده ۱۱

شکل (۲-۲) محیط دو بعدی شامل ترک و دستگاه‌های مختصات دکارتی و قطبی نوک ترک ۱۶

شکل (۳-۲) تبدیل فرم کانتوری انتگرال J به فرم ناحیه‌ای [۴۷] ۱۷

شکل (۱-۳) صفحه مستطیلی شامل ترک عمود بر لبه تحت شوک گرمایی ۳۱

شکل (۲-۳) تغییرات زمانی ضریب شدت تنش مود I برای ترک لبه‌ای تحت بارگذاری گرمایی شبه ایستا. ۳۳

شکل (۳-۳) تاریخچه زمانی تغییرات دمای نوک ترک ۳۴

شکل (۴-۳) تغییرات زمانی ضریب شدت تنش مود I برای ترک نرمال تحت شوک گرمایی GNII ۳۶

شکل (۵-۳) استقلال از دامنه انتگرال برهم‌کنش برای ترک افقی تحت شوک دمایی متقارن ۳۶

شکل (۶-۳) حساسیت مش ضریب شدت تنش مود I ترک افقی تحت شوک دمایی متقارن ۳۷

شکل (۷-۳) صفحه مستطیلی دارای ترک عمود بر لبه تحت شوک دمایی نامتقارن ۳۸

شکل (۸-۳) استقلال از دامنه انتگرال برهم‌کنش برای ترک افقی تحت شوک گرمایی نامتقارن الف) مود I

ب) مود II ۳۹

شکل (۹-۳) حساسیت مش ضریب شدت تنش برای ترک افقی تحت شوک گرمایی نامتقارن الف) مود I ب)

مود II ۴۰

شکل (۱۰-۳) هندسه و بارگذاری ترک لبه‌ای تحت شوک شار گرمایی ۴۲

شکل (۱۱-۳) دمای نوک ترک بر اساس تئوری‌های CTE، L-S و GNII ۴۳

شکل (۱۲-۳) تاریخچه زمانی ضریب شدت تنش مود I بر اساس تئوری‌های CTE، L-S و GNII ۴۳

- شکل (۳-۱۳) هندسه و بارگذاری صفحه دارای ترک لبه‌ای مورب ۴۴
- شکل (۳-۱۴) تغییرات زمانی دمای نوک ترک بر اساس تئوری‌های CTE، L-S و GNII ۴۴
- شکل (۳-۱۵) تغییرات زمانی ضریب شدت تنش مود I بر اساس تئوری‌های CTE، L-S و GNII ۴۶
- شکل (۳-۱۶) تغییرات زمانی ضریب شدت تنش مود II بر اساس تئوری‌های CTE، L-S و GNII ۴۶
- شکل (۳-۱۷) توزیع دمای نزدیک نوک ترک بر اساس تئوری ترموالاستیسیته کلاسیک (راست) و گرین-نقدی نوع II (چپ). (a) $t=0.4$, (b) $t=0.8$, (c) $t=1.0$ ۴۷
- شکل (۳-۱۸) تغییر شکل صفحه دارای ترک در $t=0.7$ (چپ) و $t=1$ (راست) ۴۸
- شکل (۴-۱) تاریخچه زمانی دمای نوک ترک بر اساس تئوری‌های LS، CTE و GN ۵۶
- شکل (۴-۲) تاریخچه زمانی ضریب شدت تنش مود I برای ترک لبه‌ای تحت شوک گرمایی گرین-نقدی .. ۵۷
- شکل (۴-۳) استقلال دامنه انتگرال برهم‌کنش برای ترک افقی تحت شوک گرمایی متقارن طبق تئوری گرین-نقدی نوع III با $Ck2 = 0.05$ ۵۸
- شکل (۴-۴) حساسیت مش ضریب شدت تنش مود I برای ترک افقی تحت شوک گرمایی طبق تئوری گرین-نقدی نوع III با $Ck2 = 0.05$ ۵۸
- شکل (۴-۵) تاثیر گام زمانی بر ضریب شدت تنش مود I برای ترک افقی تحت شوک گرمایی طبق تئوری گرین-نقدی نوع III با $Ck2 = 0.05$ ۵۹
- شکل (۴-۶) تاثیر گام زمانی بر دمای نوک ترک مود I برای ترک افقی تحت شوک گرمایی طبق تئوری گرین-نقدی نوع III با $Ck2 = 0.05$ ۵۹
- شکل (۴-۷) اثر ضریب میرایی بر دمای نوک ترک تئوری گرین-نقدی نوع III ۶۰
- شکل (۴-۸) اثر ضریب میرایی بر ضریب شدت تنش مود I در شوک دمایی ۶۰
- شکل (۴-۹) هندسه و بارگذاری صفحه دارای ترک لبه‌ای تحت شوک شار گرمایی ۶۱
- شکل (۴-۱۰) اثر ضریب میرایی بر دمای نوک ترک تئوری گرین-نقدی نوع III تحت شوک شار گرمایی ... ۶۲
- شکل (۴-۱۱) اثر ضریب میرایی بر ضریب شدت تنش مود I تئوری گرین-نقدی تحت شوک شار گرمایی. ۶۲
- شکل (۴-۱۲) هندسه و بارگذاری صفحه دارای ترک مورب ۶۳

شکل (۴-۱۳) تاریخچه زمانی دمای نوک ترک بر اساس تئوری‌های گرین-نقدی و لرد-شولمان ۶۳

شکل (۴-۱۴) تاریخچه زمانی ضریب شدت تنش مود I طبق تئوری‌های کلاسیک ترموالاستیسیته، لرد-

شولمان و گرین-نقدی ۶۴

شکل (۴-۱۵) تاریخچه زمانی ضریب شدت تنش مود II بر اساس تئوری‌های کلاسیک ترموالاستیسیته، لرد-

شولمان و گرین-نقدی ۶۵

شکل (۴-۱۶) توزیع دمای نزدیک نوک ترک بر اساس تئوری گرین-نقدی نوع III (راست) و نوع II (چپ).

..... (a)t=0.4, (b) t=0.6, (c) t=0.8 ۶۶

شکل (۵-۱) متن خطای روش لاپلاس معکوس عددی با مش 101×401 المان ۷۳

شکل (۵-۲) متن خطای روش تبدیل لاپلاس معکوس عددی با مش 5×11 المان ۷۴

فهرست جدول‌ها

جدول (۳-۱) خواص جنس باریکه در مقاله [۵۸] ۳۲

جدول (۳-۲) خواص بیسموت ۳۳

فهرست نشانه‌ها

مساحت المان، (m^2)	<i>A</i>
مساحت ناحیه انتگرال برهمکنش، (m^2)	<i>A*</i>
طول ترک، (m)	<i>a</i>
بردار مجهولات گره‌ای مربوط به توابع شکل المان محدود	<i>a</i>
بردار نیروی کالبدی بر واحد حجم، (N/m^3)	<i>B</i>
بردار مجهولات گره‌ای مربوط به توابع شکل غنی شده با تابع هویساید	<i>b</i>
بردار مجهولات گره‌ای مربوط به توابع شکل غنی شده نوک ترک	<i>c</i>
ماتریس میرایی	[C]
سرعت موج تنش	<i>C_p</i>
سرعت موج دما	<i>C_T</i>
تنسور الاستیک (ماتریس خواص ماده)، (N/m^2)	[D]
مدول یانگ، (N/m^2)	<i>E</i>
بردار نیروهای گره‌ای، (N)	<i>F</i>
تابع زاویه‌ای میدان تنش نوک ترک	<i>f</i>
توابع غنی‌سازی نوک ترک، ($m^{0.5}$)	<i>F_m</i>
تابع هویساید	<i>H</i>
انتگرال J، (N/m)	<i>J</i>
هدایت گرمایی، ($W/(m \cdot ^\circ K)$)	<i>k</i>
ماتریس سفتی	[K]
ضریب شدت شار گرمایی	<i>K_T</i>
ضریب شدت تنش مد اول، ($N \cdot m^{-1.5}$)	<i>K_I</i>
ضریب شدت تنش مد دوم، ($N \cdot m^{-1.5}$)	<i>K_{II}</i>
طول مشخصه	<i>l</i>

[M]	ماتریس جرم، (kg)
M	انتگرال برهمکنش، (N/m)
N	تابع شکل روش المان محدود
N_A	مجموعه گره‌های شبکه
N_H	مجموعه گره‌های اطراف مسیر ترک
N_C	مجموعه گره‌های المان‌های نوک ترک
q	تابع وزنی برای محاسبه انتگرال برهمکنش، بی‌بعد
q_i	مؤلفه‌های بردار شار گرمایی بر واحد سطح، (W/m^2)
R	گرمای تولیدشده بر واحد حجم، (W/m^3)
r	مؤلفه دستگاه مختصات قطبی، (m)
T	دما، (K)
Tr	بردار نیروی سطحی بر واحد سطح، (N/m^2)
t	زمان، (sec)
U	بردار جابه‌جایی
u^{aux}	میدان جابه‌جایی کمکی
V	حجم، (m^3)
v	سرعت مشخصه (m/s)
W	عرض نمونه، (m)
W	چگالی انرژی کرنشی مکانیکی
X_1 و X_2	مؤلفه‌های دستگاه مختصات دکارتی سراسری، (m)
x_1 و x_2	مؤلفه‌های دستگاه مختصات دکارتی محلی، (m)
Z	تابع فاصله علامت‌دار، (m)

علامت‌های یونانی

α ضریب انبساط گرمایی، ($1/^\circ C$)

β	تانسور مدول تنش-دما
δ_{ij}	دلتهای کرونگر، بی بعد
ε	تانسور کرنش، بی بعد
ε^{aux}	تانسور کرنش کمکی، بی بعد
θ	تغییر دما، (K)
μ و λ	ثوابت لامه، (N/m^2)
κ	ضریب کلوسوف، بی بعد
ν	نسبت پواسون، بی بعد
ρ	چگالی، (kg/m^3)
φ	مؤلفه دستگاه مختصات قطبی، بی بعد
σ	تانسور تنش، (N/m^2)
σ^{aux}	تانسور تنش کمکی، (N/m^2)
Φ	تابع شکل غنی شده برای المانهای مسیر ترک، بی بعد
Ψ	تابع شکل غنی شده برای المانهای نوک ترک، بی بعد
ω	زاویه بین دستگاههای مختصات محلی و سراسری، بی بعد
Y	بردار مجهولات گره‌ای
Γ	مسیر انتگرال گیری در انتگرال J

بالانویس‌ها

aux	مربوط به میدانهای کمکی
S	مربوط به حالت برهم‌نهی
T	مربوط به دما
th	مربوط به حالت حرارتی
v و u	به ترتیب مربوط به جابجایی در جهت محورهای مختصات افقی و قائم
e	المان مبنا

زیرنویس‌ها

g	نشان‌دهنده مختصات سراسری
i	شمارنده، مربوط به مؤلفه x دستگاه مختصات دکارتی
j	شمارنده، مربوط به مؤلفه y دستگاه مختصات دکارتی
l	شمارنده مربوط به توابع شکل و همچنین نشان‌دهنده مختصات محلی
m	شمارنده، مربوط به توابع غنی‌سازی نوک ترک
n	شمارنده، مربوط به گره‌ها، گام زمانی و مؤلفه‌های دستگاه مختصات

فصل ۱:

مقدمه

۱-۱- مقدمه

برخی از قوانین متعارف مبتنی بر مکانیک پیوسته کلاسیک نمی‌توانند در بعضی موقعیت‌ها، پدیده‌ها را به‌درستی توصیف کنند. یکی از این موارد هدایت گرمایی فوریه است. تئوری مرسوم هدایت گرمایی فوریه منجر به معادله حاکم بر سهموی در مسئله می‌شود. بر اساس این تئوری، اثر یک اغتشاش گرمایی در مرز یک جسم بلافاصله در نقاط دور از آن احساس می‌شود که از نظر فیزیکی قابل قبول نیست. از طرف دیگر، آزمایش‌ها در مواردی چون اغتشاش گرمایی در دماهای پایین، شوک‌های گرمایی^۱ در زمان‌های کوتاه و هدایت گرمایی در مقیاس میکرو، سرعت محدود موج گرما را تأیید می‌کند [۱]. انتشار گرما به‌عنوان یک موج حرارتی ابتدا در سال ۱۹۴۶، پس از مشاهده سرعت محدود انتشار گرما در مایع هلیوم II پیشنهاد شد [۳و۲]. انتقال انرژی گرمایی با سرعت محدود در جامدات که به اصطلاح صوت ثانویه نامیده می‌شود، در [۵و۴] مورد بحث قرار گرفته است. بعلاوه، مشاهدات تجربی، سرعت محدود هدایت گرمایی در مسائل بیولوژیکی [۶]، هدایت گرمایی میکرو / نانو یا هدایت گرمایی فوق سریع را تأیید می‌کنند [۷]. در این موارد، نتایج کاربرد قانون فوریه با نتایج آزمایشگاهی اختلاف فاحش دارد [۸]. مهم‌ترین نقص قانون فوریه و تئوری ترموالاستیسیته کلاسیک^۲، منجر شدن به سرعت بی‌نهایت موج گرمایی است. برای رفع این مشکل، تئوری‌های مختلف ترموالاستیسیته تعمیم‌یافته^۳ ارائه شده‌اند که در آن‌ها انرژی گرمایی با سرعت محدود در یک جامد پیوسته منتشر می‌شود [۹-۱۲]. از طرف دیگر هنگامی که نرخ زمانی اعمال شرایط مرزی دمایی بر یک پیوستار تغییر شکل‌پذیر یا نرخ تغییرات منبع تولید گرمای داخلی قابل توجه باشد و منجر به تحریک اینرسی شود؛ موج‌های تنش گرمایی تولید می‌شود. در چنین شرایطی میدان‌های دما و تنش باید با حل هم‌زمان معادلات انرژی و تعادل (معادلات جفت شده تئوری‌های تعمیم‌یافته ترموالاستیسیته) صورت گیرد [۱۳].

در تئوری‌های ترموالاستیسیته تعمیم‌یافته، سرعت انتقال امواج گرما به علت استفاده از زمان‌های آسایش

^۱ Thermal Shock

^۲ Classic Thermoelasticity (CTE)

^۳ Generalized Thermoelasticity

و فرم هذلولوی معادله هدایت گرمایی محدود است. پیدایش اثر صوت ثانویه باعث تقویت و گسترش تئوری‌های هدایت گرمایی غیرکلاسیک شده است [۶]. بررسی نظریه‌های ترموالاستیسیته تعمیم یافته توسط هتনারسکی و اسلامی انجام شده است [۱۴].

۱-۲- مروری بر کارهای پیشین

تئوری تعمیم یافته گرین-نقدی در اوایل ۱۹۹۰ توسط گرین و نقدی [۱۵ و ۱۶] پیشنهاد شده است. تئوری گرین-نقدی به صورت ترمودینامیکی سازگار استخراج شده است و بر اساس انتخاب متغیرهای حالت ترمودینامیکی مستقل به سه زیر نظریه تقسیم می‌شود که دامنه نسبتاً گسترده‌ای از مسائل هدایت گرمایی را پوشش می‌دهد. رویکرد گرین و نقدی در این نظریه تفاوت قابل توجهی با روش معمول مکانیک محیط پیوسته کلاسیک دارد [۱۷]. در تئوری گرین-نقدی تعادل آنتروپی به عنوان معادله پایه به جای تعادل انرژی مورد استفاده قرار گرفته است. علاوه بر این، نابرابری کلازیوس-دوهامل به عنوان قانون دوم ترمودینامیک استفاده نمی‌شود. در این تئوری مفهوم جابه‌جایی گرمایی^۱ ارائه شده است. جابه‌جایی گرمایی میدانی است که مشتق زمانی آن دمای تجربی را نتیجه می‌دهد. جابه‌جایی گرمایی یک کمیت ماکروسکوپی است که می‌تواند - برای درک بهتر متغیرهای ترمودینامیکی و آنچه در هدایت گرمایی اتفاق می‌افتد - به عنوان پل بین مکانیک محیط پیوسته و نظریه مولکولی با توجه به نظریه گرین-نقدی در نظر گرفته شود [۱۸]. یکی دیگر از ویژگی‌های روش گرین و نقدی استخراج بردار شار آنتروپی از یک تابع پتانسیل (تابع انرژی آزاد) است که تانسور تنش نیز از آن استخراج می‌شود. تئوری گرین-نقدی نوع I منجر به استخراج نتایج تئوری کلاسیک ترموالاستیسیته می‌شود و سرعت نامحدود امواج گرما را پیش‌بینی می‌کند. تئوری گرین-نقدی نوع II موج گرمایی حاصل از آن نامیراست. تئوری گرین-نقدی نوع III نیز حالت عمومی‌تر این تئوری است که در حالت کلی قادر به در نظر گرفتن اثر میرایی و صوت ثانویه است که سرعت محدود موج گرما را به دنبال دارد. برخی تحقیقات انجام شده بر روی انتشار موج ترموالاستیک یک بعدی با استفاده از تئوری گرین-نقدی به صورت تحلیلی و

^۱Thermal Displacement

برخی با استفاده از روش‌های عددی انجام شده‌اند.

تئوری ترموالاستیسیته خطی گرین نقدی II برای مطالعه موج یک بعدی در یک نیم فضا از جنس مواد همگن و همسانگرد مورد استفاده قرار گرفته است. حل دقیق به صورت فرم بسته با استفاده از تبدیل لاپلاس ارائه شده است [۱۹]. تئوری خطی ترموالاستیسیته گرین نقدی II جهت بررسی برهم کنش جسم بی نهایت دارای یک حفره استوانه ای مورد استفاده قرار گرفته است. حل یا استفاده از تکنیک لاپلاس انجام شده است [۲۰]. برهم کنش ترموالاستیک ناشی از منبع گرمای نقطه ای با استفاده از تئوری ترموالاستیسیته گرین نقدی II خطی و تبدیل لاپلاس مورد مطالعه قرار گرفته است. حل تحلیلی به شکل یک فرم بسته برای میدان-های جابه‌جایی، تنش و نیز دما ارائه شده است [۲۱]. آشفتگی ناشی از بارهای مکانیکی نقطه‌ای و منبع گرمای داخلی بر مرز یک نیم فضای ترموالاستیک همگن و همسانگرد با اعمال تبدیل‌های لاپلاس و هنکل در چارچوب ترموالاستیسیته تعمیم‌یافته مورد بررسی قرار گرفته است [۲۲]. امواج یک بعدی در یک نیم فضا تحت بارهای گرمایی با در نظر گرفتن تئوری ترموالاستیسیته گرین نقدی II مورد مطالعه قرار گرفته است [۲۳]. فرمول بندی متحد تئوری‌های ترموالاستیسیته تعمیم‌یافته شامل تئوری‌های لرد-شولمان، گرین-لیندزی و گرین-نقدی ارائه شده است. روابط حاکم متحد جهت مواد همگن و همسانگرد ارائه شده و پس از بی‌بعدسازی به صورت تحلیلی در فضای لاپلاس حل شده و سپس به فضای زمان نگاشت شده است [۲۴]. از فرم متحد معادلات ترموالاستیسیته شامل تئوری‌های لرد-شولمان، گرین-نقدی و گرین-لیندزی جهت بررسی انتشار امواج گرما در یک باریکه استفاده شده است. معادلات به صورت تحلیلی در فضای لاپلاس حل شده و سپس با استفاده از تبدیل لاپلاس معکوس عددی، نتایج در فضای زمان ارائه شده است [۲۵]. حل تحلیلی معادلات حاکم ترموالاستیسیته براساس تئوری ترموالاستیسیته گرین نقدی II در حالت کوپل برای استوانه جدار ضخیم انجام شده است. فرض شده که مرز استوانه تحت شوک گرمایی یک بعدی قرار دارد. در نهایت، انتشار امواج گرمایی و الاستیک مورد بحث و بررسی قرار گرفته است [۲۶]. تحلیل ترموالاستیسیته غیرخطی کلاسیک و ترموالاستیسیته تعمیم‌یافته برای یک استوانه جدار ضخیم مدرج تابعی با خواص وابسته به دما تحت شوک گرمایی با استفاده از روش‌های عددی ارائه شده است [۲۷].

رفتار ترموالاستیسیته کوپل استوانه جدار ضخیم مدرج تابعی مورد بررسی قرار گرفته است. معادلات حاکم برای استوانه به طول محدود تحت شوک گرمایی به صورت عددی حل شده است. خواص استوانه نیز در راستای شعاعی به صورت توانی متغیر در نظر گرفته شده است [۲۸].

از سوی دیگر، ایجاد و رشد ترک ها، مد عمده شکست در سازه‌هایی است که تحت گرادیان شدید گرما قرار دارند. تخمین عمر، ارزیابی سلامت و همچنین ظرفیت بار به تحلیل کامل ترک تحت تنش‌های گرمایی نیاز دارد. روش‌های تحلیلی مانند پرتوبیشتن به مسائل ساده یا شرایط خاص محدود می‌شوند. در برخی از تحقیقات انجام‌شده، ضریب شدت تنش^۱ مود I برای یک باریکه دارای ترک تحت شوک گرمایی استخراج شده است. یک باریکه مدرج تابعی بدون قید مکانیکی دارای تعادل استاتیکی در نظر گرفته شده که دارای ترک داخلی یا لبه‌ای عمود بر مرز خود باشد. مسئله ترک به یک معادله انتگرالی کاهش داده شده و با استفاده از روش‌های عددی حل شده است. ضرایب شدت تنش گرمایی برای ترک داخلی و سطحی باریکه مدرج تابعی ارائه شده است [۲۹]. رفتار شکست صفحه مدرج تابعی تحت شوک گرمایی مورد مطالعه قرار گرفته است. خواص صفحه دارای ترک، در راستای شعاعی متغیر در نظر گرفته شده است. تنش‌های گرمایی و نیز ضرایب شدت تنش گرمایی برای صفحه دارای ترک ارائه شده است [۳۰]. مسئله ترموالاستیک غیرکوپل باریکه همگن و همسانگرد شامل ترک لبه‌ای در نظر گرفته شده است. معادلات حاکم به یک معادله انتگرالی کاهش داده شده است و سپس با استفاده از روش‌های عددی حل شده است. ضرایب شدت تنش گرمایی برای ترک با طول نسبی متفاوت ارائه شده است [۳۱]. بعلاوه، روش‌های عددی نیز برای مطالعه مسائل شکست گرمایی مورداستفاده قرار گرفته است. روش المان مرزی دوگانه^۲ برای تحلیل ترک تحت بارگذاری گرمایی غیرکوپل پیشنهاد شد [۳۲ و ۳۳]. همچنین، این روش برای مطالعه مسائل ترک ترموالاستیک سه بعدی توسعه داده شده است [۳۴]. روش المان مرزی-دامنه^۳ در [۳۵ و ۳۶] برای تعیین ضرایب شدت تنش صفحه مدرج تابعی دارای ترک تحت شوک گرمایی کلاسیک پیشنهاد شده است. روش المان مرزی با المان‌های تکین در فضای لاپلاس برای

^۱ Stress Intensity Factor (SIF)

^۲ Boundary Element Method (BEM)

^۳ Boundary Domain Element Method (BDEM)

استخراج ضریب شدت تنش مود I با استفاده از روش همبستگی جابه‌جایی برای یک باریکه دارای ترک تحت شوک گرمایی بر اساس تئوری‌های کلاسیک ترموالاستیسیته [۳۷]، لرد شولمان [۳۸] و گرین-لیندزی^۱ [۳۹] مورد استفاده قرار گرفته است. اثر اینرسی و کوپل بر ضریب شدت تنش و انتگرال J برای یک باریکه دارای ترک تحت شوک گرمایی بر اساس تئوری ترموالاستیسیته کلاسیک در [۴۰] مورد بحث قرار گرفته است. اثر صوت ثانویه طبق مدل لرد-شولمان بر روی ضرایب شدت تنش باریکه دارای ترک در [۴۱] مورد بررسی قرار گرفته است. در این مطالعه، المان‌های چهارضلعی تکین در روش المان محدود برای محاسبه تکینی تنش در یک باریکه مورد استفاده قرار گرفته است که دارای ترک عمود بر لبه است. انتگرال J برای محاسبه ضریب شدت تنش مود I در یک باریکه مدرج تابعی دارای ترک مورد استفاده قرار گرفته است که مدل المان محدود آن شامل مش ریز غیریکنواخت با المان‌های ۸ گره‌ای تحت شوک گرمایی کلاسیک است [۴۲]. در میان روش‌های مختلف مکانیک شکست محاسباتی، روش عددی المان محدود توسعه یافته^۲ و همچنین نسخه‌های دیگر مانند روش المان محدود تعمیم‌یافته به‌عنوان یک ابزار کارآمد و قوی برای تحلیل ترک است [۴۳]. در روش المان محدود توسعه یافته، سادگی و قدرت روش المان محدود کلاسیک با کارایی و دقت روش‌های بدون مش ادغام می‌شود. مسائل پیچیده مدل‌سازی ترک در روش المان محدود کلاسیک در روش المان محدود توسعه یافته با در نظر گرفتن ترک در توابع تقریبی به‌جای هندسه، حل می‌شوند [۴۴]. در چارچوب روش المان محدود توسعه یافته، محاسبات ضرایب شدت تنش و رشد ترک در مواد غیرایزوتروپیک تحت بارگذاری گرمایی حالت پایا در [۴۵] گزارش شده است. بعلاوه، ضرایب شدت تنش دینامیکی باریکه دارای ترک تحت شوک گرمایی غیرکوپل با استفاده از انتگرال برهم‌کنش در [۴۶] محاسبه شده است. اخیراً انتگرال برهم‌کنش مبتنی بر انتگرال J برای استخراج ضرایب شدت تنش در یک صفحه ترک خورده تحت شوک گرمایی بر اساس مدل گرین-لیندزی توسعه یافته است [۴۷]. اثر شوک گرمایی غیر کلاسیک طبق تئوری LS بر تاریخچه زمانی ضرایب شدت تنش در [۴۸] مورد بحث قرار گرفته است.

^۱ Green-Lindsay (GL)

^۲ Extended Finite Element Method (XFEM)

۱-۳- نوآوری

استفاده از روش اجزا محدود توسعه یافته برای ترک تحت شوک گرمایی طبق تئوری گرین-نقدی از جمله نوآوری‌های پایان نامه حاضر است. فصل‌های بعدی این پایان نامه به شرح ذیل سازمان‌دهی شده‌اند: در فصل دوم روش اجزا محدود توسعه یافته و روش انتگرال برهم‌کنش بیان شده است. در فصل سوم به گسسته‌سازی فرم اجزا محدود معادلات حاکم ترموالاستیسیته تعمیم یافته دوبعدی بر اساس تئوری گرین-نقدی نوع II و نیز ارائه نتایج حاصل از این تئوری پرداخته شده است. در فصل چهارم، گسسته‌سازی فرم اجزا محدود معادلات حاکم ترموالاستیسیته تعمیم یافته دوبعدی بر اساس تئوری گرین-نقدی نوع III و نیز نتایج حاصل از این تئوری ارائه شده است. در فصل پنجم، معادلات المان محدود در فضای لاپلاس حل شده و روش تبدیل لاپلاس معکوس عددی شرح داده شده است. نتیجه‌گیری و پیشنهادها نیز در فصل ششم پایان نامه ارائه شده‌اند.

فصل ۲:

روش‌های المان محدود توسعه یافته و

انتگرال برهم‌کنش

۲-۱- مقدمه

روش‌های عددی در حل مسائل مهندسی از فرایندهای گسترده و پرکاربرد است. به خصوص زمانی که حل چنین مسائلی از طریق روش‌های تحلیلی یا تجربی به علت پیچیدگی‌های هندسی یا شرایط مرزی امکان‌پذیر نباشد. در این پایان‌نامه از روش اجزا محدود توسعه‌یافته جهت مدل‌سازی ترک در یک صفحه محدود استفاده شده است که تحت شوک گرمایی غیر کلاسیک با استفاده از تئوری‌های تعمیم‌یافته ترموالاستیسیته قرار دارد.

۲-۲- روش المان محدود توسعه‌یافته

در این پایان‌نامه، از روش المان محدود توسعه‌یافته برای مدل‌سازی ترک استفاده شده است. در این روش، توابع شکل روش المان محدود در المان‌های مسیر ترک و نوک ترک غنی‌سازی می‌شوند. توابع غنی‌سازی منجر به افزایش درجات آزادی المان‌های مسیر و نیز نوک ترک نسبت به روش المان محدود می‌شوند. استفاده از روش المان محدود توسعه‌یافته در ابتدا توسط بلیچکو و همکارانش جهت مدل‌سازی ناپیوستگی‌های دلخواه در شبکه‌های المان محدود کلاسیک پیشنهاد شد [۴۹-۵۱]. در مدل‌سازی ترک با استفاده از روش المان محدود توسعه‌یافته در اولین گام، هندسه مسئله شبکه‌بندی می‌شود و در گام دوم المان‌های حاضر در مسیر و نوک ترک با استفاده از توابع غنی‌سازی، غنی‌سازی می‌شوند.

در این روش تابع غنی‌سازی با استفاده از تقریب زیر در دو جهت $u(x)$ و $v(x)$ به دست می‌آید [۵۲]:

$$U(x, y, t) = \sum_{\forall i} N_i(x) a_i + \sum_{\forall i} \phi_i(x) \Psi(x) b_i \quad (1-2)$$

در رابطه فوق، جمله اول تقریب المان محدود کلاسیک است که در آن N_i ها توابع شکل روش المان محدود کلاسیک هستند. در رابطه (۱-۲)، a_i ها درجات آزادی المان محدود کلاسیک هستند.

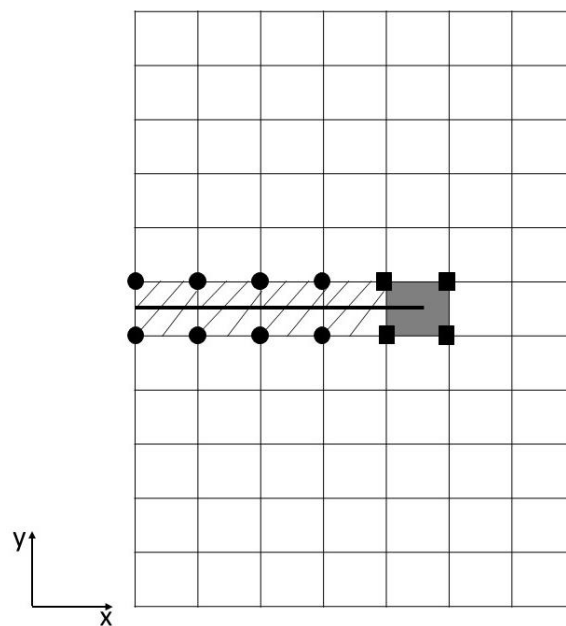
جمله دوم رابطه شامل عبارتهای غنی‌سازی است. $\phi_i(x)$ نشان‌دهنده توابع شکل، $\Psi(x)$ تابع غنی‌سازی و b_i پارامترهای مجهول مجازی هستند.

در حالت کلی، توابع شکل برای تقریب مورداستفاده در روش‌های المان محدود کلاسیک و تعمیم‌یافته ممکن

است یکسان نباشند؛ اما استفاده از توابع یکسان منجر به محدودیتی در حل مسئله نمی‌شود [۵۲]. در این تحقیق توابع شکل یکسان در نظر گرفته شده است.

۳-۲- مدل سازی ترک در روش المان محدود توسعه یافته

در این بخش، فرایند مدل سازی ترک در روش المان محدود توسعه یافته شرح داده می‌شود. مدل المان محدود یک جسم دارای ترک در شکل (۱-۲) نشان داده شده است. مطابق شکل (۱-۲) فرض می‌شود N_A نشان دهنده تعداد تمام گره‌های شبکه المان محدود، N_C تعداد گره‌های المان‌های اطراف نوک ترک و N_H تعداد گره‌های المان‌های مسیر ترک باشند. در این شکل المان‌های هاشور خورده، المان‌های مسیر ترک و المان پررنگ شده، المان نوک ترک است. گره‌هایی که توسط مربع و دایره مشخص شده‌اند، به ترتیب گره‌های غنی شده نوک ترک و مسیر ترک هستند. مجموع این گره‌ها، به عنوان گره‌های غنی شده شناخته می‌شوند.



شکل (۱-۲) نمایش یک شبکه اجزا محدود توسعه یافته شامل ترک و گره‌های غنی شده

در روش المان محدود توسعه یافته میدان جابه‌جایی برای یک المان غنی شده شامل ترک به صورت زیر قابل بیان است [۵۳]:

$$\begin{aligned} \mathbf{U}(x, y, t) = & \sum_{n \in N_A} N_n(x, y) \mathbf{a}_n(t) + \sum_{n \in N_H} N_n(x, y) [\mathbf{H}(\mathbf{Z}) - \mathbf{H}(\mathbf{Z}_n)] \mathbf{b}_n(t) \\ & + \sum_{\mathbf{m}} \sum_{n \in N_C} N_n(x, y) [F_{\mathbf{m}}(\mathbf{r}, \varphi) - F_{\mathbf{m}}(\mathbf{r}_n, \varphi_n)] \mathbf{c}_{nm}(t) \end{aligned} \quad (2-2)$$

که $\mathbf{a}_n(t)$ ، $\mathbf{b}_n(t)$ و $\mathbf{c}_{nm}(t)$ در رابطه فوق، مجهولات گره‌ای هستند. این بردارهای مجهول تابع زمان هستند.

$$\mathbf{a}_n(t) = \{\mathbf{a}_n^u(t), \mathbf{a}_n^v(t)\}^T \quad (3-2)$$

$$\mathbf{b}_n(t) = \{\mathbf{b}_n^u(t), \mathbf{b}_n^v(t)\}^T \quad (4-2)$$

$$\mathbf{c}_{nm}(t) = \{\mathbf{c}_{nm}^u(t), \mathbf{c}_{nm}^v(t)\}^T \quad (5-2)$$

در رابطه (2-2)، $\mathbf{H}(\mathbf{Z})$ تابع هویساید به صورت زیر قابل بیان است:

$$\mathbf{H}(\mathbf{Z}) = \begin{cases} \mathbf{1}, & \mathbf{Z} > \mathbf{0} \\ \mathbf{0}, & \mathbf{Z} \leq \mathbf{0} \end{cases} \quad (6-2)$$

در رابطه فوق، \mathbf{Z} تابعی از موقعیت یک نقطه نسبت به مسیر ترک است.

در رابطه (2-2)، $F_{\mathbf{m}}$ مجموعه‌ای از توابع غنی‌سازی نوک ترک است. توابع غنی‌سازی برحسب مختصات

محلی نوک ترک (\mathbf{r} و φ) به صورت رابطه (2-7) ارائه می‌شوند [53].

$$\{F_{\mathbf{m}}\} = \left\{ \sqrt{r} \sin\left(\frac{\varphi}{2}\right), \sqrt{r} \cos\left(\frac{\varphi}{2}\right), \sqrt{r} \sin(\varphi) \sin\left(\frac{\varphi}{2}\right), \sqrt{r} \sin(\varphi) \cos\left(\frac{\varphi}{2}\right) \right\} \quad (7-2)$$

مؤلفه‌های میدان جابه‌جایی در روش المان محدود توسعه‌یافته -در جهت محورهای مختصات سراسری-

به صورت زیر تعیین می‌شوند.

$$\begin{aligned} \mathbf{u}(x, y, t) = & \sum_{n \in N_A} N_n(x, y) \mathbf{a}_n^u(t) + \sum_{n \in N_H} N_n(x, y) [\mathbf{H}(\mathbf{Z}) - \mathbf{H}(\mathbf{Z}_n)] \mathbf{b}_n^u(t) \\ & + \sum_{n \in N_C} N_n(x, y) \left[\sqrt{r} \sin\left(\frac{\varphi}{2}\right) - \sqrt{r_n} \sin\left(\frac{\varphi_n}{2}\right) \right] \mathbf{c}_{n1}^u(t) \\ & + \sum_{n \in N_C} N_n(x, y) \left[\sqrt{r} \cos\left(\frac{\varphi}{2}\right) - \sqrt{r_n} \cos\left(\frac{\varphi_n}{2}\right) \right] \mathbf{c}_{n2}^u(t) \end{aligned} \quad (8-2)$$

$$\begin{aligned}
& + \sum_{n \in N_C} N_n(x, y) \left[\sqrt{r} \sin(\varphi) \sin\left(\frac{\varphi}{2}\right) - \sqrt{r_n} \sin(\varphi_n) \sin\left(\frac{\varphi_n}{2}\right) \right] c_{n3}^u(t) \\
& + \sum_{n \in N_C} N_n(x, y) \left[\sqrt{r} \sin(\varphi) \cos\left(\frac{\varphi}{2}\right) - \sqrt{r_n} \sin(\varphi_n) \cos\left(\frac{\varphi_n}{2}\right) \right] c_{n4}^u(t) \\
\\
\mathbf{v}(x, y, t) & = \sum_{n \in N_A} N_n(x, y) \mathbf{a}_n^v(t) + \sum_{n \in N_H} N_n(x, y) [\mathbf{H}(\mathbf{Z}) - \mathbf{H}(\mathbf{Z}_n)] \mathbf{b}_n^v(t) \\
& + \sum_{n \in N_C} N_n(x, y) \left[\sqrt{r} \sin\left(\frac{\varphi}{2}\right) - \sqrt{r_n} \sin\left(\frac{\varphi_n}{2}\right) \right] c_{n1}^v(t) \\
& + \sum_{n \in N_C} N_n(x, y) \left[\sqrt{r} \cos\left(\frac{\varphi}{2}\right) - \sqrt{r_n} \cos\left(\frac{\varphi_n}{2}\right) \right] c_{n2}^v(t) \\
& + \sum_{n \in N_C} N_n(x, y) \left[\sqrt{r} \sin(\varphi) \sin\left(\frac{\varphi}{2}\right) - \sqrt{r_n} \sin(\varphi_n) \sin\left(\frac{\varphi_n}{2}\right) \right] c_{n3}^v(t) \\
& + \sum_{n \in N_C} N_n(x, y) \left[\sqrt{r} \sin(\varphi) \cos\left(\frac{\varphi}{2}\right) - \sqrt{r_n} \sin(\varphi_n) \cos\left(\frac{\varphi_n}{2}\right) \right] c_{n4}^v(t) \tag{۹-۲}
\end{aligned}$$

فرض عایق بودن ترک، منجر به شار گرمایی تکین در نوک ترک و نیز ناپیوستگی میدان دما در امتداد ترک می‌شود. برای در نظر گرفتن ناپیوستگی مذکور از تابع هویساید استفاده می‌شود. میدان دمای نوک ترک مشابه میدان جابه‌جایی مد پارگی (مد III) ترک به صورت زیر است [۵۴]:

$$T = -\frac{K_T}{k} \sqrt{\frac{2r}{\pi}} \sin\left(\frac{\varphi}{2}\right) \tag{۱۰-۲}$$

که در رابطه فوق K_T ضریب شدت شار گرمایی و k ضریب هدایت گرمایی ماده مورد استفاده است.

با توجه به رابطه (۱۰-۲)، میدان دما مشابه میدان جابه‌جایی گسسته می‌شود؛ اما فقط از اولین تابع رابطه (۷-۲) برای غنی‌سازی گره‌های نوک ترک استفاده می‌شود [۵۵]. بنابراین میدان دما به صورت زیر قابل بیان است:

$$\boldsymbol{\theta}(x, y, t) = \sum_{n \in N_A} N_n(x, y) \mathbf{a}_n^T(t) + \sum_{n \in N_H} N_n(x, y) [\mathbf{H}(\mathbf{Z}) - \mathbf{H}(\mathbf{Z}_n)] \mathbf{b}_n^T(t) \tag{۱۱-۲}$$

$$+ \sum_{n \in N_C} N_n(x, y) \left[\sqrt{r} \sin\left(\frac{\varphi}{2}\right) - \sqrt{r_n} \sin\left(\frac{\varphi_n}{2}\right) \right] \mathbf{c}_n^T(t)$$

که در رابطه فوق $\mathbf{a}_n^T(t)$ ، $\mathbf{b}_n^T(t)$ و $\mathbf{c}_n^T(t)$ مقدار تغییرات دمای گره‌ها برای تابع شکل مربوط به آن‌ها است. روابط (۸-۲)، (۹-۲) و (۱۱-۲) به صورت زیر بازنویسی می‌شوند.

$$\mathbf{u}(x, y, t) = \sum_{n \in N_A} N_n(x, y) \mathbf{a}_n^u(t) + \sum_{n \in N_H} \Phi_n(x, y) \mathbf{b}_n^u(t) + \sum_{n \in N_C} \sum_{m=1}^4 \Psi_{nm}(x, y) \mathbf{c}_{nm}^u(t) \quad (12-2)$$

$$\mathbf{v}(x, y, t) = \sum_{n \in N_A} N_n(x, y) \mathbf{a}_n^v(t) + \sum_{n \in N_H} \Phi_n(x, y) \mathbf{b}_n^v(t) + \sum_{n \in N_C} \sum_{m=1}^4 \Psi_{nm}(x, y) \mathbf{c}_{nm}^v(t) \quad (13-2)$$

$$\boldsymbol{\theta}(x, y, t) = \sum_{n \in N_A} N_n(x, y) \mathbf{a}_n^T(t) + \sum_{n \in N_H} \Phi_n(x, y) \mathbf{b}_n^T(t) + \sum_{n \in N_C} \Psi_{n1}(x, y) \mathbf{c}_{n1}^T(t) \quad (14-2)$$

قرار دادن روابط (۱۲-۲) تا (۱۴-۲) در معادلات حاکم بر مسئله موردنظر، منجر به گسسته‌سازی معادلات حاکم می‌شود.

۲-۴- روش انتگرال برهم کنش

میدان‌های تنش و کرنش در حوزه نوک ترک در تئوری‌های مرسوم مکانیک شکست، با یک پارامتر مانند انتگرال J ، ضریب شدت تنش و یا بازشدگی سطح ترک تعیین می‌شود. کاربرد پارامترهای بیان شده به‌اندازه ناحیه پلاستیک به وجود آمده در نوک ترک وابسته است. اگر اندازه ناحیه مذکور کوچک باشد، یعنی اندازه ناحیه پلاستیک در مقایسه با طول‌های مشخصه سازه دارای ترک، مثل طول ترک، طول سازه در راستای ترک و یا ضخامت کوچک باشد (شرایط ناحیه تسلیم کوچک)^۱؛ برای توصیف میدان‌های تنش و کرنش حوزه نوک ترک، یکی از پارامترهای فوق به‌عنوان خصوصیت ماده مورد استفاده قرار می‌گیرد [۵۶].

^۱ Small Scale Yielding (SSY)

مطابق شکل (۲-۲)، میدان تنش حوزه نوک ترک در دستگاه مختصات محلی برای یک پیوستار جامد به صورت زیر است:

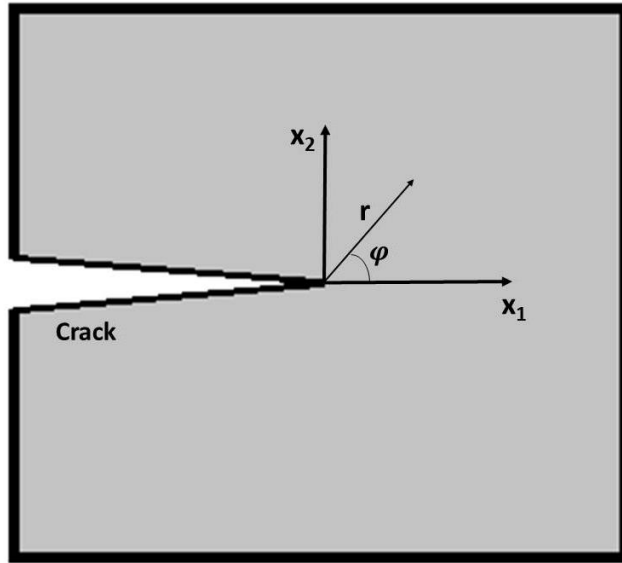
$$\sigma_{ij} = K_I(2\pi r)^{-\frac{1}{2}} f_{ij}^I(\varphi) + K_{II}(2\pi r)^{-\frac{1}{2}} f_{ij}^{II}(\varphi) \quad (15-2)$$

در رابطه فوق، K_I و K_{II} ضرایب شدت تنش مود I و II و f تابع زاویه ای میدان تنش نوک ترک هستند. روش انتگرال برهم کنش یکی از روش های کارآمد جهت محاسبه ضرایب شدت تنش در سیستم های خطی است. روش انتگرال برهم کنش برای تئوری های مختلف ترموالاستیسیته قابل استفاده است. در این بخش، روش انتگرال برهم کنش برای تئوری گرین-نقدی بیان می شود. جهت محاسبه پارامترهای ضرایب شدت تنش با استفاده از روش انتگرال برهم کنش، از میدان های کمکی مثل میدان جابه جایی، میدان کرنش و میدان تنش استفاده می شود.

۲-۴-۱- میدان های کمکی

برای استفاده از انتگرال برهم کنش لازم است میدان های کمکی جابه جایی u^{aux} ، کرنش ε^{aux} و تنش σ^{aux} به صورت تحلیلی یا عددی مورد استفاده قرار گیرند. میدان های کمکی انتخابی معمولاً هر سه قانون مکانیک جامدات را ارضا می کنند. این میدان ها می توانند برای بارگذاری های مکانیکی و حرارتی به صورت استاتیکی و دینامیکی مورد استفاده قرار گیرند.

برای محاسبه ضرایب شدت تنش، از حل تحلیلی ویلیامز برای یک ترک لبه ای در مواد همگن استفاده می شود. در شکل (۲-۲)، یک ترک در یک صفحه دو بعدی و نیز دستگاه های مختصات دکارتی و قطبی نوک ترک نشان داده شده است.



شکل (۲-۲) محیط دو بعدی شامل ترک و دستگاه‌های مختصات دکارتی و قطبی نوک ترک

میدان‌های کمکی برای یک ترک ایستا در پیوست الف ارائه شده است.

۲-۴-۲- فرمول بندی انتگرال برهم کنش

برهم کنش دو حالت بارگذاری مستقل و قابل قبول برای یک پیوستار دارای ترک که در انتگرال‌های پایستار الاستیسیته به وجود می‌آید؛ انتگرال برهم کنش نامیده می‌شود. در این قسمت انتگرال برهم کنش برای بارگذاری حرارتی با استفاده از تئوری گرین-نقدی بیان می‌شود.

فرم انتگرال J برای یک ترک بدون کشش و نیروی مکانیکی، به صورت زیر قابل بیان است:

$$J = \lim_{\Gamma_s \rightarrow 0} \int_{\Gamma_s} (W \delta_{ij} - \sigma_{ij} u_{i,1}) n_j d\Gamma_s \quad (۱۶-۲)$$

که در رابطه فوق، u_i مؤلفه‌های بردار جابه‌جایی و n بردار یکه عمود رو به خارج منحنی است. W چگالی انرژی کرنشی مکانیکی است که به صورت زیر بیان می‌شود.

$$\begin{aligned}
 W &= \int_0^t \frac{1}{2} \sigma_{ij} \dot{\epsilon}_{ij} d\tau \\
 &= \frac{1}{2} C_{ijkl} \epsilon_{ij} \epsilon_{kl} - \beta_{kl} \epsilon_{kl} \Delta T + \frac{1}{2} \beta_{kl} \alpha_{kl} \Delta T^2 \\
 &\quad + \beta_{kl} \alpha_{kl} t_1 \Delta T \dot{T} + \frac{1}{2} \beta_{kl} \alpha_{kl} t_1^2 \dot{T}^2 - t_1 \beta_{kl} \epsilon_{kl} \dot{T}
 \end{aligned} \tag{۱۷-۲}$$

در رابطه فوق، ϵ_{ij} مؤلفه‌های کرنش کلی (مکانیکی و گرمایی) است.

جهت سهولت در محاسبه انتگرال به روش عددی، لازم است انتگرال خطی به یک انتگرال ناحیه‌ای تبدیل شود.

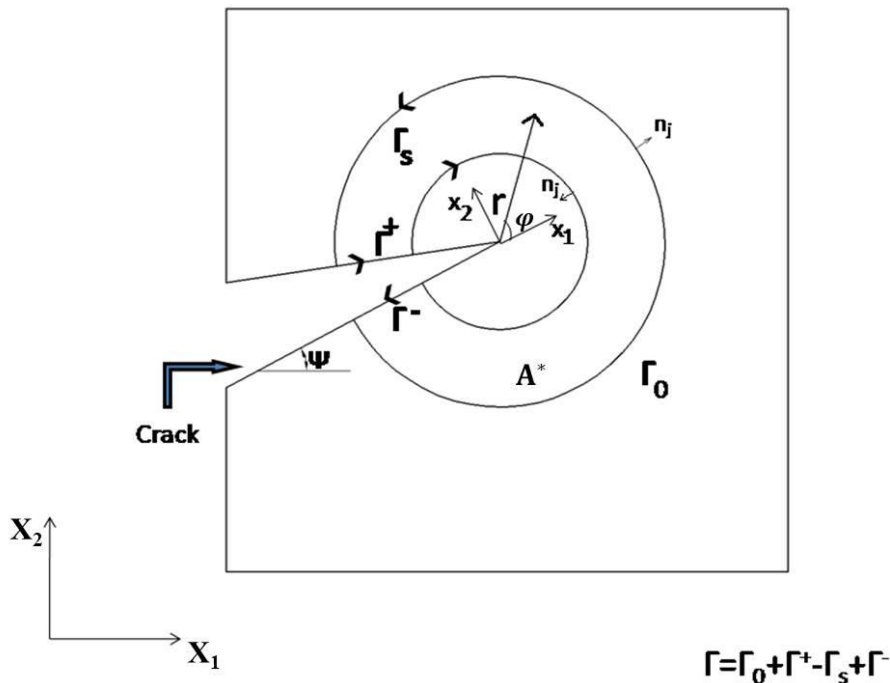
انتگرال کانتوری زیر برای تبدیل فرم کانتوری انتگرال J به یک فرم ناحیه‌ای معادل تعریف می‌شود.

$$I = \oint_{\Gamma} (W \delta_{ij} - \sigma_{ij} u_{i,1}) n_j q d\Gamma \tag{۱۸-۲}$$

در رابطه فوق، $\Gamma = \Gamma_0 + \Gamma^+ + \Gamma^- - \Gamma_s$ و m_j بردار یکه عمود رو به خارج کانتور Γ است (یعنی $m_j = n_j$ روی Γ_0 و

$m_j = -n_j$ روی Γ_s) (که در شکل (۳-۲) نشان داده شده است). همچنین، q تابع وزنی دلخواه و همواری است

که از $q=1$ روی Γ_s تا $q=0$ روی Γ_0 تغییر می‌کند. حدگیری از رابطه فوق، منجر به رابطه (۱۹-۲) می‌شود.



شکل (۳-۲) تبدیل فرم کانتوری انتگرال J به فرم ناحیه‌ای [۴۷]

$$\begin{aligned}
\lim_{\Gamma_s \rightarrow 0} I &= \lim_{\Gamma_s \rightarrow 0} \oint_{\Gamma} (W\delta_{1j} - \sigma_{ij}u_{i,1})m_j q d\Gamma \\
&= \lim_{\Gamma_s \rightarrow 0} \oint_{\Gamma_0 + \Gamma^+ + \Gamma^- - \Gamma_s} (W\delta_{1j} - \sigma_{ij}u_{i,1})m_j q d\Gamma \\
&= \lim_{\Gamma_s \rightarrow 0} \left[\oint_{\Gamma_0 + \Gamma^+ + \Gamma^-} (W\delta_{1j} - \sigma_{ij}u_{i,1})m_j q d\Gamma \right. \\
&\quad \left. + \oint_{-\Gamma_s} (W\delta_{1j} - \sigma_{ij}u_{i,1})m_j q d\Gamma \right] \tag{۱۹-۲} \\
&= \lim_{\Gamma_s \rightarrow 0} \left[\oint_{\Gamma_0 + \Gamma^+ + \Gamma^-} (W\delta_{1j} - \sigma_{ij}u_{i,1})m_j q d\Gamma \right. \\
&\quad \left. - \oint_{\Gamma_s} (W\delta_{1j} - \sigma_{ij}u_{i,1})m_j q d\Gamma \right]
\end{aligned}$$

روی مرز Γ_0 ، $q=0$ است. بعلاوه، فرض می‌شود که سطوح ترک بدون کشش و نیروهای مکانیکی هستند. با استفاده از مفهوم ارائه شده در این جملات، رابطه (۱۹-۲) به صورت زیر ساده می‌شود.

$$J = -\lim_{\Gamma_s \rightarrow 0} I = \lim_{\Gamma_s \rightarrow 0} \oint_{\Gamma} (W\delta_{1j} - \sigma_{ij}u_{i,1})m_j q d\Gamma \tag{۲۰-۲}$$

انتگرال ناحیه‌ای معادل با استفاده از قضیه دیورژانس و با توجه به تغییرات تابع وزنی q ، به صورت رابطه (۲-۲) تعیین می‌شود.

$$\begin{aligned}
J &= \int_{A^*} (\sigma_{ij}u_{i,1} - W\delta_{1j})q_j dA \\
&\quad + \int_{A^*} (\sigma_{ij}u_{i,1} - W\delta_{1j})_j q dA \tag{۲۱-۲}
\end{aligned}$$

در رابطه فوق، A^* مساحت ناحیه محصور به منحنی است. در یک سیستم خطی، با اعمال هم‌زمان میدان‌های اصلی و کمکی، انتگرال J به صورت رابطه (۲۲-۲) تعیین می‌شود:

$$\begin{aligned}
J^s &= \int_{A^*} [(\sigma_{ij} + \sigma_{ij}^{aux})(u_{i,1} + u_{i,1}^{aux}) \\
&\quad - \frac{1}{2}(\sigma_{ik} + \sigma_{ik}^{aux})(\varepsilon_{ik} + \varepsilon_{ik}^{aux})\delta_{1j}]q_j dA \tag{۲۲-۲} \\
&\quad + \int_{A^*} [(\sigma_{ij} + \sigma_{ij}^{aux})(u_{i,1} + u_{i,1}^{aux}) - \frac{1}{2}(\sigma_{ik} + \sigma_{ik}^{aux})(\varepsilon_{ik} + \varepsilon_{ik}^{aux})\delta_{1j}]_j q dA
\end{aligned}$$

انتگرال فوق به فرم زیر بازنویسی می‌شود.

$$J^s = J + J^{aux} + M \quad (23-2)$$

در رابطه (23-2) J^{aux} به صورت زیر قابل بیان است.

$$J^{aux} = \int_{A^*} (\sigma_{ij}^{aux} u_{i,1}^{aux} - W^{aux} \delta_{1j}) q_j dA \quad (24-2)$$

$$+ \int_{A^*} (\sigma_{ij}^{aux} u_{i,1}^{aux} - W^{aux} \delta_{1j})_j q dA$$

W^{aux} در رابطه فوق، به صورت رابطه (25-2) تعریف می شود.

$$W^{aux} = \frac{1}{2} \sigma_{ik}^{aux} \varepsilon_{ik}^{aux} \quad (25-2)$$

انتگرال برهم کنش M به صورت رابطه (26-2) به دست می آید.

$$M = \int_{A^*} (\sigma_{ij} u_{i,1}^{aux} + \sigma_{ij}^{aux} u_{i,1} - W^{int} \delta_{1j}) q_j dA \quad (26-2)$$

$$+ \int_{A^*} (\sigma_{ij} u_{i,1}^{aux} + \sigma_{ij}^{aux} u_{i,1} - W^{int} \delta_{1j})_j q dA$$

$$= M_1 + M_2$$

در رابطه فوق، W^{int} تابع چگالی انرژی کرنشی مکانیکی برهم کنش است و برای تئوری گرین-نقدی به صورت رابطه (27-2) قابل بیان است.

$$W^{int} = \frac{1}{2} (\sigma_{ij} \varepsilon_{ij}^{aux} + \sigma_{ij}^{aux} \varepsilon_{ij}^m) = \quad (27-2)$$

$$2\mu \varepsilon_{ij} \varepsilon_{ij}^{aux} + \lambda \varepsilon_{kk} \varepsilon_{ll}^{aux} - \beta (\Delta T) \varepsilon_{kk}^{aux}$$

با توجه به رابطه (27-2) با مشتق گیری از عبارت داخل پرانتز انتگرال دوم و با توجه به اینکه $\sigma_{ij,j}^{aux} = 0$

انتگرال M را می توان به صورت زیر نوشت.

$$M = \int_{A^*} (\sigma_{ij} u_{i,1}^{aux} + \sigma_{ij}^{aux} u_{i,1} - W^{int} \delta_{1j}) q_j dA \quad (28-2)$$

$$+ \int_{A^*} (\sigma_{ij,j} u_{i,1}^{aux} + \sigma_{ij} u_{i,1j}^{aux} + \sigma_{ij}^{aux} u_{i,1j} - W^{int}_{,1}) q dA$$

که در رابطه فوق،

$$W^{int} = 2\mu\varepsilon_{ij}\varepsilon_{ij}^{aux} + \lambda\varepsilon_{ii}\varepsilon_{jj}^{aux} - \beta\Delta T\varepsilon_{jj}^{aux} \quad (29-2)$$

در مواد همگن و همسانگرد، انتگرال M_2 به صورت زیر ساده می شود.

$$M_2 = \int_{A^*} \left(\rho\ddot{u}_i u_{i,1}^{aux} - \left(\frac{\partial W_{int}}{\partial \Delta T} \frac{\partial \Delta T}{\partial x_1} \right) \right) q dA \quad (30-2)$$

که

$$\frac{\partial W_{int}}{\partial \Delta T} = -\beta\varepsilon_{jj}^{aux} \quad (31-2)$$

۲-۴-۳- استخراج ضرایب شدت تنش

رابطه بین انتگرال J و ضرایب شدت تنش K_I و K_{II} به صورت زیر است:

$$J = \frac{K_I^2 + K_{II}^2}{E'} \quad (32-2)$$

همچنین، با توجه به رابطه (۲۳-۲) انتگرال برهم کنش M را می توان برحسب ضرایب شدت تنش K_I و K_{II}

به صورت زیر بازنویسی کرد.

$$M = \frac{2}{E'} (K_I K_I^{aux} + K_{II} K_{II}^{aux}) \quad (33-2)$$

که در رابطه بالا E' به صورت زیر تعریف می شود:

$$E' = \begin{cases} E & \text{تنش صفحه ای} \\ E/(1-\nu^2) & \text{کرنش صفحه ای} \end{cases} \quad (34-2)$$

ضرایب شدت تنش K_I و K_{II} را می توان با انتخاب صحیح میدان های کمکی (مودهای خالص I و II) و نیز

با استفاده از انتگرال برهم کنش M ، به صورت زیر به دست آورد.

$$K_I = \frac{E'}{2} M^{(1)}, (K_I^{aux} = 1, K_{II}^{aux} = 0) \quad (35-2)$$

$$K_{II} = \frac{E'}{2} M^{(2)}, (K_I^{aux} = 0, K_{II}^{aux} = 1) \quad (36-2)$$

۲-۵- تئوری گرین-نقدی

تئوری گرین-نقدی از مفهوم جابه‌جایی گرمایی و موج گرما بهره‌مند است که این امر با تئوری استاندارد فوریه مغایرت دارد. امروزه تئوری گرین-نقدی مورد توجه بسیاری از محققان قرار گرفته است که در مسائل مورد بررسی آنها، انتشار گرما با الاستیسیته، جریان‌های لزج و برخی موارد دیگر کوپل شده است [۱۸].

تئوری گرین-نقدی یک چارچوب کلی ایجاد کرده است که مسائل گرمایی گسترده‌تری را نسبت به تئوری استاندارد (فوریه و تئوری ترموالاستیسیته کلاسیک) شامل می‌شود. این تئوری به سه نوع مختلف تقسیم شده است [۱۸].

نوع I: تحت شرایط خاص ارائه شده و براساس رابطه ساختاری شار گرمایی تئوری استاندارد فوریه ارائه شده است.

نوع II: مشخصه بارز تئوری گرین-نقدی نوع II، انتشار بدون استهلاک موج گرما است.

نوع III: تئوری گرین-نقدی نوع III چارچوبی جهت تحلیل، شرح و توصیف محدوده گسترده‌تری از مسائل است. در حقیقت گرین و نقدی تئوری‌های خود را با ساختار ترمودینامیکی قوی و مستحکم ارائه کردند که علاوه بر انتشار گرما در رساناهای صلب، شامل مواردی از پدیده‌های جفت شدگی (کوپل) مثل ترموالاستیسیته و سیالات ترموویسکوز می‌شود [۱۸].

۲-۵-۱ ساختار جاری تئوری گرین-نقدی

۲-۵-۱-۱ تعادل انتروپی

برخلاف فرایند کلاسیک اصل تعادل انرژی (قانون اول) و عدم تعادل انتروپی (قانون دوم)، تئوری گرین-نقدی براساس بیانی برای تعادل انتروپی پایه‌گذاری شده است که اولین بار در [۱۶] ارائه شده است. رابطه تعادل انتروپی پیشنهاد شده مطابق رابطه زیر است.

$$\dot{\eta} = -\text{div } \mathbf{h} + s + \xi \quad (2-37)$$

که در آن η ، s و ξ به ترتیب نشانگر انتروپی، منبع خارجی انتروپی و تولید انتروپی داخلی هستند و \mathbf{h} بردار شار ورودی انتروپی را نشان می‌دهد. گرین و نقدی فرض کردند که شار ورودی انتروپی تابعی از \mathbf{q} و r است

که \mathbf{q} بردار شار ورودی گرمایی و r منبع گرمایی خارجی است که با جریان داخلی انتروپی و دمای مطلق متناسب است.

$$\mathbf{q} = \theta \mathbf{h} , \quad \theta s = r , \quad \theta > 0 \quad (38-2)$$

در تحقیقات اخیر نشان داده شده است که این فرض زمانی درست است که \mathbf{h} و \mathbf{q} به متغیرهای حالت وابستگی همگن داشته باشند [۱۸].

۲-۱-۵-۲ تعادل انرژی، انرژی آزاد و تعادل انتروپی کاهش یافته

با ضرب رابطه (۳۷-۲) در دمای مطلق، رابطه (۳۹-۲) بدست می‌آید.

$$\theta \dot{\eta} = -\text{div} \mathbf{q} + \theta^{-1} \mathbf{q} \cdot \nabla \theta + r + \theta \xi \quad (39-2)$$

رابطه تعادل انرژی به صورت رابطه (۴۰-۲) است.

$$\dot{\varepsilon} = -\text{div} \mathbf{q} + r \quad (40-2)$$

همچنین انرژی آزاد هلمهولتز در واحد جرم به صورت رابطه (۴۱-۲) است.

$$\psi = \varepsilon - \theta \eta \quad (41-2)$$

رابطه (۴۲-۲)، معادله انتروپی کاهش یافته گرین و نقدی است

$$\dot{\psi} + \eta \dot{\theta} + \theta^{-1} \mathbf{q} \cdot \nabla \theta + \theta \xi = 0 \quad (42-2)$$

که $\theta \xi$ اتلاف داخلی است.

۳-۱-۵-۲ جابه‌جایی گرمایی

رابطه (۴۲-۲) نقطه مشترک بسط ساختاری تئوری گرین-نقدی نوع I و II و III است. در تمام این تئوری‌ها،

این رابطه نقش نابرابری انتروپی کاهش یافته در فرایند استاندارد کلن-نول را ایفا می‌کند.

$$\dot{\psi} + \eta \dot{\theta} + \theta^{-1} \mathbf{q} \cdot \nabla \theta + \theta \xi \leq 0 \quad (43-2)$$

با این اختلاف که گرین و نقدی فرض کردند که اتلاف داخلی هرگز نباید منفی شود. اختلاف چشمگیر

دیگر در هدایت گرمایی استاندارد این است که در هر سه نوع تئوری گرین-نقدی، متغیرهای حالت جابه‌جایی گرمایی α مشتق زمانی دمای تجربی هستند.

$$\dot{\alpha} = T \quad (44-2)$$

بعلاوه در این تئوری‌ها فرض شده که دمای مطلق θ تابعی از دمای تجربی است. برای سادگی از این به بعد فرض می‌شود که دماهای مطلق و تجربی برهم منطبق هستند.

$$\dot{\alpha} = \theta \quad (45-2)$$

مفهوم جابه‌جایی گرمایی در ابتدا توسط هلمهولتز در ۱۸۸۴ مورد استفاده قرار گرفته است [۱۸]. در حالی که نقش اصلی این مفهوم در قوانین اساسی تعادل ترمودینامیک بدیهی است اما تفسیر فیزیکی آن به‌خصوص در مواردی که شامل تغییر مکانیکی-استاتیکی دما از موضوعات مطلوب محققان است.

فصل ۳:

استخراج معادلات حاکم تئوری گرین-نقدی

نوع II

۳-۱- مقدمه

به دلیل استفاده از ساختار مستحکم ترمودینامیکی در تئوری گرین-نقدی، این تئوری قادر است علاوه بر مسائل هدایت گرمایی صلب، در مسائل کوپل (جفت شده) مانند ترموالاستیسیته و نیز سیالات ترموویسکوز مورد استفاده قرار گیرد. این تئوری در سه مدل مختلف ارائه شده است. اختلاف مدل‌های تئوری گرین-نقدی از اختلاف متغیرهای حالت ترمودینامیکی ناشی می‌شود. متغیرهای حالت تئوری گرین-نقدی نوع II به صورت زیر پیشنهاد شده است.

$$S_{II} = \{\alpha, \dot{\alpha}, \nabla\alpha\} \quad (۱-۳)$$

در رابطه فوق، α نشان‌دهنده جابه‌جایی گرمایی است که مشتق زمانی آن، دمای مطلق را نتیجه می‌دهد.

$$\dot{\alpha} = T \quad (۲-۳)$$

۳-۲- معادلات حاکم تئوری گرین نقدی II

طبق تئوری گرین-نقدی II [۱۶]، معادلات میدان حاکم در یک پیوستار ترموالاستیک برحسب میدان‌های

دما و جابه‌جایی در غیاب نیروهای حجمی و منبع تولید حرارت داخلی به شرح زیر است:

$$\mu \nabla^2 \mathbf{u} + (\lambda + \mu) \nabla \nabla \cdot \mathbf{u} - \beta \nabla T = \rho \ddot{\mathbf{u}} \quad (۳-۳)$$

$$\rho c \dot{T} + \beta T_0 \nabla \cdot \dot{\mathbf{u}} = \kappa^* \nabla^2 T \quad (۴-۳)$$

که \mathbf{u} و T به ترتیب بردار جابه‌جایی و دمای مطلق هستند. ρ چگالی جرمی، c ظرفیت گرمایی ویژه، β مدول

تنش-دما، T_0 دمای مرجع، λ و μ ثابت‌های لامه و κ^* ثابت ماده است.

پارامترهای بدون بعد به صورت زیر قابل بیان هستند:

$$\hat{\mathbf{x}} = \frac{\mathbf{x}}{l} \quad (۵-۳)$$

$$\hat{t} = \frac{tv}{l} \quad (۶-۳)$$

$$\hat{\mathbf{u}} = \frac{(\lambda + 2\mu)}{l\beta T_0} \mathbf{u} \quad (۷-۳)$$

$$\hat{T} = \frac{T - T_0}{T_0} \quad (۸-۳)$$

که l و ν به ترتیب طول و سرعت مشخصه هستند. معادلات حاکم بدون بعد برای مواد همگن همسانگرد در غیاب نیروهای حجمی و تولید حرارت داخلی برحسب دما و جابه‌جایی به شکل زیر بیان می‌شوند. علامت $\hat{\quad}$ برای سادگی حذف شده است.

$$C_s^2 \nabla^2 \mathbf{u} + (C_p^2 - C_s^2) \nabla \nabla \cdot \mathbf{u} - C_p^2 \nabla T = \ddot{\mathbf{u}} \quad (۹-۳)$$

$$\ddot{T} + \epsilon \nabla \cdot \ddot{\mathbf{u}} = C_T^2 \nabla^2 T \quad (۱۰-۳)$$

که در آن،

$$C_p^2 = \frac{\lambda + 2\mu}{\rho \nu^2}$$

$$C_s^2 = \frac{\mu}{\rho \nu^2} \quad (۱۱-۳)$$

$$C_T^2 = \frac{\kappa^*}{\rho c \nu^2}$$

C_p ، C_s و C_T به ترتیب سرعت موج الاستیک اتساعی خالص، موج برشی و گرمایی هستند. بعلاوه، $\epsilon = T_0 \beta^2 / \rho c (\lambda + 2\mu)$ ضریب کوپل کرنش-دما است.

۳-۳- فرمول بندی المان محدود توسعه یافته

یک جسم ترموالاستیک با ناحیه Ω در فضا، با سطح جانبی Γ در نظر گرفته شده است. طبق فرایند روش باقیمانده وزنی، تابع تست دما و جابه‌جایی δu و δT - به ترتیب بر باقیمانده معادلات حرکت و انرژی متعامد شده‌اند. فرم انتگرالی باقیمانده وزنی برای معادلات حرکت می‌توانند به صورت زیر بیان شوند [۵۷].

$$\int_{\Omega} (C_s^2 \nabla^2 \mathbf{u} + (C_p^2 - C_s^2) \nabla \nabla \cdot \mathbf{u} - C_p^2 \nabla T - \ddot{\mathbf{u}}) \cdot \delta \mathbf{u} \, d\Omega = 0 \quad (۱۲-۳)$$

فرم ضعیف معادلات حرکت با انتگرال‌گیری و با استفاده از تئوری گاوس استخراج شده‌اند.

$$\begin{aligned}
& (\delta \mathbf{u} \cdot \mathbf{C}_s^2 \nabla \mathbf{u} \cdot \mathbf{n} + \delta \mathbf{u} \cdot \mathbf{C}_s^2 \nabla \mathbf{u}^T \cdot \mathbf{n} + \delta \mathbf{u} \cdot (\mathbf{C}_p^2 - \mathbf{C}_s^2) (\nabla \cdot \mathbf{u}) \mathbf{I} \cdot \mathbf{n} - \delta \mathbf{u} \cdot \mathbf{C}_p^2 \mathbf{T} \mathbf{I} \cdot \mathbf{n}) \Big|_{\Gamma} \\
& - \int_V (\nabla \delta \mathbf{u}^T : \mathbf{C}_s^2 \nabla \mathbf{u} + \nabla \delta \mathbf{u}^T : \mathbf{C}_s^2 \nabla \mathbf{u}^T \\
& + \nabla \cdot \delta \mathbf{u} (\mathbf{C}_p^2 - \mathbf{C}_s^2) \nabla \cdot \mathbf{u} - \nabla \cdot \delta \mathbf{u} \mathbf{C}_p^2 \nabla T - \delta \mathbf{u} \cdot \ddot{\mathbf{u}}) d\Omega = 0
\end{aligned} \tag{۱۳-۳}$$

فرم انتگرال وزنی معادله انرژی به صورت زیر است.

$$\int_{\Omega} (\ddot{T} + \epsilon \nabla \cdot \ddot{\mathbf{u}} - \mathbf{C}_T^2 \nabla^2 T) \delta T d\Omega = 0 \tag{۱۴-۳}$$

به طریق مشابه، فرم ضعیف معادله انرژی به صورت زیر استخراج شده است.

$$-\delta T \mathbf{C}_T^2 \nabla T \cdot \mathbf{n} \Big|_{\Gamma} + \int_{\Omega} (\ddot{T} \delta T + \epsilon \nabla \cdot \ddot{\mathbf{u}} \delta T - \nabla \delta T \mathbf{C}_T^2 \cdot \nabla T) d\Omega = 0 \tag{۱۵-۳}$$

معادلات نهایی روش المان محدود توسعه یافته برای مواد همگن و همسانگرد در غیاب نیروهای حجمی و منبع گرمایی داخلی، طبق تئوری گرین-نقدی نوع II با جاگذاری فرم گسسته توابع سعی و خطا و نیز توابع تست در فرمول بندی ضعیف معادلات حاکم (۱۳-۳) و (۱۵-۳) به صورت زیر تعیین می شوند.

$$\sum_{e=1}^{ne} \left(\begin{bmatrix} \mathbf{M}_{11}^e & \mathbf{0} \\ \mathbf{M}_{21}^e & \mathbf{M}_{22}^e \end{bmatrix} \dot{\mathbf{Y}} + \begin{bmatrix} \mathbf{K}_{11}^e & \mathbf{K}_{12}^e \\ \mathbf{0} & \mathbf{K}_{22}^e \end{bmatrix} \mathbf{Y} = \mathbf{F} \right) \tag{۱۶-۳}$$

که ne تعداد المان ها، \mathbf{Y} و \mathbf{F} بردارهای مجهول و نیرو هستند و

$$\mathbf{M}_{11}^e = \int_{\Omega^e} \boldsymbol{\varphi}^T \boldsymbol{\varphi} d\Omega \tag{۱۷-۳}$$

$$\mathbf{M}_{21}^e = \int_{\Omega^e} \boldsymbol{\varphi}^{thT} \epsilon \mathbf{B}^{th*} d\Omega \tag{۱۸-۳}$$

$$\mathbf{M}_{22}^e = \int_{V^e} \boldsymbol{\varphi}^{thT} \boldsymbol{\varphi}^{th} dV \tag{۱۹-۳}$$

$$\mathbf{K}_{11}^e = \int_{V^e} \mathbf{B}^T \mathbf{D} \mathbf{B} dV \tag{۲۰-۳}$$

$$\mathbf{K}_{12}^e = - \int_{V^e} \mathbf{B}^{th*T} \mathbf{C}_p^2 \boldsymbol{\varphi}^{th} dV \quad (21-3)$$

$$\mathbf{K}_{22}^e = \int_{V^e} \mathbf{B}^{thT} \mathbf{C}_T^2 \mathbf{B}^{th} dV \quad (22-3)$$

در روابط فوق،

$$\boldsymbol{\varphi} = \left[\begin{array}{c|c|c|c} \varphi_1 & \mathbf{0} & \varphi_2 & \mathbf{0} & \dots & \varphi_n & \mathbf{0} \\ \hline \mathbf{0} & \varphi_1 & \mathbf{0} & \varphi_2 & \dots & \mathbf{0} & \varphi_n \end{array} \right] \quad (23-3)$$

$$\boldsymbol{\varphi}_i = \begin{cases} N_i & \text{گره‌های معمولی} \\ [N_i \quad N_i(H - H_i)] & \text{گره‌های غنی شده با تابع هویساید} \\ [N_i \quad N_{is}(F_j^u - F_{is}^u)] & \text{گره‌های غنی شده نوک ترک} \end{cases} \quad (24-3)$$

$$\boldsymbol{\varphi}^{th} = [\boldsymbol{\varphi}_1^{th} | \boldsymbol{\varphi}_2^{th} | \dots | \boldsymbol{\varphi}_n^{th}] \quad (25-3)$$

$$\boldsymbol{\varphi}_i^{th} = \begin{cases} N_i & \text{گره‌های معمولی} \\ [N_i \quad N_i(H - H_i)] & \text{گره‌های غنی شده با تابع هویساید} \\ [N_i \quad N_i(F^T - F_i^T)] & \text{گره‌های غنی شده نوک ترک} \end{cases} \quad (26-3)$$

و

$$\mathbf{B} = \left[\begin{array}{c|c|c|c} \varphi_{1,X_1} & \mathbf{0} & \varphi_{2,X_1} & \mathbf{0} & \dots & \varphi_{n,X_1} & \mathbf{0} \\ \hline \mathbf{0} & \varphi_{1,X_2} & \mathbf{0} & \varphi_{2,X_2} & \dots & \mathbf{0} & \varphi_{n,X_2} \\ \hline \varphi_{1,X_2} & \varphi_{1,X_1} & \varphi_{2,X_2} & \varphi_{2,X_1} & \dots & \varphi_{n,X_2} & \varphi_{n,X_1} \end{array} \right] \quad (27-3)$$

$$\mathbf{B}^{th} = \left[\begin{array}{c|c|c} \varphi_{1,X_1}^{th} & \varphi_{2,X_1}^{th} & \varphi_{n,X_1}^{th} \\ \hline \varphi_{1,X_2}^{th} & \varphi_{2,X_2}^{th} & \varphi_{n,X_2}^{th} \end{array} \right] \quad (28-3)$$

$$\mathbf{B}^{th*} = [\varphi_{1,X_1}^{th} \varphi_{1,X_2}^{th} \varphi_{2,X_1}^{th} \varphi_{2,X_2}^{th} \dots \varphi_{n,X_1}^{th} \varphi_{n,X_2}^{th}] \quad (29-3)$$

بعلاوه، \mathbf{D} تنسور الاستیک است که برای حالت کرنش صفحه‌ای در فضای بدون بعد به صورت زیر بیان

می‌شود.

$$\mathbf{D} = \begin{bmatrix} C_p^2 & C_p^2 - 2C_s^2 & \mathbf{0} \\ C_p^2 - 2C_s^2 & C_p^2 & \mathbf{0} \\ \mathbf{0} & \mathbf{0} & C_s^2 \end{bmatrix} \quad (30-3)$$

تابع زیر انتگرال شامل توابع غنی‌سازی ناپیوسته یا غیرخطی است. به همین دلیل، روش‌های انتگرال‌گیری رایج مانند گاوس کوادراچر به تنهایی کافی نیست. در این مورد، دامنه المان به تعدادی مثلث تقسیم‌بندی می‌شود که در راستای صفحه ترک یا گره‌های المان قرار دارند. بعلاوه، برای در نظر گرفتن تکینگی توابع شبکه در نوک ترک، اغلب نگاشت انتگرالی قطبی برای المان شامل نوک ترک مورداستفاده قرار می‌گیرد [۵۷].

در این تحقیق روش نیومارک برای انتگرال‌گیری زمانی در حل معادلات (۳-۱۶) مورداستفاده قرار گرفته است. در این روش، مشتقات زمانی مرتبه دوم بردار متغیرهای مجهول با گام زمانی Δt تعیین شده است. در ابتدا، مشتقات زمانی مرتبه اول و دوم به صورت زیر محاسبه شده‌اند.

$$(\mathbf{M} + \mathbf{A}_2 \Delta t^2 \mathbf{K}) \ddot{\mathbf{Y}}_n = \mathbf{F} - \left((\mathbf{1} - 2\mathbf{A}_2) \frac{\Delta t^2}{2} \ddot{\mathbf{Y}}_{n-1} \right) \mathbf{K} \quad (۳-۳۱)$$

$$\dot{\mathbf{Y}}_n = \mathbf{A}_1 \Delta t \ddot{\mathbf{Y}}_n + (\mathbf{1} - \mathbf{A}_1) \Delta t \ddot{\mathbf{Y}}_{n-1} + \dot{\mathbf{Y}}_{n-1} \quad (۳-۳۲)$$

$$\mathbf{Y}_n = \mathbf{A}_2 \Delta t^2 \ddot{\mathbf{Y}}_n + (\mathbf{1} - 2\mathbf{A}_2) \frac{\Delta t^2}{2} \ddot{\mathbf{Y}}_{n-1} + \Delta t \dot{\mathbf{Y}}_{n-1} + \mathbf{Y}_{n-1} \quad (۳-۳۳)$$

که \mathbf{M} و \mathbf{K} به ترتیب ماتریس‌های جرم و سفتی هستند و Δt نمو زمانی است. بعلاوه، \mathbf{A}_1 و \mathbf{A}_2 پارامترهای نیومارک هستند که دقت و پایداری حل را کنترل می‌کنند. مقادیر $\mathbf{A}_1=0.5$ و $\mathbf{A}_2=0.25$ برای پایداری غیرشرطی مرتبه دوم روش نیومارک انتخاب شده‌اند.

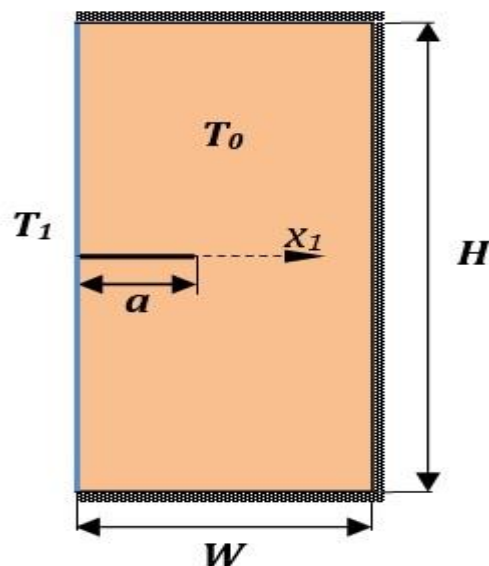
۳-۴- نتایج

در این بخش، ابتدا دقت و کارایی فرایند المان محدود توسعه یافته برای استخراج نتایج عددی مورد بررسی قرار گرفته است. تاریخچه زمانی ضریب شدت تنش مود I برای باریکه دارای ترک تحت شوک گرمایی گذرای غیرکوپل با نتایج تحلیلی مقایسه شده است. سپس رفتار صفحه دارای ترک تحت شوک گرمایی با استفاده از تئوری گرین-نقدی II در چند مثال مورد بررسی قرار گرفته است. تاریخچه زمانی ضریب شدت تنش مود I برای ترک عمود بر لبه در باریکه تحت شوک گرمایی بر اساس تئوری گرین-نقدی II تعیین شده است و با نتایج تئوری‌های ترموالاستیسیته کلاسیک، لرد-شولمان و گرین-لیندزی مقایسه شده است. بعلاوه، توزیع دما

با نتایج تحلیلی مقایسه شده است. جنبه‌های مهم نتایج مانند اثر موج تنش و موج دما بر تاریخچه زمانی ضرایب شدت تنش و توزیع دما با جزئیات کامل مورد بحث قرار گرفته است. در این تحقیق در تمام مثال‌ها، فرض شده که سطح ترک عایق و بدون اعمال نیرو است.

۳-۴-۱- صفحه دارای ترک لبه‌ای تحت بارگذاری گرمایی گذرای متقارن

در مثال اول، ضریب شدت تنش که با استفاده از روش انتگرال برهم‌کنش در چارچوب روش المان محدود توسعه یافته محاسبه شده است با یک حل تحلیلی مقایسه شده است. در مرجع [۵۸]، ضریب شدت تنش در یک باریکه دارای ترک لبه‌ای ارائه شده است که ترک بر لبه صفحه عمود است. ضخامت باریکه در جهت x_3 به اندازه کافی بزرگ در نظر گرفته شده است تا شرایط کرنش صفحه‌ای برقرار باشد. در ابتدا صفحه بدون قیود مکانیکی در دمای بدون تنش $T_0 = 273 \text{ K}$ قرار دارد. دمای لبه دارای ترک باریکه به صورت ناگهانی تا مقدار $T_1 = 0.125 T_0$ کاهش می‌یابد. ضریب شدت تنش مود I با استفاده از روش تابع وزنی بدون در نظر گرفتن اثر اینرسی و پارامتر کوپل کرنش-دما تعیین شده است. یک صفحه محدود همگن با عرض $W = 1$ ، ارتفاع $H = 2$ و طول ترک $a = 0.05$ موازی محور x_1 مطابق شکل (۳-۱) به عنوان مدل یک باریکه در نظر گرفته شده است.



شکل (۳-۱) صفحه مستطیلی شامل ترک عمود بر لبه تحت شوک گرمایی

دمای سطح ترک طبق رابطه $T_1=0.125 T_0 H(t)$ تغییر می کند. تمام لبه های دیگر صفحه و سطوح ترک عایق فرض شده اند. در تحلیل المان محدود از سه شبکه مش منظم با المان های مستطیلی چهار گره ای استفاده شده است. همچنین گام زمانی $\Delta t=1e-4$ در نظر گرفته شده است. معادلات حاکم تئوری ترموالاستیسیته کلاسیک به صورت مستقیم از معادلات حاکم گرین-نقدی II به دست نمی آید. بنابراین، معادله تئوری ترموالاستیسیته کلاسیک در این مثال با حذف جمله کوپل در نظر گرفته شده است. خواص ماده در نظر گرفته شده برای باریکه در جدول (۱-۳) نشان داده شده است.

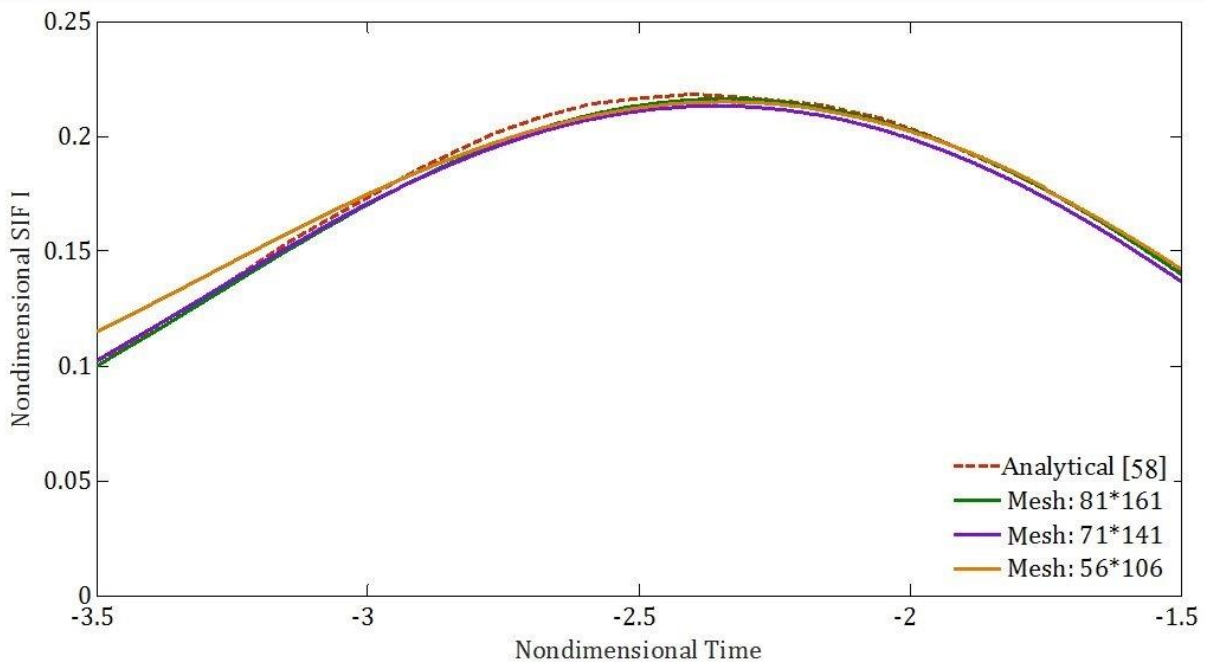
جدول (۱-۳) خواص جنس باریکه در مقاله [۵۸]

مدول یانگ (GPa)	نسبت پواسون	ضریب انبساط گرمایی ($10^{-6}/K$)	هدایت گرمایی (W/m-K)	چگالی (kg/m^3)	ظرفیت گرمایی ویژه (J/kg-K)
۲۰۰	۰/۳	۶/۶۸	۱۷	۷۸۳۳	۴۶۱

سرعت و طول مشخصه به ترتیب $v=0.00471 m/sec$ و $l=0.001 m$ در نظر گرفته شده اند. در این مثال، ضریب شدت تنش با تقسیم بر رابطه زیر بی بعد شده است.

$$K_0 = \beta(T_0 - T_1)\sqrt{l} \quad (۳۴-۳)$$

تغییرات زمانی ضریب شدت تنش مود I بی بعد با مقادیر گزارش شده در مرجع [۵۸]، در شکل (۲-۳) مقایسه شده است. مطابق نتایج، ضریب شدت تنش مود I استخراج شده با ریزتر شدن مش به حل تحلیلی نزدیک می شود. خطای نسبی برای ریزترین مش -شامل ۱۶۱×۸۱ المان- کمتر از $۲/۶\%$ است که نشان می دهد ضریب شدت تنش مود I استخراج شده تطابق خوبی با نتایج حل تحلیلی دارد.



شکل (۲-۳) تغییرات زمانی ضریب شدت تنش مد I برای ترک لبه‌ای تحت بارگذاری گرمایی شبه ایستا

۳-۴-۲- ترک افقی تحت شوک دمایی متقارن

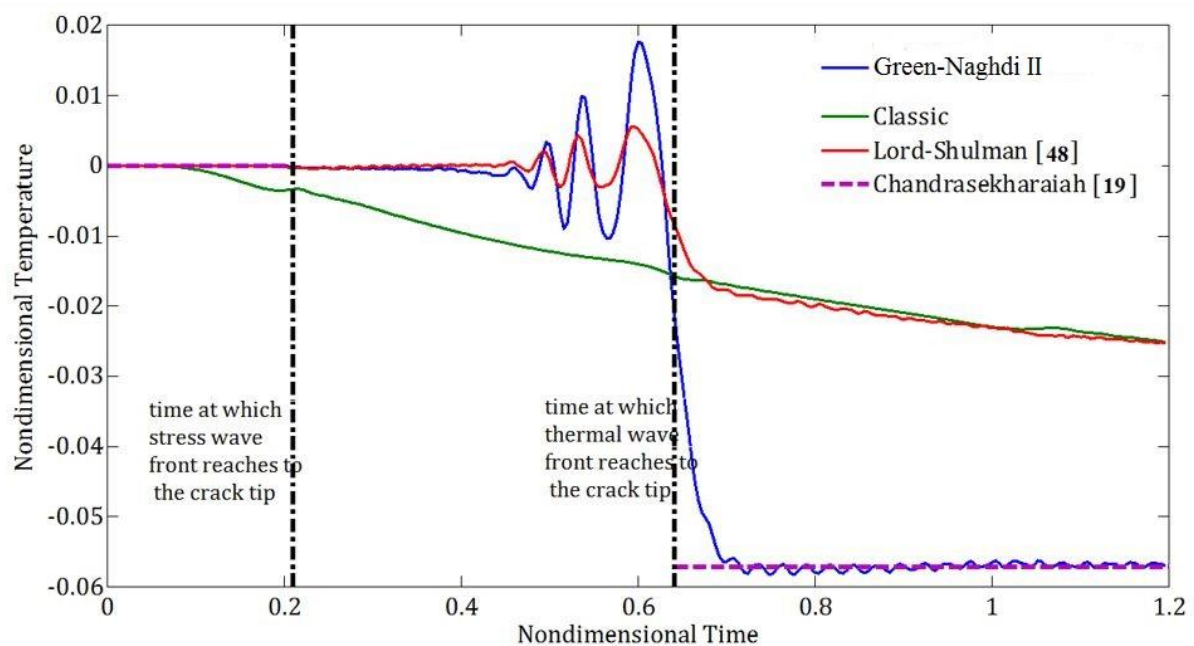
در این مثال، یک صفحه مستطیلی از جنس بیسموت دارای ترک لبه‌ای مطابق شکل (۱-۳) در نظر گرفته شده است که خواص مکانیکی و گرمایی آن در جدول (۲-۳) ارائه شده است.

جدول (۲-۳) خواص بیسموت

ظرفیت گرمایی ویژه (J/kg-K)	چگالی (kg/m ³)	هدایت گرمایی (W/m-K)	ضریب انبساط گرمایی (10 ⁻⁶ /K)	نسبت پواسون	مدول یانگ (GPa)
۰/۰۵۲	۹۷۸۰	۸۷۵	۶/۷۵	۰/۳	۴۰

عرض صفحه $W=10\text{ mm}$ ، ارتفاع آن $H=40\text{ mm}$ و طول نسبی ترک $a/W=0.5$ فرض شده است. مطابق نتایج آزمایشگاهی، سرعت موج گرما در بیسموت در دمای کمتر از 3.5 K ، 780 m/sec اندازه‌گیری شده است

[۵۹]. در این حالت، سرعت و طول مشخصه به ترتیب $v=1000 \text{ m/sec}$ و $l=0.01 \text{ m}$ در نظر گرفته شده‌اند. ضخامت صفحه به اندازه کافی بزرگ فرض شده که شرایط کرنش صفحه‌ای برقرار باشد. صفحه بدون قید و نیروهای مکانیکی در دمای اولیه 3.5 K قرار دارد. شرط مرزی دما روی لبه شامل صفحه ترک $\Delta T(0,t)=-0.2 H(t) \text{ K}$ در نظر گرفته شده است. تغییر زمانی دمای نوک ترک بر اساس تئوری گرین-نقدی II با نتایج تحلیلی [۱۹] در شکل (۳-۳) مقایسه شده است. بعلاوه، دمای نوک ترک با در نظر گرفتن تئوری ترموالاستیسیته کلاسیک و لرد-شولمان با تئوری گرین-نقدی II مقایسه شده است. در مدل المان محدود توسعه یافته مش یکنواخت شامل 101×401 المان مستطیلی چهار گره‌ای در نظر گرفته شده است. گام زمانی 0.004 در فضای بدون بعد در نظر گرفته شده است. سرعت محدود موج گرما در این شکل کاملاً مشهود است. همان گونه که در شکل (۳-۳) نشان داده شده است؛ موج‌های تنش و گرما در این شکل به ترتیب در زمان $t=0.21$ و $t=0.641$ به نوک ترک می‌رسند. به صورت تئوری یک ناپیوستگی محدود در این زمان در نمودار تاریخچه زمانی دما وجود دارد [۱۹]؛ اما در روش عددی این ناپیوستگی در یک بازه زمانی رخ می‌دهد که مرکز آن در زمان $t=0.641$ قرار دارد. همچنین، به دلیل استفاده از روش ضمنی نیومارک به عنوان روش انتگرال‌گیری زمانی، نوسان در تغییرات زمانی دما در نزدیکی نقطه ناپیوستگی در نتایج ارائه شده مشاهده می‌شود.

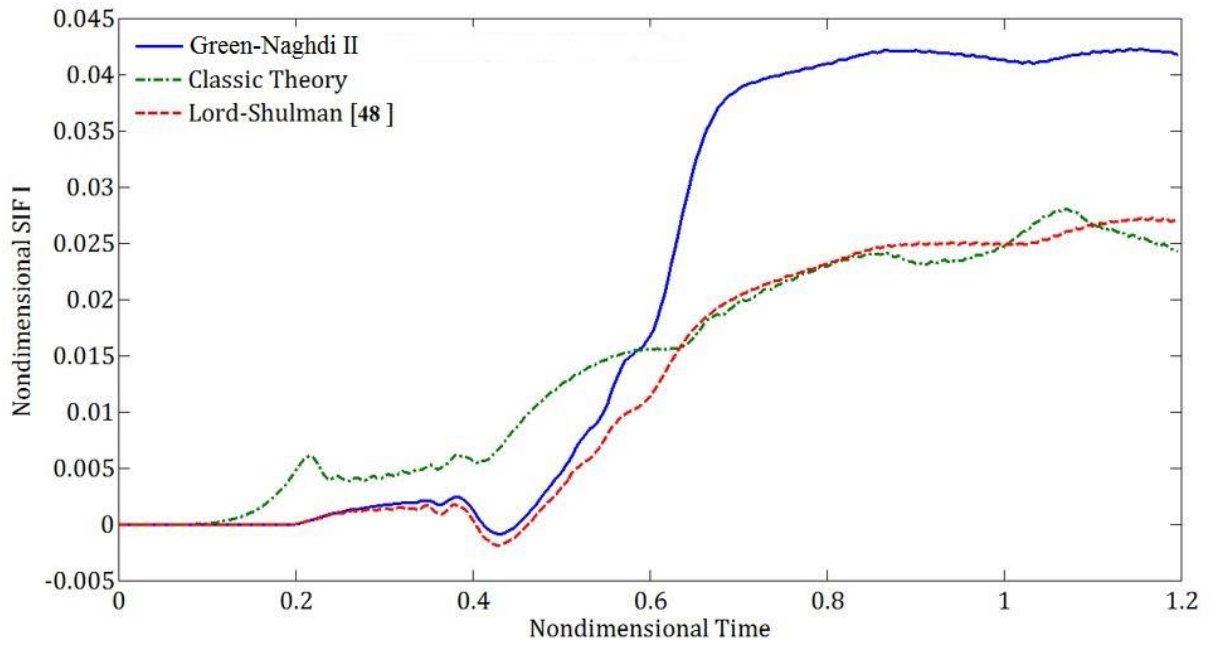


شکل (۳-۳) تاریخچه زمانی تغییرات دمای نوک ترک

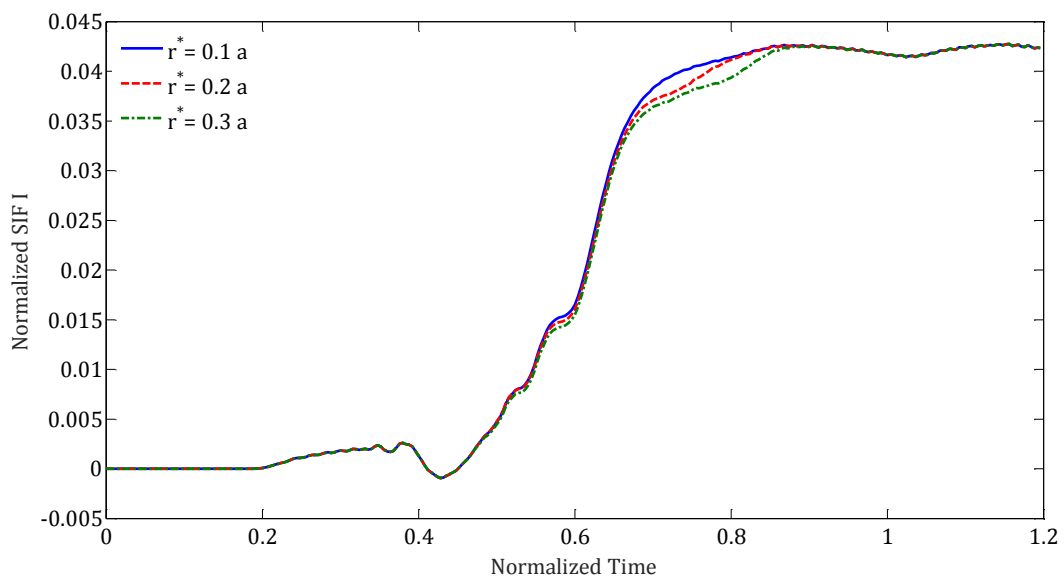
تاریخچه زمانی دمای نوک ترک بر اساس تئوری گرین-نقدی II کاملاً با نتایج حاصل از تئوری‌های ترموالاستیسیته کلاسیک و لرد-شولمان متفاوت است. دمای نوک ترک تا رسیدن و عبور موج‌های گرما یا تنش از آن ثابت می‌ماند؛ درحالی‌که در تئوری لرد-شولمان و ترموالاستیسیته کلاسیک هدایت گرمایی نوک ترک و نقاط همسایگی آن در کنار عبور موج اتفاق می‌افتد. طبق تئوری ترموالاستیسیته بدون اتلاف انرژی، دمای نوک ترک با عبور اولین موج گرما - که سرعت آن از موج تنش کمتر است - به دمای مرز می‌رسد. این تغییر دما در مرجع [۱۹] گزارش شده است. بعلاوه، اثر کوپل میدان‌های کرنش-دما بر توزیع دما طبق تئوری-های ترموالاستیسیته کلاسیک، لرد-شولمان و مدل گرین-نقدی II هنگام عبور موج تنش از نوک ترک در زمان‌های $t=0.21$ و 0.63 مشهود است. مطابق نتایج، دمای نوک ترک از صفر در مدل گرین-نقدی II انحراف بیشتری نسبت به تئوری لرد-شولمان دارد. مطابق نتایج حل تحلیلی [۱۹]، هنگامی که موج تنش به نقطه‌ای می‌رسد، دما اندکی تغییر می‌کند؛ که به‌وضوح در نتایج عددی مشاهده نمی‌شود. تاریخچه زمانی ضریب شدت تنش مود I ناشی از شوک دما طبق تئوری‌های ترموالاستیسیته کلاسیک، لرد-شولمان و گرین-نقدی II در شکل (۳-۴) نشان داده شده است. موج تنش با سرعت 2.35 در زمان $t=0.21$ به نوک ترک می‌رسد؛ که موجب افزایش ضریب شدت تنش تا رسیدن بازتاب موج تنش و موج گرما به نوک ترک در زمان‌های $t=0.63$ و $t=0.64$ می‌شود. این امر موجب افت نرخ تغییرات ضریب شدت تنش می‌شود. بعلاوه، جهت بررسی استقلال سطح انتگرال برهم‌کنش استفاده شده، سه دامنه دایروی با شعاع مختلف در نظر گرفته شده و ضریب شدت تنش مربوط به آن‌ها در شکل (۳-۵) مقایسه شده است. نتایج نزدیکی و تطابق مناسبی دارند. در شکل (۳-۶)، حساسیت مش در محاسبه ضریب شدت تنش مود I بررسی شده است. تاریخچه زمانی ضریب شدت تنش مود I برای سه شبکه مش با تعداد المان‌های متفاوت تقریباً یکسان است. در این مثال و مثال بعدی، ضریب شدت تنش با تقسیم بر عبارت زیر بی‌بعد شده است.

$$K_0 = \beta T_0 \sqrt{l}$$

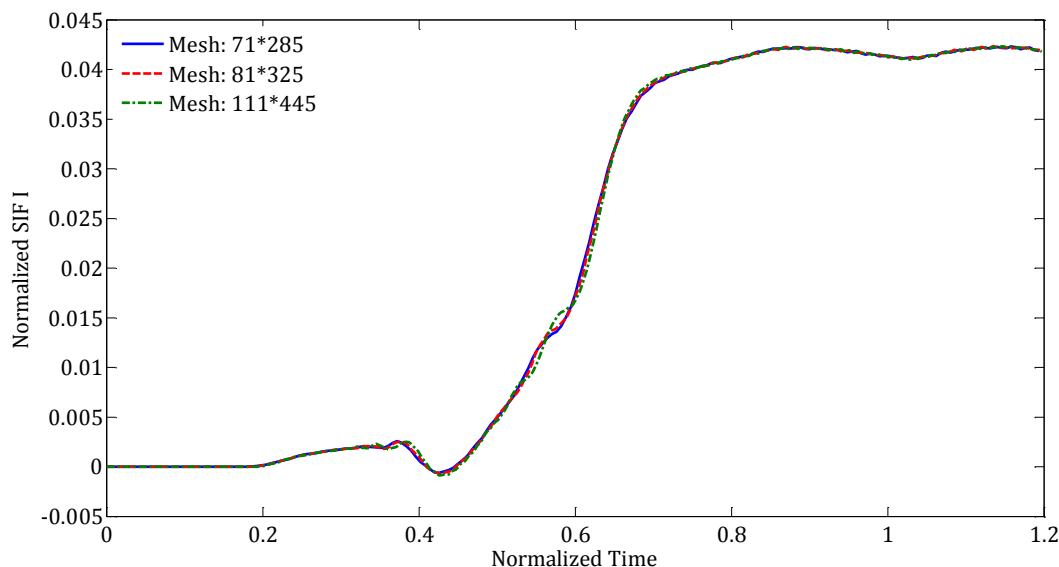
(۳-۳۵)



شکل (۳-۴) تغییرات زمانی ضریب شدت تنش مود I برای ترک نرمال تحت شوک گرمایی GNII



شکل (۳-۵) استقلال از دامنه انتگرال برهم کنش برای ترک افقی تحت شوک دمایی متقارن

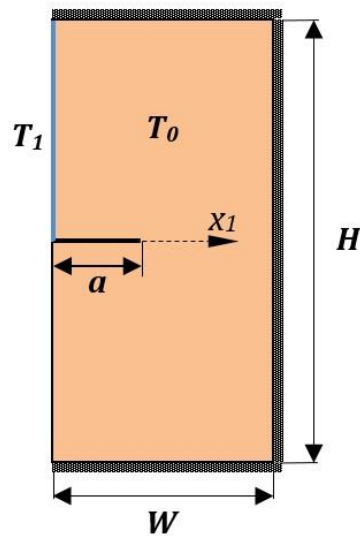


شکل (۳-۶) حساسیت مش ضریب شدت تنش مود I ترک افقی تحت شوک دمایی متقارن

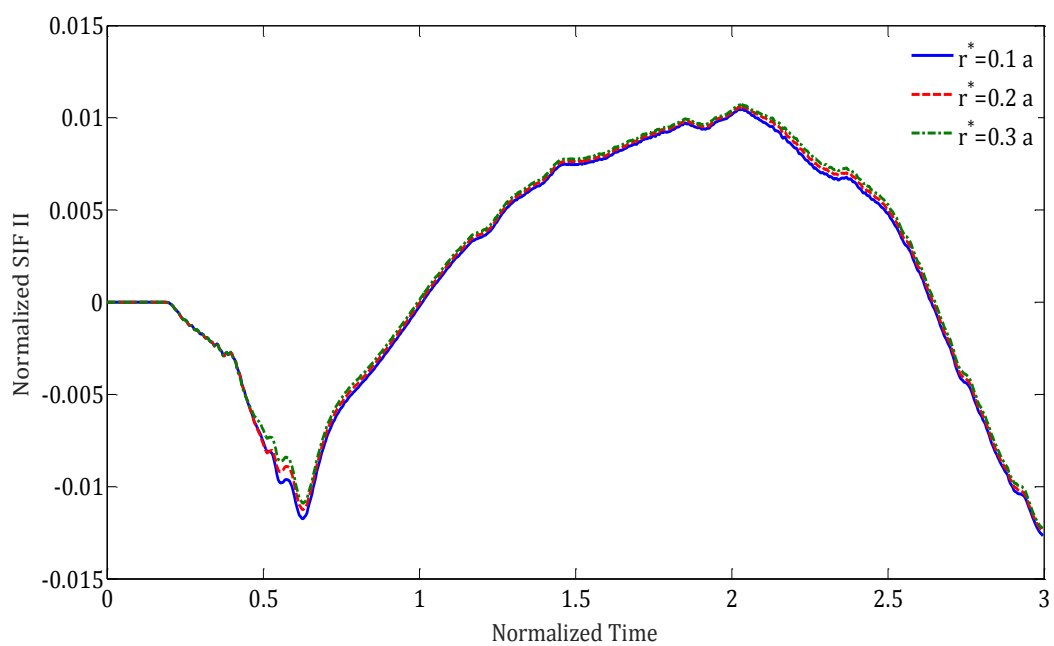
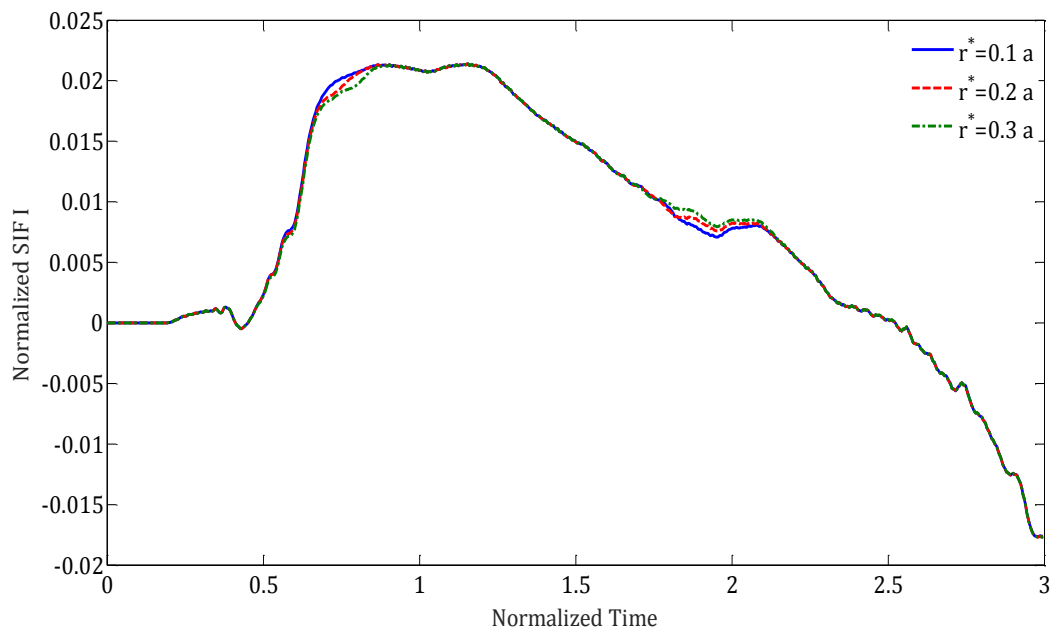
۳-۴-۳- ترک افقی تحت شوک دمایی نامتقارن

در این مثال، اثربخشی و قدرت روش مورد استفاده جهت تحلیل مسائل ترموالاستیک ترک مورد بررسی قرار گرفته است. یک صفحه از جنس بیسموت با ترک عمود بر لبه سمت چپ مطابق شکل (۳-۷) در نظر گرفته شده است که تنها نصف لبه دارای ترک تحت شرط مرزی دمایی قرار گرفته است. استقلال دامنه تاریخچه زمانی ضرایب شدت تنش مود I و II در شکل (۳-۸) و حساسیت مش در شکل (۳-۹) نشان داده شده‌اند. گام زمانی برای تمام موارد شبکه مش برابر با 0.004 انتخاب شده است. با رسیدن موج تنش به نوک ترک، ضریب شدت تنش دچار تغییر می‌شود. نرخ تغییرات ضریب شدت تنش با رسیدن بازتاب موج تنش پس از برخورد به لبه راست تغییر می‌کند. هنگامی که موج گرما نخستین بار به نوک ترک می‌رسد؛ ضریب شدت تنش به مقدار بیشینه خود می‌رسد. سپس جهت لغزش صفحات ترک عوض می‌شود که در شکل (۳-۸) نشان داده شده است. جهت بررسی استقلال دامنه ضرایب شدت تنش، چند دایره به مرکز نوک ترک با شعاع‌های نسبی متفاوت به عنوان دامنه انتگرال در نظر گرفته شده‌اند. تمام المان‌ها با حداقل یک گره درون

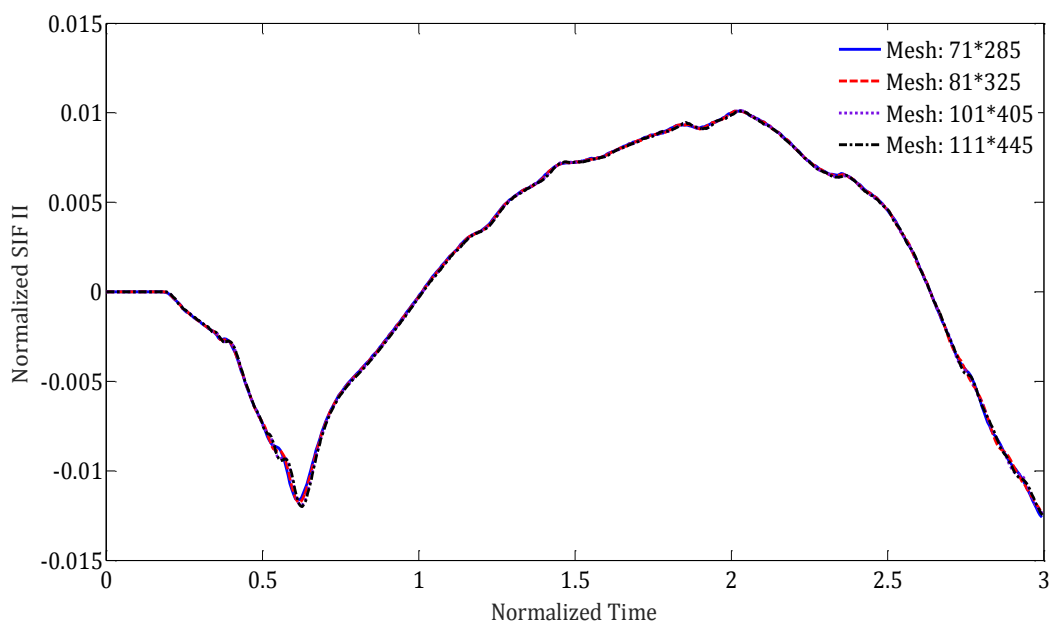
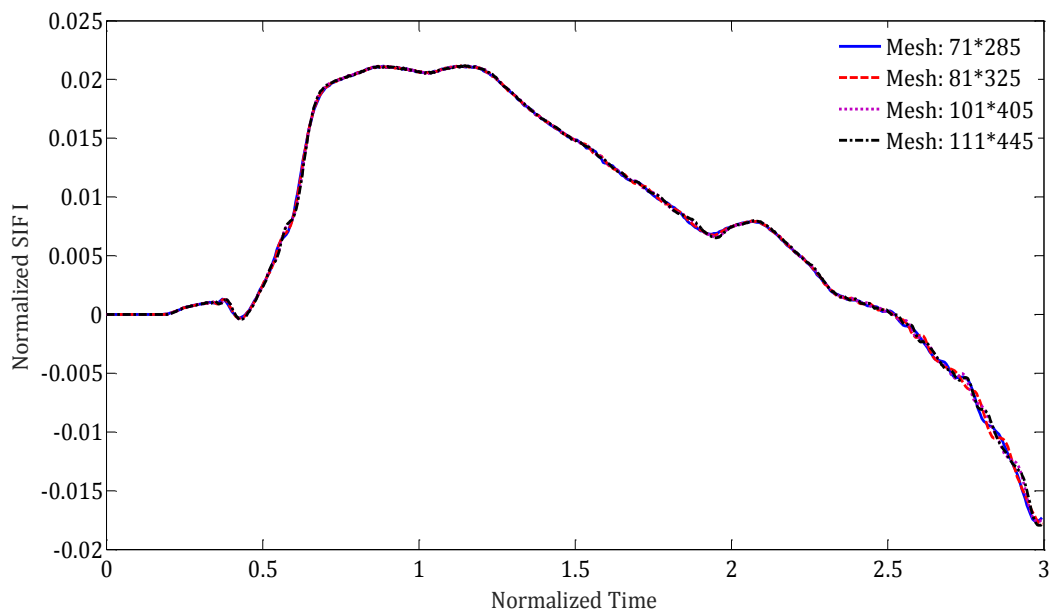
دایره، وارد محاسبات می‌شوند. مطابق نتایج شکل (۳-۸)، ضرایب شدت تنش بر اساس دامنه‌های مختلف تقریباً یکسان هستند. حداکثر اختلاف -به‌ویژه برای ضریب شدت تنش مود I- هنگامی رخ می‌دهد که موج گرما از نوک ترک عبور می‌کند. اثر اندازه مش بر ضریب شدت تنش در شکل (۳-۹) نشان داده شده است. شبکه مش منظم با تعداد متفاوت المان‌های چهار گره‌ای در نظر گرفته شده است. نتایج ضرایب شدت تنش برای شبکه‌های متفاوت مش بندی تقریباً بر هم منطبق شده‌اند که نشان‌دهنده استقلال نتایج از تعداد المان‌ها در مش بندی مسئله است.



شکل (۳-۷) صفحه مستطیلی دارای ترک عمود بر لبه تحت شوک دمایی نامتقارن



شکل (۳-۸) استقلال از دامنه انتگرال برهم کنش برای ترک افقی تحت شوک گرمایی ناممتقارن الف) مود I ب) مود II



شکل (۳-۹) حساسیت مش ضریب شدت تنش برای ترک افقی تحت شوک گرمایی نامتقارن الف) مود I ب) مود II

۳-۴-۴ ترک افقی تحت شوک شار گرمایی متقارن

در برخی از کاربردهای مهندسی، شرایط مرزی گرمایی می‌توانند به‌عنوان شار ناگهانی گرما مدل شوند. در

این مثال، شار گرمایی $\hat{q}_0 = -0.05 H(t)$ به لبه دارای ترک صفحه از جنس بیسموت مطابق شکل (۳-۱۰)

اعمال شده است. در رابطه ساختاری شار گرمایی بر اساس تئوری GNII ، شار گرمایی با گرادیان جابه‌جایی گرمایی متناسب است.

$$\mathbf{q} = -k\nabla\alpha \quad (36-3)$$

که α ، جابه‌جایی گرمایی است. رابطه ساختاری شار گرمایی برحسب دما به صورت زیر است:

$$\dot{\mathbf{q}} = -k\nabla T \quad (37-3)$$

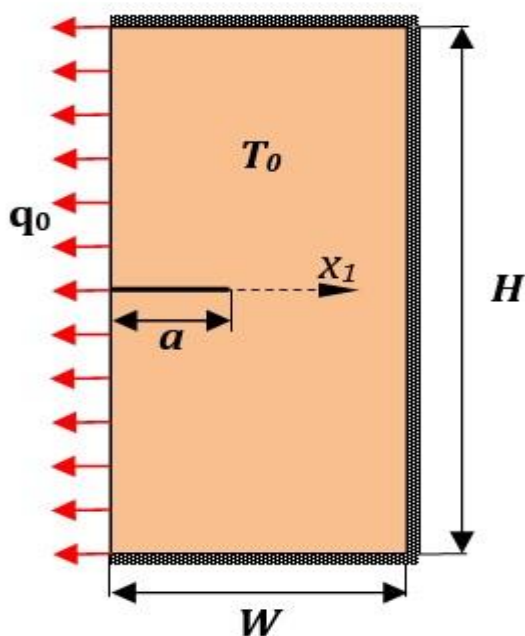
بنابراین، شرایط مرزی گرمایی تئوری GNII در فضای بدون بعد به صورت رابطه زیر بیان می‌شود.

$$k\nabla T|_{x_1=0} = 0.05 \delta(t) \quad (38-3)$$

که در رابطه فوق $\delta(t)$ ، تابع دلتای دیراک است. شار گرمایی بدون بعد طبق رابطه زیر تعریف می‌شود.

$$\hat{\mathbf{q}} = \frac{\mathbf{q}}{\rho c v T_0} \quad (39-3)$$

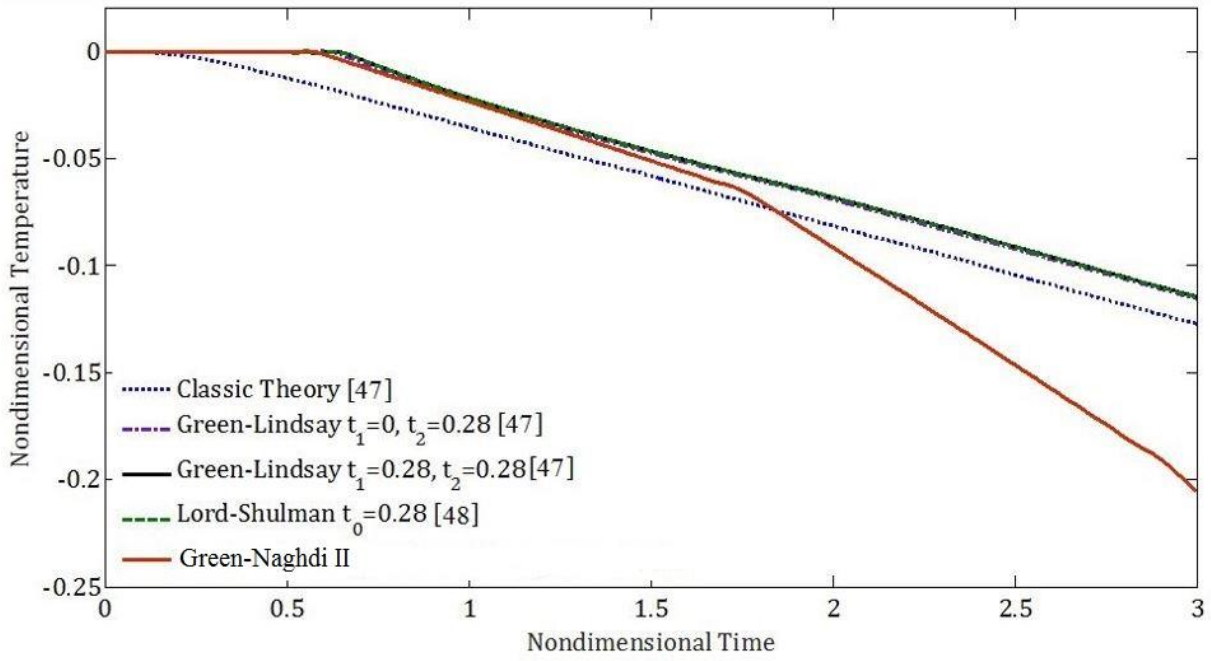
مش یکنواخت 10.1×40.5 المان و گام زمانی $\Delta t = 0.004$ در محاسبات مورد استفاده قرار گرفته است. جهت محاسبه انتگرال EDI، از دایره‌ای به شعاع $r = 0.1a$ استفاده شده است. تاریخچه زمانی دمای نوک ترک بر اساس مدل‌های CTE، LS، GL و GNII در شکل (3-11) نشان داده شده است. اثر سرعت موج گرما - که در تئوری CTE نامحدود و در مدل‌های دیگر 0.78 است - بر دمای نوک ترک به وضوح قابل مشاهده است.



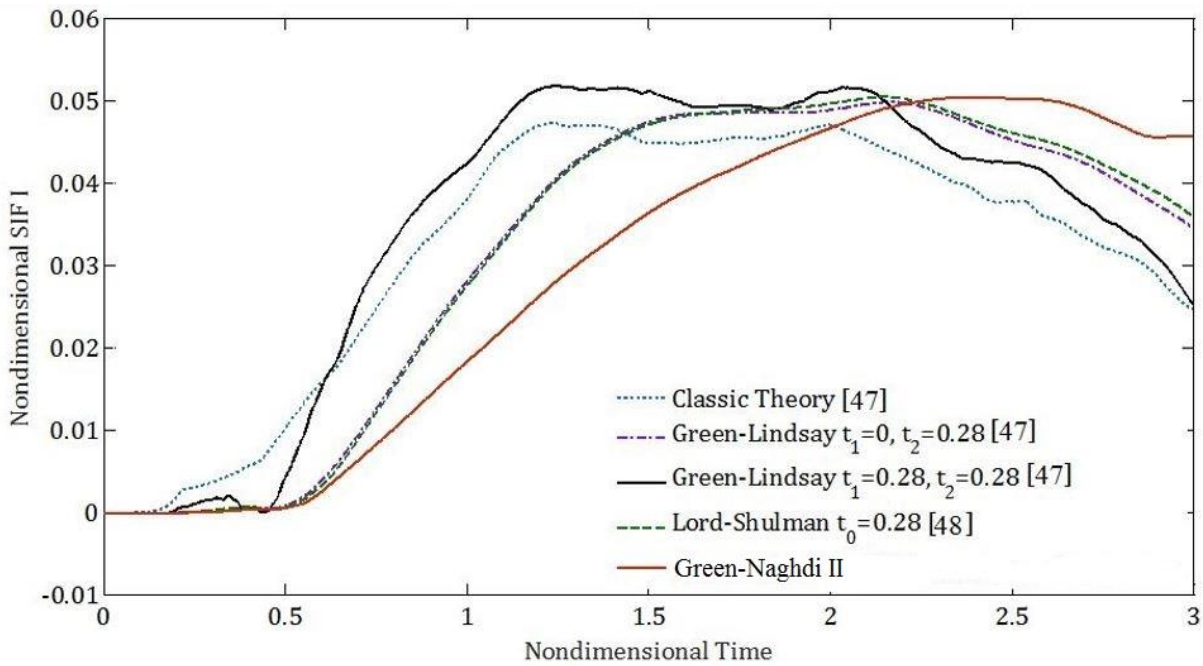
شکل (۳-۱۰) هندسه و بارگذاری ترک لبه‌ای تحت شوک شار گرمایی

در شکل (۳-۱۱)، دمای نوک ترک بر اساس تئوری‌های مختلف تا قبل از رسیدن بازتاب موج گرما به نوک ترک تقریباً یکسان هستند. اما با رسیدن این موج، درحالی‌که نرخ تغییرات مدل‌های دیگر تقریباً ثابت باقی می‌ماند؛ نرخ تغییرات دما بر اساس تئوری GNII دو برابر می‌شود که منجر به کاهش سریع دمای نوک ترک می‌شود.

در شکل (۳-۱۲)، ضریب شدت تنش مود I پس از رسیدن موج تنش به نوک ترک در زمان $t=0.21$ دچار تغییر می‌شود. نرخ تغییرات ضریب شدت تنش تا رسیدن موج گرما به نوک ترک برای مدل‌های LS، $GL(t_1=0)$ و GNII تقریباً برابر هستند و سپس نرخ افزایش ضریب شدت تنش مود I برای مدل GNII، از مدل‌های دیگر کمتر است و دیرتر از سایر تئوری‌ها به مقدار بیشینه خود می‌رسد. همچنین، بیشینه ضریب شدت تنش مود I بر اساس تئوری‌های تعمیم‌یافته از تئوری ترموالاستیسیته کلاسیک بزرگتر است.



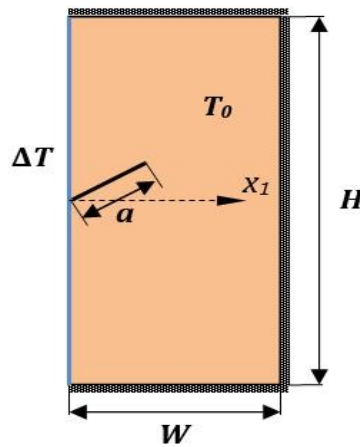
شکل (۳-۱) دمای نوک ترک بر اساس تئوری‌های CTE، L-S و GNII



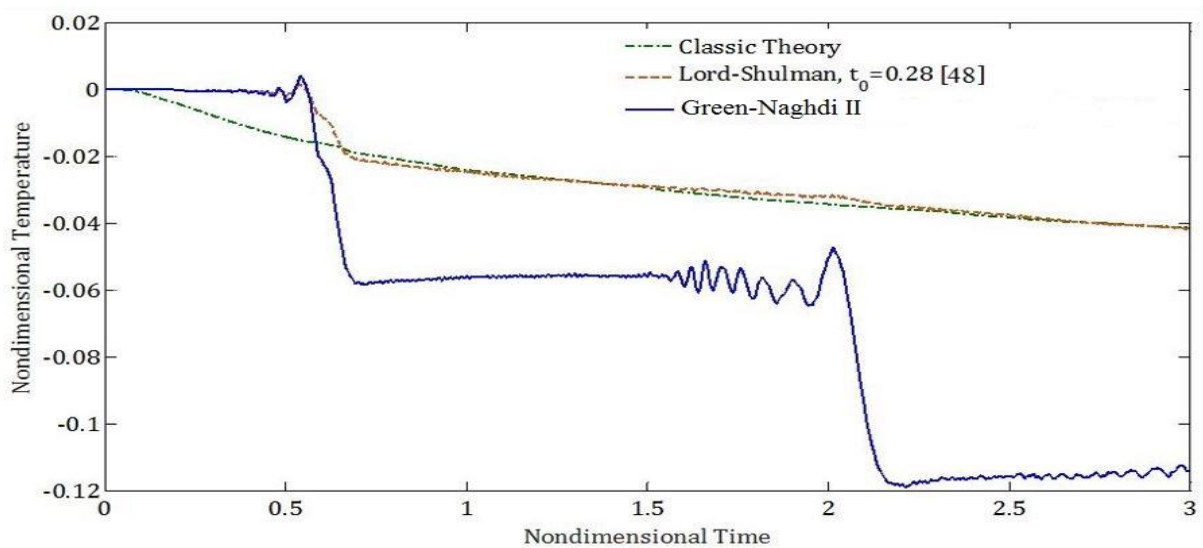
شکل (۳-۲) تاریخچه زمانی ضریب شدت تنش مود I بر اساس تئوری‌های CTE، L-S و GNII

۳-۴-۵- ترک مورب تحت شوک دمایی

در مثال آخر، ترک لبه‌ای مورب به طول $a=0.5$ و زاویه $\alpha=30^\circ$ نسبت به محور x_1 در صفحه از جنس بیسموت با هندسه، بارگذاری و مشخصات بخش ۳-۴-۲ در نظر گرفته شده است. تغییر ناگهانی دما $\Delta T=-0.2 H(t)$ به لبه دارای ترک - که در دمای اولیه $T_0=3.5 K$ قرار دارد- مطابق شکل (۳-۱۳)، اعمال می‌شود. تاریخچه زمانی دمای نوک ترک بر اساس مدل‌های CTE، LS و GNII در شکل (۳-۱۴) مقایسه شده‌اند.



شکل (۳-۱۳) هندسه و بارگذاری صفحه دارای ترک لبه‌ای مورب

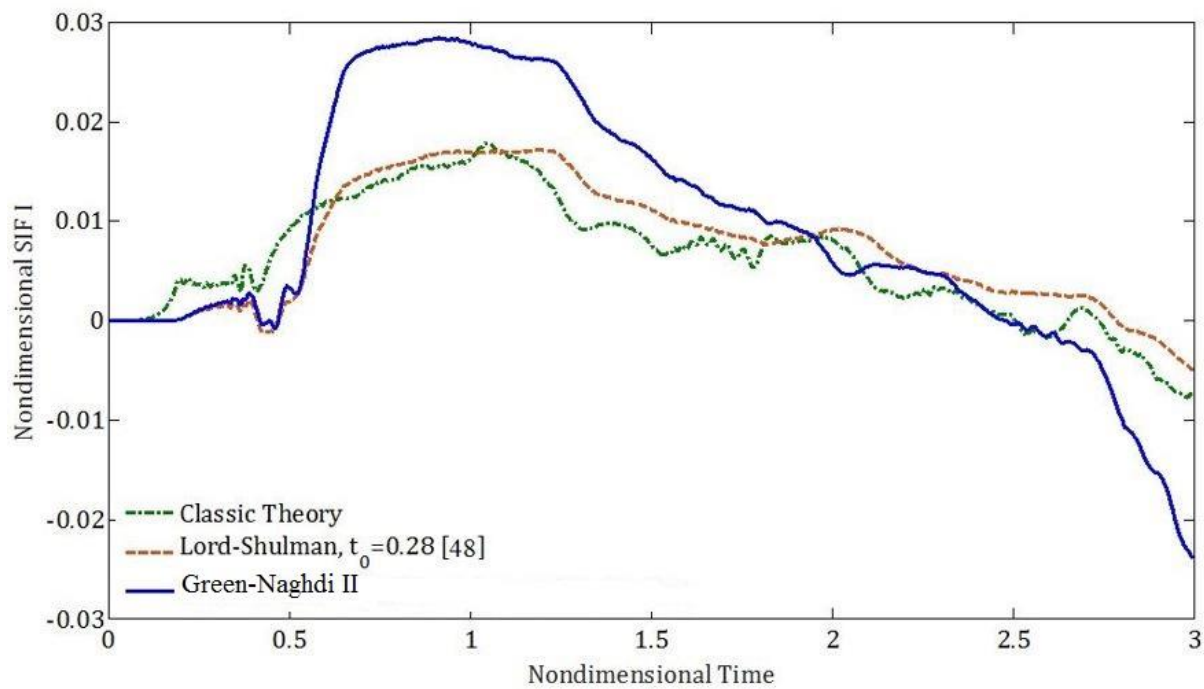


شکل (۳-۱۴) تغییرات زمانی دمای نوک ترک بر اساس تئوری‌های CTE، L-S و GNII

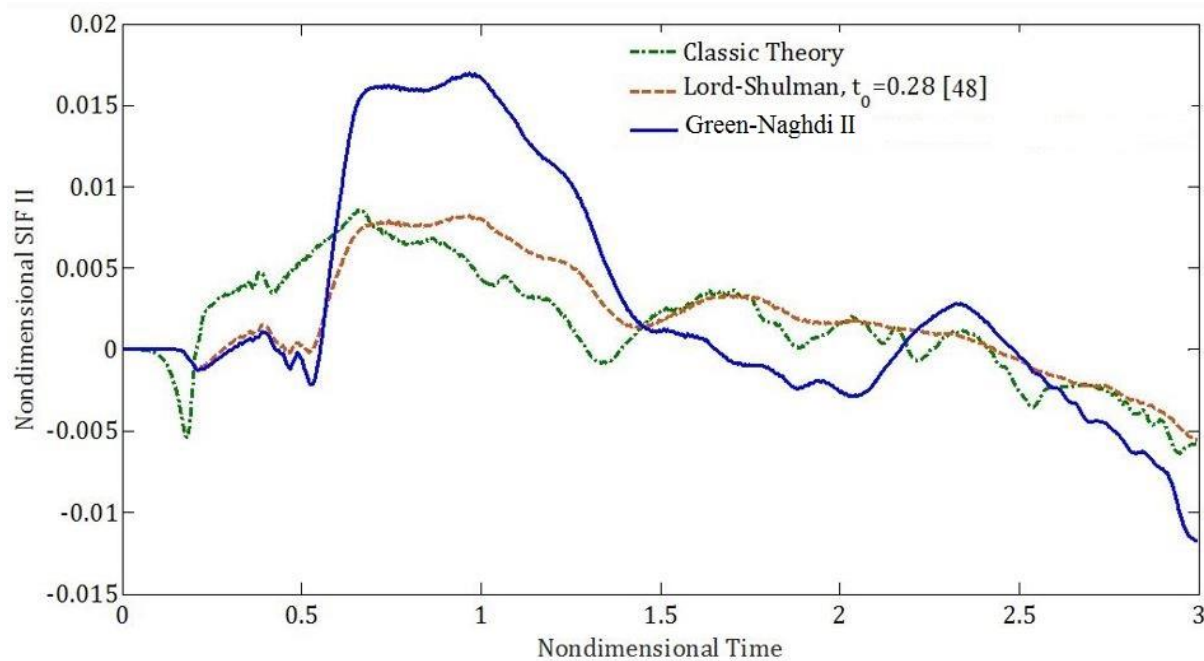
مطابق نتایج، دمای نوک ترک طبق تئوری GNII به صورت چشمگیری با مدل LS متفاوت است. پس از رسیدن بازتاب موج گرما به نوک ترک، مقدار دما در تئوری GNII به دو برابر شرط مرزی گرمایی اعمالی می‌رسد که از شرط مرزی گرمایی لبه راست صفحه ناشی می‌شود. مطابق شکل، صفحه به دو بخش هم‌دما تقسیم شده است؛ قبل و بعد از موج گرما. با گذشت زمان دما تا رسیدن بازتاب موج از لبه دیگر ثابت می‌ماند؛ درحالی‌که در تئوری‌های CTE و LS به صورت پیوسته طبق قانون فوریه دچار تغییر می‌شود. در شکل (۳-۱۵)، تغییرات زمانی ضریب شدت تنش مود I و تغییرات زمانی ضریب شدت تنش مود II در شکل (۳-۱۶) ارائه شده‌اند. تغییرات ضریب شدت تنش برای مدل LS و GNII تا رسیدن موج گرما به نوک ترک تقریباً یکسان هستند؛ که رسیدن این موج منجر به افزایش بیشینه آن‌ها می‌شود. مقدار بیشینه ضرایب شدت تنش مود I و II طبق مدل GNII تقریباً دو برابر مدل‌های LS و CTE است. الگوی کلی تاریخچه زمانی تئوری‌های LS و GNII تقریباً یکسان هستند؛ که نشان می‌دهد اثر موج‌های تنش و گرما بر تغییرات ضریب شدت تنش مشابه هستند. هرچند تغییرات ضریب شدت تنش برای مدل GNII به دلیل موج گرمای قوی‌تر، از مدل LS بزرگتر است.

در شکل (۳-۱۷)، توزیع دمای صفحه برای مدل‌های CTE و GNII در زمان‌های 1 و 0.70، 0.50 مقایسه شده‌اند. سرعت محدود موج گرما و شرط مرزی عایق لبه راست در شکل مشهود است. بعلاوه، یک موج گرمای ثانویه ایجاد می‌شود که ممکن است دما از شرط مرزی اعمالی کمتر شود. این پدیده به دلیل تداخل موج بازتاب شده از وجوه ترک و موج گرمای اولیه رخ می‌دهد. این ناحیه سرد مسیر ترک را دنبال می‌کند تا به نوک ترک برسد. سپس موج گرمای ثانویه روی سطح ترک در جهت بازتاب حرکت می‌کند تا میرا شود. مطابق نتایج، توزیع دمای تئوری CTE بر توزیع دمای پایای صفحه منطبق است و مقدار دما در هر نقطه از صفحه، بین دمای اولیه و شرط مرزی اعمالی قرار دارد.

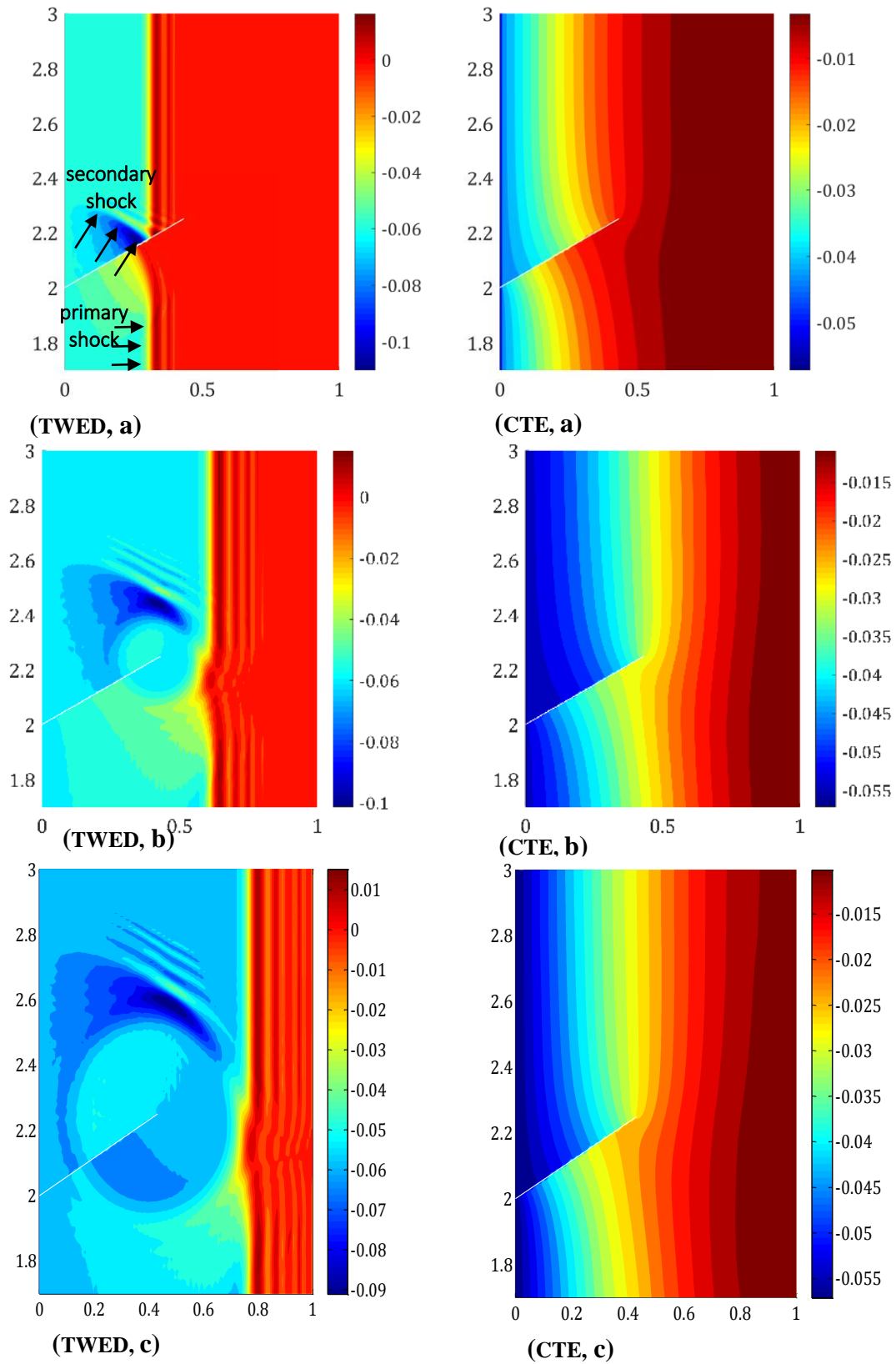
در شکل (۳-۱۸)، صفحه تغییر شکل یافته با حالت اولیه آن در زمان‌های 1 و 0.70 مقایسه شده است. با توجه به شکل، سرعت محدود موج جابه‌جایی به وضوح مشهود است.



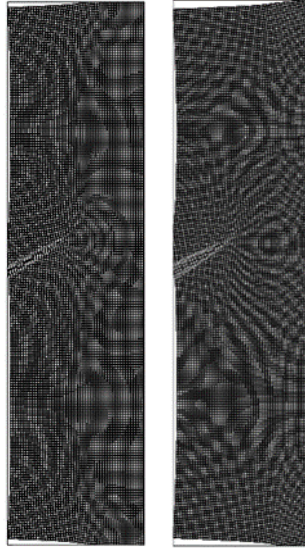
شکل (۳-۱۵) تغییرات زمانی ضریب شدت تنش مود I بر اساس تئوری‌های CTE، L-S و GNII



شکل (۳-۱۶) تغییرات زمانی ضریب شدت تنش مود II بر اساس تئوری‌های CTE، L-S و GNII



شکل (۳-۱۷) توزیع دمایی نزدیک نوک ترک بر اساس تئوری کلاسیک ترموالاستیسیته (راست) و گرین-نقدی II (چپ).
 (a) $t=0.4$, (b) $t=0.8$, (c) $t=1.0$.



شکل (۱۸-۳) تغییر شکل صفحه دارای ترک در $t=0.7$ (چپ) و $t=1$ (راست)

فصل ۴:

استخراج معادلات حاکم تئوری گرین-نقدی

نوع III

۴-۱- مقدمه

تئوری گرین-نقدی نوع III، چارچوبی جهت تحلیل، شرح و توصیف محدوده گسترده تری از مسائل هدایت گرمایی نسبت به تئوری های نوع I و II است. متغیرهای حالت تئوری گرین-نقدی نوع III در رابطه زیر نشان داده شده است [۶۰].

$$S_{III} = \{\alpha, \dot{\alpha}, \nabla \alpha, \nabla \dot{\alpha}\} \quad (1-4)$$

روابط ساختاری تئوری گرین-نقدی نوع III به صورت زیر قابل بیان هستند [۶۰].

$$\sigma_{ij} = \lambda \varepsilon_{kk} \delta_{ij} + 2\mu \varepsilon_{ij} - \gamma \theta \delta_{ij} \quad (2-4)$$

$$S = \beta \theta + \gamma \varepsilon_{kk} \quad (3-4)$$

$$q_i = -(\kappa^* \beta_i + k \dot{\beta}_i) \quad (4-4)$$

در روابط فوق، λ و μ ثابت های لامه، θ تغییر دما، k ضریب هدایت گرمایی، β_i مشتق مکانی جابه جایی گرمایی، β مدول تنش-دما و S تغییرات آنروپی است.

ترکیب روابط ساختاری فوق منجر به رابطه انرژی می شود؛ که در کنار رابطه تعادل، معادلات میدان حاکم بر مسئله طبق تئوری گرین-نقدی هستند. رابطه تعادل به صورت زیر قابل بیان است.

$$\sigma_{ij,j} + \rho b_i = \rho \ddot{u}_i \quad (5-4)$$

که σ ، b ، ρ و u به ترتیب تانسور تنش، بردار نیروی حجمی، چگالی و بردار جابجایی هستند.

۴-۲- معادلات حاکم تئوری گرین-نقدی نوع III

طبق تئوری ترموالاستیسیته تعمیم یافته گرین-نقدی نوع III، معادلات میدان حاکم در یک پیوستار ترموالاستیک بر حسب دما و جابه جایی در غیاب نیروهای حجمی و منبع تولید حرارت داخلی برای یک ماده همگن و همسانگرد به شرح زیر است:

$$\mu \nabla^2 \mathbf{u} + (\lambda + \mu) \nabla \nabla \cdot \mathbf{u} - \beta \nabla T = \rho \ddot{\mathbf{u}} \quad (6-4)$$

$$\rho c \ddot{T} + \beta T_0 \nabla \cdot \ddot{\mathbf{u}} = \kappa^* \nabla^2 T + k \nabla^2 \dot{T} \quad (7-4)$$

که \mathbf{u} و T به ترتیب بردار جابه‌جایی و دمای مطلق هستند. k ضریب هدایت گرمایی، ρ چگالی جرمی، c ظرفیت گرمایی ویژه، β مدول تنش-دما، T_0 دمای مرجع، λ و μ ثابت‌های لامه و κ^* ثابت ماده است.

استفاده از پارامترهای بدون بعد در فرایند حل می‌تواند به کاهش پیچیدگی‌های عددی فرایند حل منجر شود؛

بنابراین، پارامترهای بدون بعد به صورت زیر در نظر گرفته شده‌اند:

$$\hat{\mathbf{x}} = \frac{\mathbf{x}}{l} \quad (8-4)$$

$$\hat{t} = \frac{tv}{l} \quad (9-4)$$

$$\hat{\mathbf{u}} = \frac{(\lambda + 2\mu)}{l\beta T_0} \mathbf{u} \quad (10-4)$$

$$\hat{T} = \frac{\theta}{T_0} = \frac{T - T_0}{T_0} \quad (11-4)$$

که l و v به ترتیب طول و سرعت مشخصه هستند.

روابط فوق منجر به روابط بدون بعد زیر می‌شوند.

$$\hat{\varepsilon}_{ij} = \frac{(\lambda + 2\mu)}{\beta T_0} \varepsilon_{ij} \quad (12-4)$$

$$\hat{\sigma}_{ij} = \frac{1}{\beta T_0} \sigma_{ij} \quad (13-4)$$

معادلات حاکم بدون بعد برای مواد همگن همسانگرد در غیاب نیروهای حجمی و تولید حرارت داخلی بر حسب دما و جابه‌جایی طبق تئوری گرین-نقذی به شکل زیر بیان می‌شوند. علامت $\hat{\quad}$ برای سادگی حذف شده است.

$$C_s^2 \nabla^2 \mathbf{u} + (C_p^2 - C_s^2) \nabla \nabla \cdot \mathbf{u} - C_p^2 \nabla T = \ddot{\mathbf{u}} \quad (14-4)$$

$$\ddot{T} + \epsilon \nabla \cdot \ddot{\mathbf{u}} = C_T^2 \nabla^2 T + C_K^2 \nabla^2 \dot{T} \quad (15-4)$$

که

$$C_p^2 = \frac{\lambda + 2\mu}{\rho v^2}$$

$$C_s^2 = \frac{\mu}{\rho v^2}$$

$$C_T^2 = \frac{\kappa^*}{\rho c v^2}$$

$$C_K^2 = \frac{k}{\rho c l v}$$

(۱۶-۴)

C_p ، C_s و C_T به ترتیب سرعت موج الاستیک اتساعی خالص، موج برشی و گرمایی هستند. همچنین C_K ، ضریب میرایی تئوری گرین-نقدی نوع III و $\epsilon = T_0 \beta^2 / \rho c (\lambda + 2\mu)$ پارامتر ترموالاستیک کوپل کرنش-دما است.

۴-۳- فرمول بندی المان محدود توسعه یافته

برای یک جسم ترموالاستیک با مرز خارجی Ω و سطح جانبی Γ ، فرم ضعیف معادلات حاکم با استفاده از فرایند باقیمانده وزنی استخراج شده است. فرم انتگرالی باقیمانده وزنی با استفاده از توابع آزمون جابه‌جایی و دما استخراج شده است.

$$\int_{\Omega} (C_s^2 \nabla^2 \mathbf{u} + (C_p^2 - C_s^2) \nabla \nabla \cdot \mathbf{u} - C_p^2 \nabla T - \ddot{\mathbf{u}}) \cdot \delta \mathbf{u} \, d\Omega = 0 \quad (۱۷-۴)$$

$$\int_{\Omega} (\ddot{T} + \epsilon \nabla \cdot \ddot{\mathbf{u}} - C_T^2 \nabla^2 T - C_k^2 \nabla^2 \dot{T}) \delta T \, d\Omega = 0 \quad (۱۸-۴)$$

با انتگرال‌گیری جزء به جزء، معادلات حاکم به فرم ضعیف عبارت‌اند از

$$(\delta \mathbf{u} \cdot C_s^2 \nabla \mathbf{u} \cdot \mathbf{n} + \delta \mathbf{u} \cdot C_s^2 \nabla \mathbf{u}^T \cdot \mathbf{n} + \delta \mathbf{u} \cdot (C_p^2 - C_s^2) (\nabla \cdot \mathbf{u}) \mathbf{l} \cdot \mathbf{n} - \delta \mathbf{u} \cdot C_p^2 T \mathbf{l} \cdot \mathbf{n}) \Big|_{\Gamma}$$

$$- \int_{\mathbf{V}} (\nabla \delta \mathbf{u}^T : C_s^2 \nabla \mathbf{u} + \nabla \delta \mathbf{u}^T : C_s^2 \nabla \mathbf{u}^T \quad (۱۹-۴)$$

$$+ \nabla \cdot \delta \mathbf{u} (C_p^2 - C_s^2) \nabla \cdot \mathbf{u} - \nabla \cdot \delta \mathbf{u} C_p^2 \nabla T - \delta \mathbf{u} \cdot \ddot{\mathbf{u}}) \, d\Omega = 0$$

$$\begin{aligned}
& -\delta T C_T^2 \nabla T \cdot \mathbf{n} \Big|_r - \delta T C_k^2 \nabla T \cdot \mathbf{n} \Big|_r \\
& + \int_{\Omega} (\ddot{T} \delta T + \epsilon \nabla \cdot \ddot{\mathbf{u}} \delta T - \nabla \delta T C_T^2 \cdot \nabla T - \nabla \delta T C_k^2 \cdot \nabla T) d\Omega \quad (20-4) \\
& = 0
\end{aligned}$$

فرم ماتریسی معادلات حاکم تئوری گرین-نقدی با جاگذاری فرم تقریبی توابع آزمون در فرم ضعیف معادلات حاکم (۱۹-۴) و (۲۰-۴) به صورت زیر حاصل می‌شوند.

$$\sum_{e=1}^{ne} \left(\begin{bmatrix} \mathbf{M}_{11}^e & \mathbf{0} \\ \mathbf{M}_{21}^e & \mathbf{M}_{22}^e \end{bmatrix} \dot{\mathbf{Y}} + \begin{bmatrix} \mathbf{0} & \mathbf{0} \\ \mathbf{0} & \mathbf{C}_{22}^e \end{bmatrix} \dot{\mathbf{Y}} + \begin{bmatrix} \mathbf{K}_{11}^e & \mathbf{K}_{12}^e \\ \mathbf{0} & \mathbf{K}_{22}^e \end{bmatrix} \mathbf{Y} = \mathbf{F} \right) \quad (21-4)$$

که ne تعداد المان‌ها و \mathbf{Y} بردار جابه‌جایی‌های مجهول گره‌ای است. همچنین \mathbf{F} شامل نیروهای گره‌ای و شار گرمایی است.

$$\mathbf{M}_{11}^e = \int_{\Omega^e} \boldsymbol{\varphi}^T \boldsymbol{\varphi} d\Omega \quad (22-4)$$

$$\mathbf{M}_{21}^e = \int_{\Omega^e} \boldsymbol{\varphi}^{thT} \epsilon \mathbf{B}^{th*} d\Omega \quad (23-4)$$

$$\mathbf{M}_{22}^e = \int_{V^e} \boldsymbol{\varphi}^{thT} \boldsymbol{\varphi}^{th} dV \quad (24-4)$$

$$\mathbf{K}_{11}^e = \int_{V^e} \mathbf{B}^T \mathbf{D} \mathbf{B} dV \quad (25-4)$$

$$\mathbf{K}_{12}^e = - \int_{V^e} \mathbf{B}^{th*T} \mathbf{C}_p^2 \boldsymbol{\varphi}^{th} dV \quad (26-4)$$

$$\mathbf{K}_{22}^e = \int_{V^e} \mathbf{B}^{thT} \mathbf{C}_T^2 \mathbf{B}^{th} dV \quad (27-4)$$

$$\mathbf{C}_{22}^e = \int_{V^e} \mathbf{B}^{thT} \mathbf{C}_k^2 \mathbf{B}^{th} dV \quad (28-4)$$

در روابط فوق،

$$\boldsymbol{\varphi} = \left[\begin{array}{cc|cc|ccc} \boldsymbol{\varphi}_1 & \mathbf{0} & \boldsymbol{\varphi}_2 & \mathbf{0} & \dots & \boldsymbol{\varphi}_n & \mathbf{0} \\ \mathbf{0} & \boldsymbol{\varphi}_1 & \mathbf{0} & \boldsymbol{\varphi}_2 & \dots & \mathbf{0} & \boldsymbol{\varphi}_n \end{array} \right] \quad (29-4)$$

$$\boldsymbol{\varphi}_i = \begin{cases} N_i & \text{گره‌های معمولی} \\ [N_i \quad N_i(H - H_i)] & \text{گره‌های غنی شده با تابع هویساید} \\ [N_i \quad N_{is}(F_j^u - F_{isj}^u)] & \text{گره‌های غنی شده نوک ترک} \end{cases} \quad (30-4)$$

$$\boldsymbol{\varphi}^{th} = [\boldsymbol{\varphi}_1^{th} | \boldsymbol{\varphi}_2^{th} | \dots | \boldsymbol{\varphi}_n^{th}] \quad (31-4)$$

$$\boldsymbol{\varphi}_i^{th} = \begin{cases} N_i & \text{گره‌های معمولی} \\ [N_i \quad N_i(H - H_i)] & \text{گره‌های غنی شده با تابع هویساید} \\ [N_i \quad N_i(F^T - F_i^T)] & \text{گره‌های غنی شده نوک ترک} \end{cases} \quad (32-4)$$

9

$$\mathbf{B} = \left[\begin{array}{cc|cc|ccc} \boldsymbol{\varphi}_{1,X_1} & \mathbf{0} & \boldsymbol{\varphi}_{2,X_1} & \mathbf{0} & \dots & \boldsymbol{\varphi}_{n,X_1} & \mathbf{0} \\ \mathbf{0} & \boldsymbol{\varphi}_{1,X_2} & \mathbf{0} & \boldsymbol{\varphi}_{2,X_2} & \dots & \mathbf{0} & \boldsymbol{\varphi}_{n,X_2} \\ \boldsymbol{\varphi}_{1,X_2} & \boldsymbol{\varphi}_{1,X_1} & \boldsymbol{\varphi}_{2,X_2} & \boldsymbol{\varphi}_{2,X_1} & \dots & \boldsymbol{\varphi}_{n,X_2} & \boldsymbol{\varphi}_{n,X_1} \end{array} \right] \quad (33-4)$$

$$\mathbf{B}^{th} = \left[\begin{array}{c|c|c} \boldsymbol{\varphi}_{1,X_1}^{th} & \boldsymbol{\varphi}_{2,X_1}^{th} & \boldsymbol{\varphi}_{n,X_1}^{th} \\ \boldsymbol{\varphi}_{1,X_2}^{th} & \boldsymbol{\varphi}_{2,X_2}^{th} & \boldsymbol{\varphi}_{n,X_2}^{th} \end{array} \right] \quad (34-4)$$

$$\mathbf{B}^{th*} = [\boldsymbol{\varphi}_{1,X_1}^{th} \boldsymbol{\varphi}_{1,X_2}^{th} \boldsymbol{\varphi}_{2,X_1}^{th} \boldsymbol{\varphi}_{2,X_2}^{th} \dots \boldsymbol{\varphi}_{n,X_1}^{th} \boldsymbol{\varphi}_{n,X_2}^{th}] \quad (35-4)$$

بعلاوه، D تنسور الاستیک برای حالت کرنش صفحه‌ای است.

$$\mathbf{D} = \begin{bmatrix} C_p^2 & C_p^2 - 2C_s^2 & \mathbf{0} \\ C_p^2 - 2C_s^2 & C_p^2 & \mathbf{0} \\ \mathbf{0} & \mathbf{0} & C_s^2 \end{bmatrix} \quad (36-4)$$

مشابه فصل قبل، روش نیومارک برای انتگرال‌گیری زمانی در حل معادلات (31-4) مورد استفاده قرار گرفته

است.

۴-۴- نتایج

این بخش با بررسی یک محیط محدود دارای ترک تحت شوک گرمایی گرین-نقدی در حالات مختلف مورد مطالعه قرار می‌گیرد و در حالت خاص تئوری گرین-نقدی III با تحقیقات دیگر مقایسه می‌شود. تغییرات زمانی ضرایب شدت تنش در صفحه دارای ترک لبه‌ای تحت شوک گرمایی گرین-نقدی II با نتایج تئوری کلاسیک ترموالاستیسیته، لرد-شولمان و گرین-لیندزی مقایسه می‌شود.

بعلاوه، توزیع دما با نتایج تحلیلی نیز مقایسه می‌شود. اثر موج‌های دما و تنش بر تاریخچه زمانی ضرایب شدت تنش و توزیع دمای نوک ترک از مهم‌ترین بخش نتایج هستند که به‌دقت مورد بحث قرار گرفته‌اند.

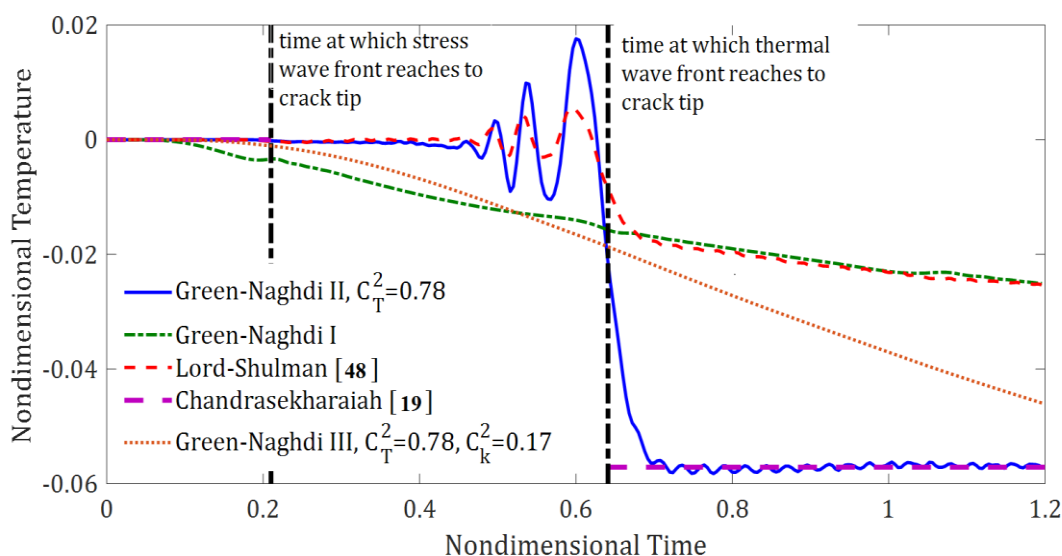
۴-۴-۱- ترک مود I تحت شوک دمایی متقارن

یک صفحه دارای ترک از جنس بیسموت با خواص مکانیکی و گرمایی ارائه شده در جدول ۳-۲، در نظر گرفته شده است. صفحه دارای عرض $W=10\text{ mm}$ ، ارتفاع $H=40\text{ mm}$ در نظر گرفته شده است. همچنین ضخامت به‌اندازه کافی بزرگ در نظر گرفته شده تا شرایط کرنش صفحه‌ای بر مسئله حاکم باشد. طول نسبی ترک نیز $a/W=0.5$ در نظر گرفته شده است. طول و سرعت مرجع به ترتیب $l=0.01\text{ m}$ و $v=1000\text{ m/sec}$ در نظر گرفته شده‌اند. طبق نتایج آزمایشگاهی، سرعت موج گرما در بیسموت در دمای کمتر از 3.5 K حدود 780 m/sec تخمین زده شده است [۵۹]. صفحه بدون قیدهای مکانیکی و نیز در دمای اولیه 3.5 K قرار دارد. کاهش ناگهانی دما برای وجه دارای ترک، مطابق زیر فرض شده است.

$$\Delta T(0, t) = -0.2 H(t)K \quad (۴-۳۷)$$

مدل المان محدود توسعه یافته صفحه شامل مش یکنواخت 101×401 المان مستطیلی چهار گره‌ای و گام زمانی برابر با 0.004 در فضای بدون بعد در نظر گرفته شده است. دمای نوک ترک بر اساس مدل‌های مختلف تئوری گرین-نقدی و تئوری لرد-شولمان جهت مشاهده تغییرات دمای نوک ترک در شکل (۴-۱) نشان داده شده است. بعلاوه، دمای نوک ترک با در نظر گرفتن تئوری گرین-نقدی نوع III با نتایج روش

تحلیلی [۱۹] مقایسه شده است. خطوط عمودی در شکل (۴-۱)، نشان‌دهنده زمان رسیدن جبهه موج‌های تنش و دما به نوک ترک است که به ترتیب در زمان‌های $t=0.21$ و $t=0.641$ اتفاق می‌افتد. نتایج روش تحلیلی وجود یک ناپیوستگی کوچک محدود برای موج تنش در زمان $t=0.21$ و ناپیوستگی بزرگتر برای موج دما در زمان $t=0.641$ در اثر کوپلینگ کرنش-دما را تأیید می‌کند [۱۹]. در روش عددی ناپیوستگی به‌وضوح قابل ملاحظه نیست. تغییرات زمانی دمای نوک ترک بر اساس تئوری‌های گرین-نقدی نوع II و III در مقایسه با تئوری‌های کلاسیک ترموالاستیسیته (گرین-نقدی نوع I) و لرد-شولمان کاملاً متفاوت است.

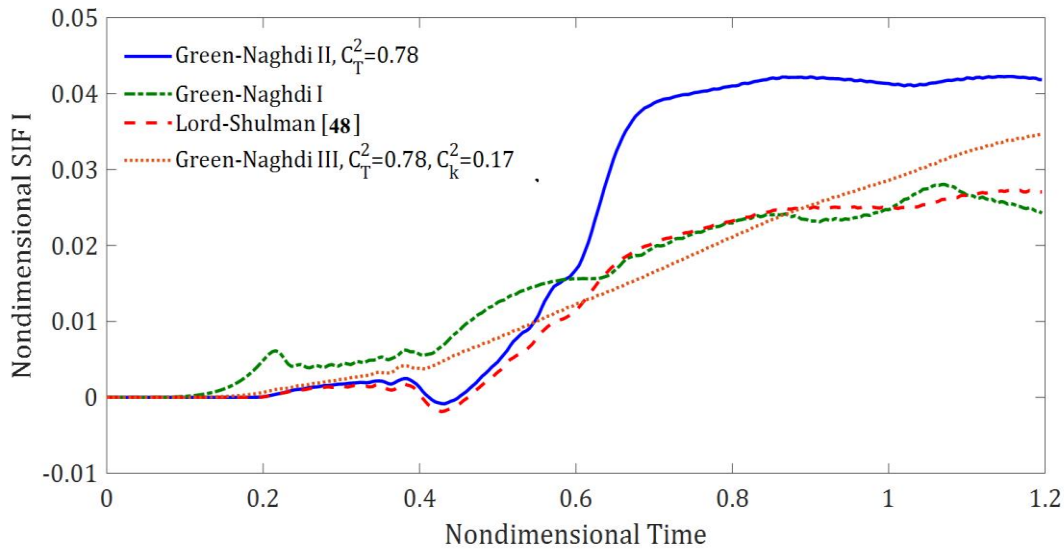


شکل (۴-۱) تاریخچه زمانی دمای نوک ترک بر اساس تئوری‌های LS، CTE، GN و

در حالت خاص، هنگامی که سرعت موج گرما از تنش کمتر است با رسیدن موج گرما به سطوح ترک، دمای نوک ترک به مقدار خود می‌رسد؛ که این امر در حالت کلی در [۱۹] نشان داده شده است. همچنین نقش جمله کوپلینگ دما-کرنش بر تغییرات دمایی نوک ترک ناشی از رسیدن موج تنش در تئوری گرین-نقدی III نشان داده شده است.

تغییرات زمانی ضریب شدت تنش مود I طبق تئوری‌های گرین-نقدی و لرد-شولمان در شکل (۴-۲) نشان داده شده است. در ابتدای شوک گرمایی، ضریب شدت تنش تئوری گرین-نقدی نوع I به دلیل سرعت نامحدود موج گرما از صفر شروع شده و تا رسیدن موج گرما به نوک ترک در زمان $t=0.21$ افزایش می‌یابد. درحالی‌که

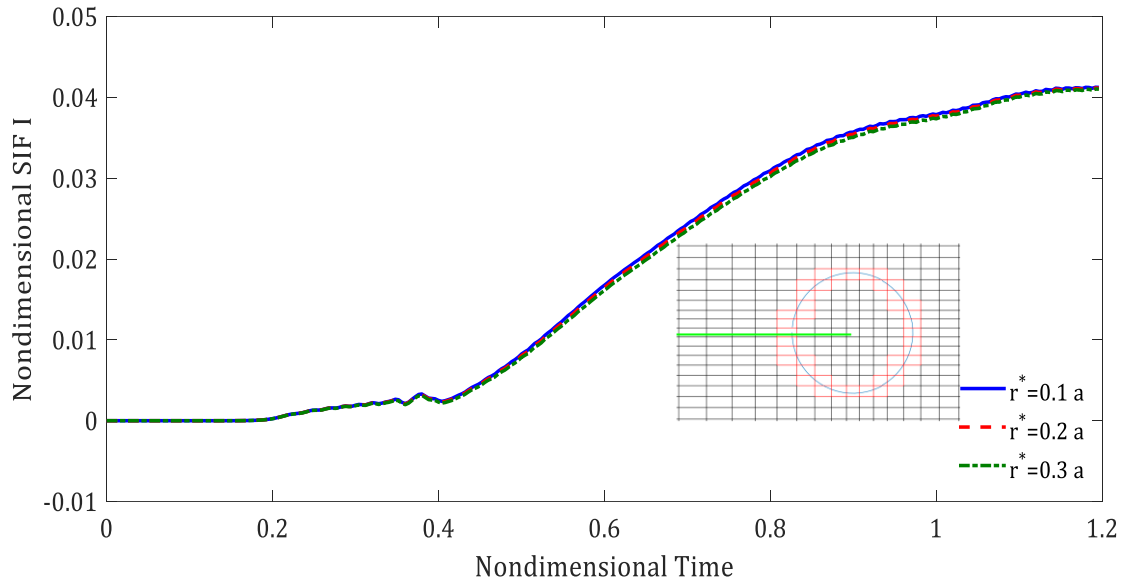
در مدل‌های دیگر ضریب شدت تنش مود I پس از رسیدن موج تنش به نوک ترک افزایش می‌یابد. نرخ رشد ضریب شدت تنش مود I پس از رسیدن بازتاب موج تنش به نوک ترک در زمان $t=0.63$ و موج گرما در زمان $t=0.64$ کاهش می‌یابد.



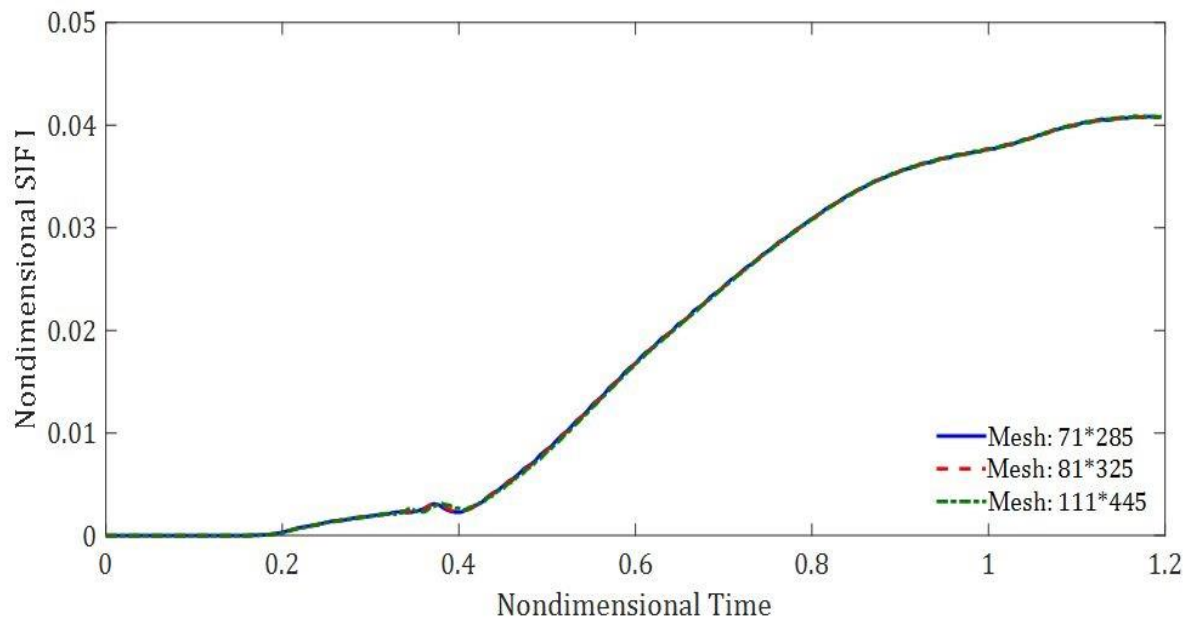
شکل (۴-۲) تاریخچه زمانی ضریب شدت تنش مود I برای ترک لبه‌ای تحت شوک گرمایی گرین-نقدی

در شکل (۴-۳)، استقلال دامنه ضریب شدت تنش مود I طبق تئوری نوع III با $C_k^2 = 0.05$ و در نظر گرفتن سه انتگرال دامنه دایروی متفاوت مورد بررسی قرار گرفته است. هر دامنه المان‌های غنی‌شده داخل یک دایره به مرکز نوک ترک را شامل می‌شود. تاریخچه زمانی ضریب شدت تنش مود I به ازای دامنه‌های مختلف تقریباً ثابت است. همچنین، مش یکنواخت با تعداد المان متفاوت جهت بررسی حساسیت مش در استخراج ضریب شدت تنش مود I در شکل (۴-۴) مورد استفاده قرار گرفته است. علاوه بر این، تاثیر گام زمانی بر ضریب شدت تنش مود I در شکل (۴-۵) و تاثیر گام زمانی بر دمای نوک ترک در شکل (۴-۶) بررسی شده است. با توجه به نتایج، تغییرات زمانی ضریب شدت تنش و دمای نوک ترک مود I برای گام‌های زمانی مختلف تقریباً یکسان است. در این مورد و موارد بعدی، ضریب شدت تنش با فاکتور زیر بی‌بعد شده است.

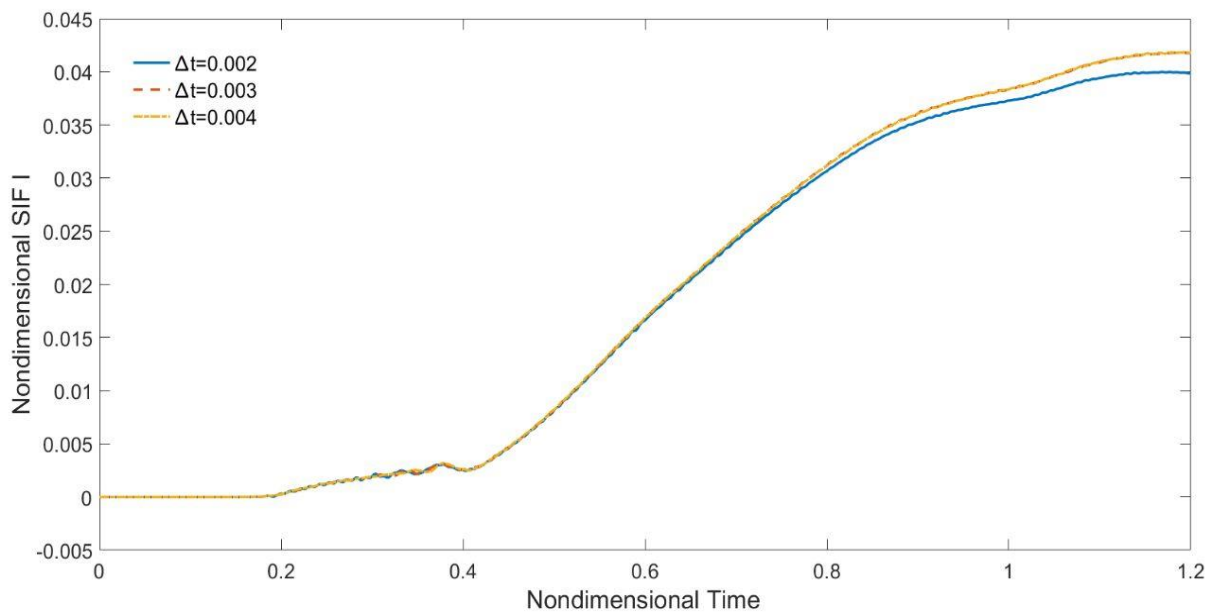
$$K_0 = \beta T_0 \sqrt{l} \quad (۴-۳۸)$$



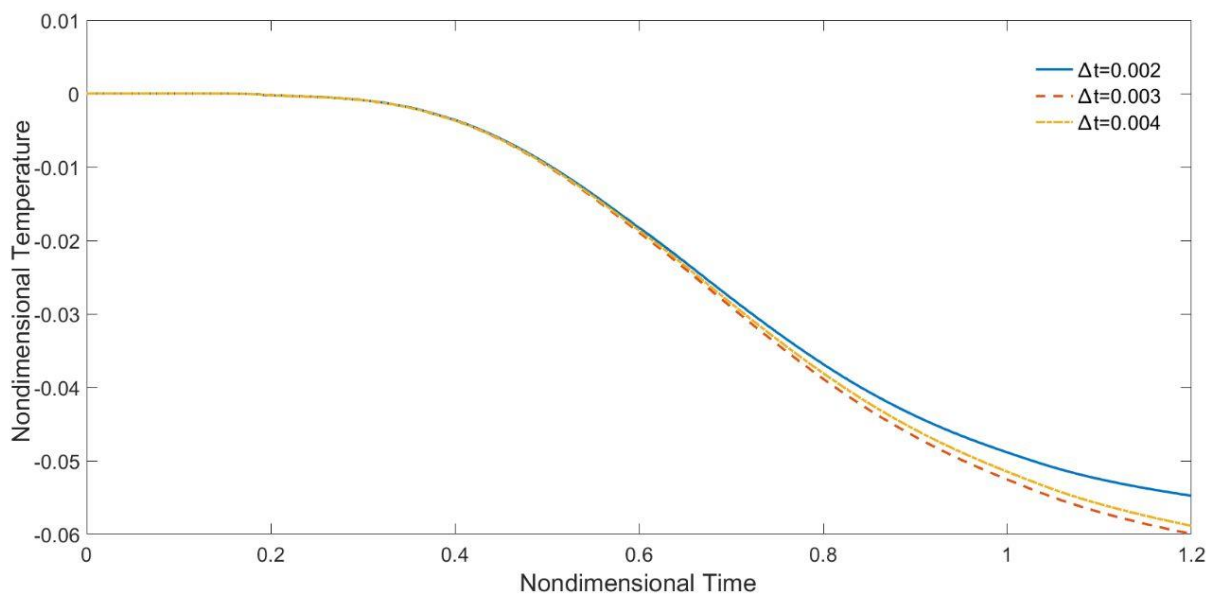
شکل (۳-۴) استقلال دامنه انتگرال برهم کنش برای ترک افقی تحت شوک گرمایی متقارن طبق تئوری گرین-نقدی نوع III با $C_k^2 = 0.05$



شکل (۴-۴) حساسیت مش ضریب شدت تنش مود I برای ترک افقی تحت شوک گرمایی طبق تئوری گرین-نقدی نوع III با $C_k^2 = 0.05$



شکل (۴-۵) تاثیر گام زمانی بر ضریب شدت تنش مود I برای ترک افقی تحت شوک گرمایی طبق تئوری گرین-نقدی نوع III با $C_k^2 = 0.05$

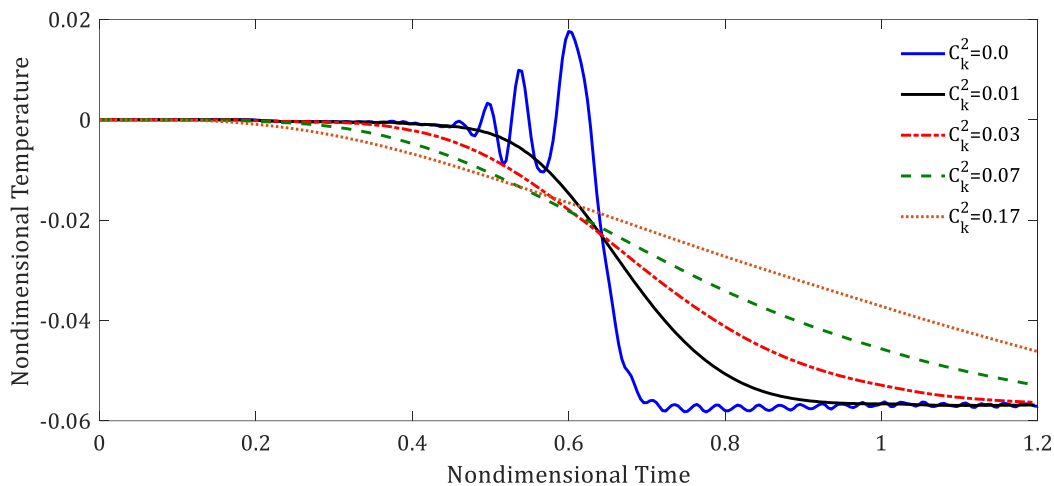


شکل (۴-۶) تاثیر گام زمانی بر دمای نوک ترک مود I برای ترک افقی تحت شوک گرمایی طبق تئوری گرین-نقدی نوع III با $C_k^2 = 0.05$

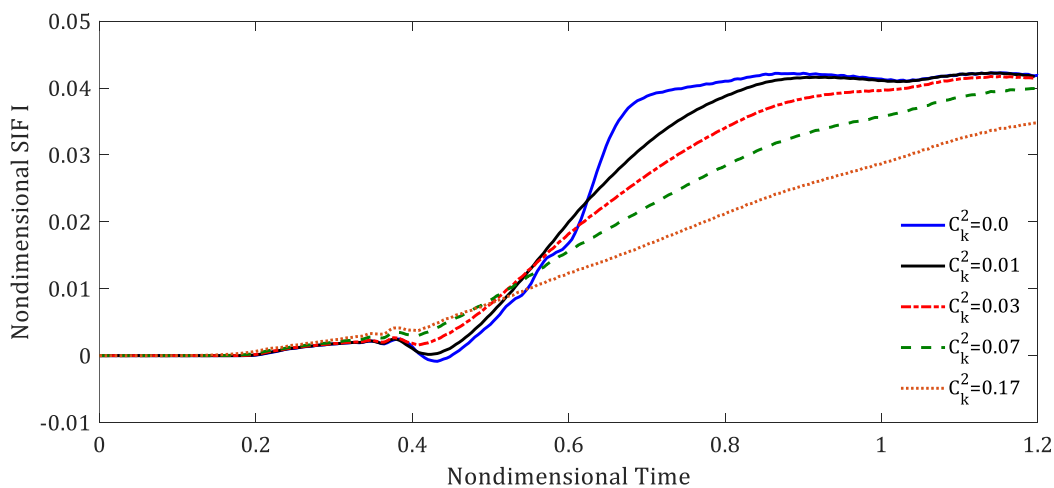
۴-۲-۴- اثر ضریب میرایی بر ضریب شدت تنش

نقش ضریب میرایی در فرم بدون بعد در تئوری گرین-نقدی با دیگر تئوری‌های ترموالاستیسیته متفاوت

است. در این مثال، اثر ضریب میرایی برای یک صفحه دارای ترک با مشخصات مثال قبل، تحت شوک دمایی و شار گرمایی مورد مطالعه قرار گرفته است. در مسئله شوک دمایی همانند مثال قبل، دمای نوک ترک و ضریب شدت تنش مود I به ازای مقادیر مختلف C_k ، به ترتیب در شکل (۴-۵) و شکل (۴-۶) نشان داده شده است.



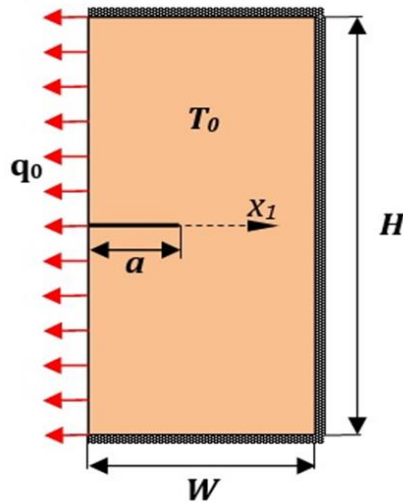
شکل (۴-۷) اثر ضریب میرایی بر دمای نوک ترک تئوری گرین-نقدی نوع III



شکل (۴-۸) اثر ضریب میرایی بر ضریب شدت تنش مود I در شوک دمایی

تاریخچه زمانی ضریب شدت تنش مود I برای مقادیر مختلف ضریب میرایی در شکل (۴-۶) ارائه شده است. با افزایش مقدار ضریب میرایی، بیشینه ضریب شدت تنش مود I کاهش یافته و با تأخیر بیشتری رخ می‌دهد.

از طرف دیگر، شوک ناگهانی شار گرمایی مدل مناسبتری از شرایط مرزی گرمایی حاکم بر بسیاری از کاربردهای مهندسی است. در این موارد شار یکنواخت $\hat{q}_0 = -0.05 H(t)$ در فضای بدون بعد به لبه دارای ترک صفحه‌ای از جنس بیسموت نشان داده در شکل (۷-۴) اعمال شده است.



شکل (۹-۴) هندسه و بارگذاری صفحه دارای ترک لبه‌ای تحت شوک شار گرمایی

شار گرمایی بدون بعد طبق رابطه زیر تعریف می‌شود.

$$\hat{q} = \frac{q}{\rho c v T_0} \quad (۳۹-۴)$$

طبق رابطه ساختاری شار گرمایی تئوری گرین-نقدی نوع III، شار گرمایی تابعی خطی از گرادیان جابه‌جایی گرمایی و گرادیان دما است.

$$q = -\kappa \nabla \alpha - k \nabla T \quad (۴۰-۴)$$

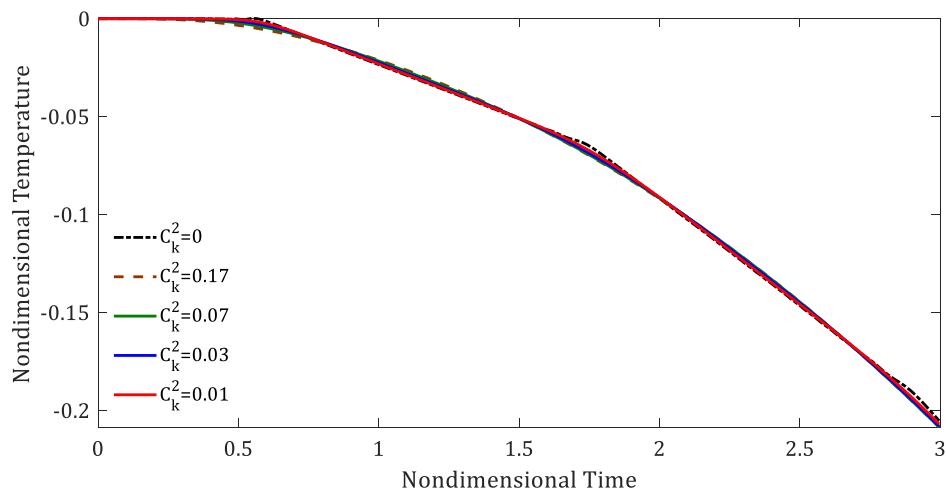
که α ، جابه‌جایی گرمایی است. معادله ساختاری شار گرمایی برحسب دما به صورت زیر است.

$$\dot{q} = -\kappa \nabla T - k \nabla \dot{T} \quad (۴۱-۴)$$

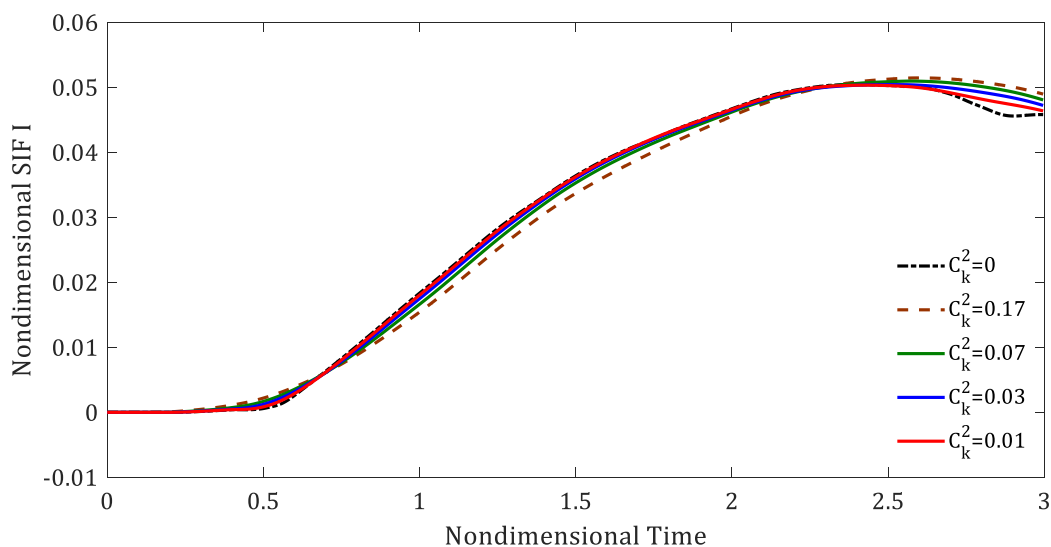
بنابراین، شرط مرزی گرمایی بی‌بعد تئوری گرین-نقدی نوع III به صورت زیر است.

$$C_T^2 \nabla T + C_k^2 \nabla T|_{x_1=0} = -0.05 \delta(t) \quad (4-42)$$

که δ ، تابع دلتای دیراک است. مش 101×405 المان چهار گره‌ای و گام زمانی $\Delta t = 0.004$ در نظر گرفته شده است. تاریخچه زمانی دمای نوک ترک و ضریب شدت تنش مود I بر اساس تئوری گرین-نقدی نوع III به ازای مقادیر مختلف ضریب میرایی به ترتیب در شکل (4-8) و شکل (4-9) نشان داده شده است. برخلاف شوک دمایی، مقادیر دمای نوک ترک و ضریب شدت تنش مود I به ازای مقادیر انتخابی ضریب میرایی به هم نزدیک هستند.



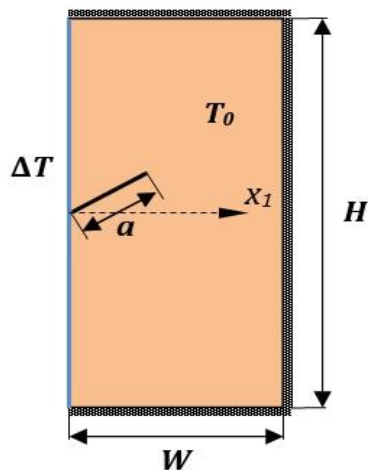
شکل (4-10) اثر ضریب میرایی بر دمای نوک ترک تئوری گرین-نقدی نوع III تحت شوک شار گرمایی



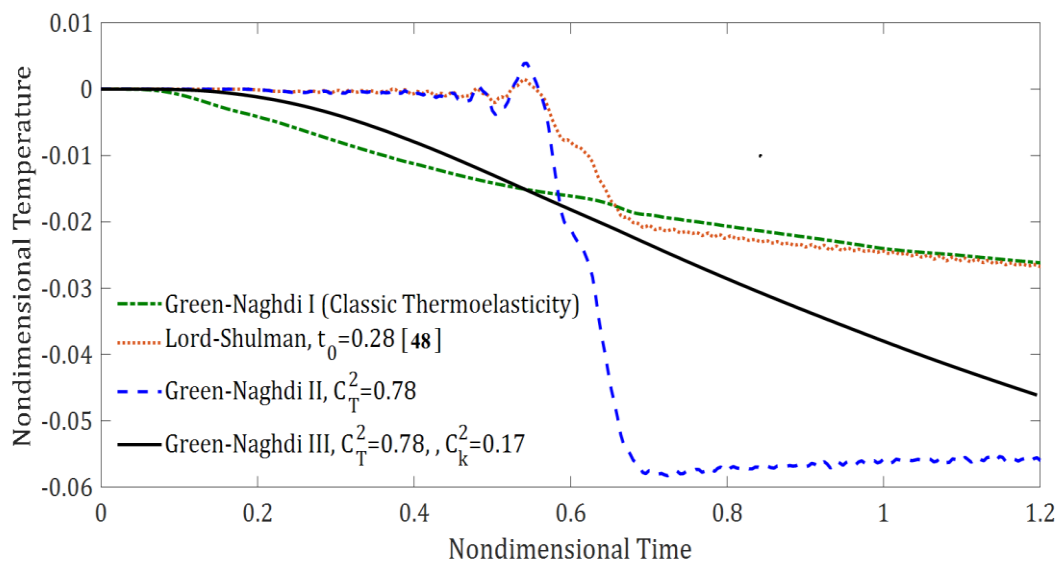
شکل (4-11) اثر ضریب میرایی بر ضریب شدت تنش مود I تئوری گرین-نقدی تحت شوک شار گرمایی

۳-۴-۴- ترک مورب تحت شوک دمایی

ترک مورب لبه‌ای به طول $a/W=0.5$ و زاویه $\alpha=30$ نسبت به محور x_1 در صفحه از جنس بیسموت با مشخصات استفاده شده در بخش ۲-۴-۴ مفروض است. تغییر ناگهانی دما به لبه دارای ترک مطابق شکل (۴-۱۰) اعمال می‌شود. تاریخچه زمانی دمای نوک ترک بر اساس مدل‌های گرین-نقدی با تئوری لرد-شولمان در شکل (۴-۱۱) مقایسه شده است. در ابتدای اعمال شوک گرمایی تا رسیدن موج تنش به نوک ترک، تاریخچه زمانی مدل‌های تئوری گرین-نقدی و تئوری لرد-شولمان مشابه هستند.

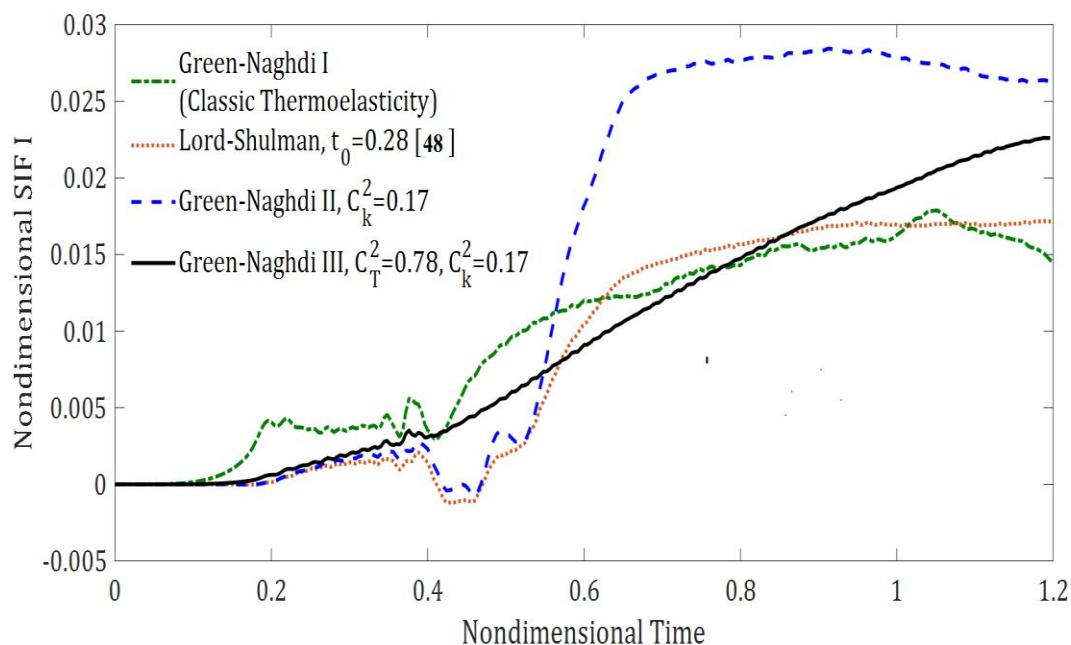


شکل (۴-۱۲) هندسه و بارگذاری صفحه دارای ترک مورب

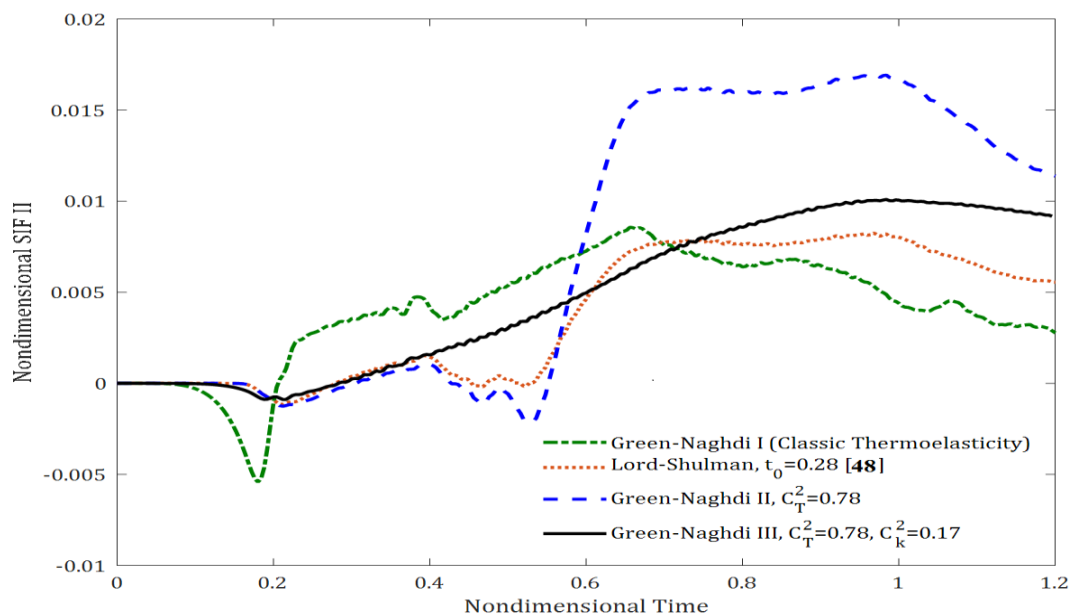


شکل (۴-۱۳) تاریخچه زمانی دمای نوک ترک بر اساس تئوری‌های گرین-نقدی و لرد-شولمان

پس از رسیدن موج گرما به نوک ترک، دمای مدل I تئوری گرین-نقدی و تئوری لرد-شولمان نزدیک هستند درحالی که دو مدل دیگر تقریباً دو برابر مقدار شرط مرزی گرمایی در این مثال است. در شکل (۱۲-۴) و شکل (۱۳-۴) به ترتیب تاریخچه زمانی ضریب شدت تنش مود مختلط، ضریب شدت تنش مود I و II نشان داده شده است. تاریخچه ضریب شدت تنش مدل های II و III و نیز تئوری لرد-شولمان تا رسیدن موج گرما به نوک ترک یکسان هستند که موجب افزایش ضریب شدت تنش تا مقدار بیشینه خود می شود. مقدار بیشینه در مدل II تقریباً ۱۰۰ و مدل III تقریباً ۶۰ درصد از مقادیر تئوری های ترموالاستیسیته کلاسیک و لرد-شولمان بیشتر است.

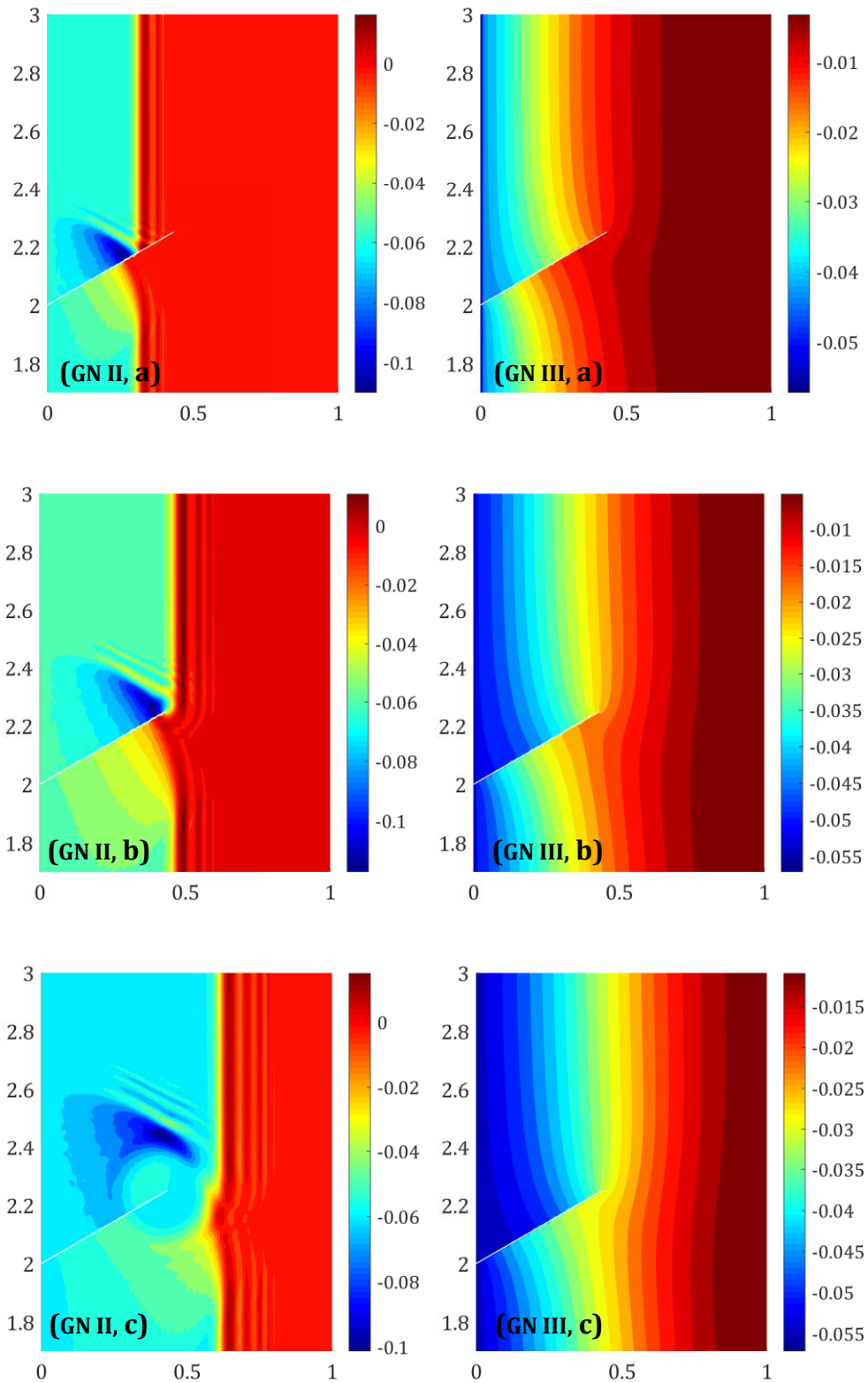


شکل (۱۴-۴) تاریخچه زمانی ضریب شدت تنش مود I طبق تئوری های کلاسیک ترموالاستیسیته، لرد-شولمان و گرین-نقدی



شکل (۴-۱۵) تاریخچه زمانی ضریب شدت تنش مود II بر اساس تئوری‌های کلاسیک ترموالاستیسیته، لرد-شولمان و گرین-نقدی

در شکل (۴-۱۴)، مقایسه توزیع دما در صفحه مستطیلی طبق مدل‌های II و III تئوری گرین-نقدی در زمان‌های 1 و 0.70 و 0.50 ارائه شده است. عایق بودن وجوه ترک و سرعت محدود موج گرما به‌ویژه برای مدل II به‌وضوح قابل مشاهده است. بعلاوه، موج گرمای ثانویه (ناحیه سرد) روی لبه ترک ایجاد می‌شود که ممکن است دما در آن ناحیه از شرط مرزی گرمایی اعمال شده کمتر باشد. تداخل موج گرمای بازتاب شده از وجوه ترک با موج گرمای اولیه گذرنده از نقاط بالاتر باعث ایجاد این ناحیه می‌شود. موج گرمای ثانویه مسیر ترک را دنبال می‌کند و به نوک ترک می‌رسد و بازتاب می‌شود تا موج میرا شود.



شکل (۴-۱۶) توزیع دمایی نزدیک نوک ترک بر اساس تئوری گرین-نقدی نوع III (راست) و نوع II (چپ).
 (a) $t=0.4$, (b) $t=0.6$, (c) $t=0.8$

فصل ۵:

حل معادلات المان محدود توسعه یافته در

فضای لاپلاس

۵-۱- مقدمه

در مسائل کوپل ترموالاستیسیته، گرادیان زمانی در حالت کلی با استفاده از الگوریتم تفاضل محدود گسسته سازی می‌شود. سپس حل مسئله به صورت گام‌به‌گام از مقدار اولیه تا رسیدن به پاسخ نهایی ادامه می‌یابد. در این شرایط، نمو زمانی باید به گونه‌ای انتخاب شود که منجر به پایداری عددی و نیز سرعت همگرایی بالا شود. محدودیت‌های فوق منجر به صرف زمان و هزینه بیشتر در رسیدن به پاسخ مسئله می‌شود که در این موارد، فرایند مؤثر دیگر حل معادلات المان محدود توسعه یافته در فضای لاپلاس است.

از طرف دیگر در مسائل مختلف ممکن است هندسه در نظر گرفته شده یک ماده کامپوزیت با هندسه نامنظم تحت بارگذاری مکانیکی و گرمایی وابسته به زمان، تحت شرایط شبه-استاتیکی یا دینامیکی، تحت شرایط ترموالاستیکی کوپل یا غیرکوپل و دارای سرعت محدود یا نامحدود موج گرما باشد. در چنین شرایطی پاسخ گذرا در هر لحظه می‌تواند به صورت مستقیم محاسبه شود.

مزایای استفاده از روش تبدیل لاپلاس در حل مسائل ترموالاستیک، منجر به استفاده گسترده از این روش در حل مسائل ترموالاستیک شده است. حسینی و ابوالبشری [۲۶]، مطالعه موج‌های گرمایی و مکانیکی طبق تئوری گرین-نقدی با استفاده از روش‌های تحلیلی را ارائه کردند. معادلات حاکم با اعمال تبدیل لاپلاس، در فضای لاپلاس با استفاده از سری‌ها حل شده‌اند و سپس با استفاده از روش تبدیل لاپلاس معکوس عددی به فضای زمان نگاشت شده‌اند. همچنین، چن و ونگ [۶۱]، روشی برای حل مسائل ترموالاستیک دینامیکی پیشنهاد کردند که در این روش محاسبات المان محدود در فضای لاپلاس صورت گرفته و حل نهایی با استفاده از روش تبدیل لاپلاس معکوس عددی به فضای زمان نگاشت شده است. در این تحقیق از فرم متحد معادلات حاکم تئوری گرین-لیندزی و لرد-شولمان استفاده شده است.

۵-۲- اعمال تبدیل لاپلاس

اعمال تبدیل لاپلاس بر رابطه (۴-۲۱) با توجه به صفر بودن شرایط اولیه مسئله، منجر به رابطه زیر در فضای لاپلاس می‌شود.

$$\left(\begin{bmatrix} \mathbf{M}_{11}^e & \mathbf{0} \\ \mathbf{M}_{21}^e & \mathbf{M}_{22}^e \end{bmatrix} s^2 + \begin{bmatrix} \mathbf{0} & \mathbf{0} \\ \mathbf{0} & \mathbf{C}_{22}^e \end{bmatrix} s + \begin{bmatrix} \mathbf{K}_{11}^e & \mathbf{K}_{12}^e \\ \mathbf{0} & \mathbf{K}_{22}^e \end{bmatrix} \right) Y(s) = \frac{1}{s} F \quad (1-5)$$

نتایج رابطه فوق با استفاده از روش تبدیل لاپلاس معکوس عددی [۶۲] به فضای زمان نگاشت می‌شود.

۵-۳- تبدیل لاپلاس معکوس عددی

تبدیل انتگرالی لاپلاس در علوم مهندسی کاربرد گسترده‌ای دارد و استفاده از تبدیل لاپلاس معکوس عددی در بسیاری از تحقیقات جهت حل معادلات دیفرانسیل و انتگرالی، نشان‌دهنده اهمیت آن است [۶۲]. روش‌های متعددی جهت تبدیل لاپلاس معکوس عددی وجود دارد. از میان روش‌های موجود، تقریب سری‌های فوریه به علت سادگی و دقت بالاتر نسبت به روش‌های دیگر مورد توجه قرار گرفته است. روش بسط سری‌های فوریه در ابتدا توسط دابنر و ابیت [۶۳] مورد استفاده قرار گرفت. دورباین [۶۴] نیز در مطالعات خود این روش را بهبود بخشید.

محققین بسیاری از روش‌های شتاب‌دهی مختلفی در مطالعات خود استفاده کرده‌اند که به منظور افزایش سرعت همگرایی سری‌های فوریه مورد استفاده قرار می‌گیرند. جهت نگاشت تابع $\tilde{f}(s)$ از فضای لاپلاس به زمان، از سری‌های فوریه با بی‌نهایت جمله استفاده می‌شود و سپس این بی‌نهایت جمله با N جمله تقریب زده می‌شوند که موجب ایجاد خطای تجمعی در محاسبات می‌شود. برخی از روش‌های شتاب‌دهی منجر به کاهش قابل ملاحظه خطای تجمعی می‌شوند، اما اثربخشی آن‌ها به انتخاب پارامترهای دلخواه در نتایج بستگی دارد. یکی دیگر از معایب روش‌های ارائه شده، وابستگی خطاهای گسسته‌سازی^۱ و تجمعی^۲ است. در این حالت انتخاب پارامترهای آزاد به صورتی که باعث کاهش یک خطا شود، باعث افزایش خطای دیگر و حتی میل کردن خطا به بی‌نهایت (واگرایی) می‌شود. جهت رفع این مشکل روش پیشگویی-تصحیح پیشنهاد شده است که در آن، خطای گسسته‌سازی می‌تواند بدون اینکه موجب افزایش خطای تجمعی شود کاهش یابد. البته دقت این روش

^۱Discretization Error

^۲Accumulative Error

نیز به انتخاب پارامترهای آزاد بستگی دارد. در روش ارائه شده توسط هانیگ و هیردس [۶۲] تعیین پارامترهای آزاد به صورت بهینه، موجب دقت بالاتر نسبت به روش‌های دیگر می‌شود.

۵-۳-۱- روش دورباین

تبدیل لاپلاس تابع حقیقی $f(t)$ و معکوس آن به صورت رابطه (۲-۵) بیان می‌شوند.

$$\tilde{f}(s) = \mathcal{L}\{f(t)\} = \int_0^{\infty} e^{-st} f(t) dt \quad (الف-۲-۵)$$

$$f(t) = \mathcal{L}^{-1}\{\tilde{f}(s)\} = \frac{1}{2\pi i} \int_{v-i\infty}^{v+i\infty} \tilde{f}(s) e^{st} ds \quad (ب-۲-۵)$$

در روابط بالا، s متغیر استاندارد تبدیل لاپلاس به شکل مختلط $s = v + iw$ است. s باید برای تابع $\tilde{f}(s)$ به گونه‌ای انتخاب شود که v از قسمت حقیقی تمام تکین‌های تابع $\tilde{f}(s)$ بزرگتر باشد. تبدیل لاپلاس معکوس عددی با رابطه (۲-۵) به شکل زیر محاسبه می‌شود.

$$f(t) = \frac{e^{vt}}{\pi} \int_0^{\infty} [\operatorname{Re}\{\tilde{f}(s)\} \cos wt - \operatorname{Im}\{\tilde{f}(s)\} \sin wt] dw \quad (۳-۵)$$

با استفاده از رابطه (۳-۵) و بسط سری فوریه $h(t) = e^{-vt} f(t)$ در بازه $[0, 2T]$ ، یک رابطه تقریبی

به صورت زیر به دست می‌آید.

$$f(t) = \frac{e^{vt}}{T} \left[-\frac{1}{2} \operatorname{Re}\{\tilde{f}(s)\} + \sum_{n=0}^{\infty} \operatorname{Re}\left\{\tilde{f}\left(v + i \frac{n\pi}{T}\right)\right\} \cos \frac{n\pi}{T} t - \sum_{n=0}^{\infty} \operatorname{Im}\left\{\tilde{f}\left(v + i \frac{n\pi}{T}\right)\right\} \sin \frac{n\pi}{T} t \right] \quad (۴-۵)$$

$$-Er1(v, t, T)$$

که در آن، $Er1(v, t, T)$ خطای گسسته‌سازی نام دارد که به شکل رابطه (۵-۵) بیان می‌شود.

$$\text{Er1}(v, t, T) = \sum_{n=1}^{\infty} e^{-2nvT} f(2nT + t) \quad (5-5)$$

با توجه به رابطه (5-5) خطای گسسته‌سازی می‌تواند با انتخاب v به اندازه کافی بزرگ، کاهش یابد. خطای تجمعی به صورت زیر بیان می‌شود.

$$\begin{aligned} \text{Er2}(N, v, t, T) = \frac{e^{vt}}{T} & \left(\sum_{n=N+1}^{\infty} \text{Re} \left\{ \tilde{f}(v + i \frac{n\pi}{T}) \right\} \cos \frac{n\pi}{T} t - \sum_{n=N+1}^{\infty} \text{Im} \left\{ \tilde{f}(v + i \frac{n\pi}{T}) \right\} \sin \frac{n\pi}{T} t \right) \end{aligned} \quad (6-5)$$

در نهایت، مقادیر تابع $f(t)$ در روش دورباین با استفاده از رابطه زیر تخمین زده می‌شود.

$$\begin{aligned} f_N(t) = \frac{e^{vt}}{T} & \left[-\frac{1}{2} \text{Re} \left\{ \tilde{f}(v) \right\} + \sum_{n=0}^N \left\{ \text{Re} \left\{ \tilde{f} \left(v + i \frac{n\pi}{T} \right) \right\} \cos \frac{n\pi}{T} t - \text{Im} \left\{ \tilde{f} \left(v + i \frac{n\pi}{T} \right) \right\} \sin \frac{n\pi}{T} t \right\} \right] \end{aligned} \quad (7-5)$$

5-3-2- کاهش خطای گسسته‌سازی با استفاده از یک روش تصحیح‌کننده

با توجه به رابطه (5-5) و با انتخاب حاصل ضرب vT بزرگ، می‌توان خطای گسسته‌سازی را کاهش داد. اما با توجه به رابطه (6-5)، vT بزرگ موجب واگرایی خطای تجمعی می‌شود. روش تصحیح‌کننده، خطای گسسته‌سازی را بدون افزایش خطای تجمعی، کاهش می‌دهد.

با توجه به رابطه (4-5) و (7-5)، تخمین مقدار تابع در روش دورباین، به صورت زیر است.

$$f(t) = f_{\infty}(t) - \text{Er1}(v, t, T) \quad (8-5)$$

روش تصحیح‌کننده از رابطه تقریبی زیر استفاده می‌کند.

$$f(t) = f_{\infty}(t) - e^{-2vT} f_{\infty}(2T + t) - Er2(v, t, T) \quad (9-5)$$

خطای گسسته‌سازی $Er1(v, t, T)$ ، از خطای تجمعی $Er2(v, t, T)$ بسیار کوچکتر است [۶۲]. با فرض

خطای تجمعی (۶-۵)، رابطه تقریبی تخمین $f(t)$ در روش تصحیح‌کننده به صورت زیر بیان می‌شود.

$$f_{NK}(t) = f_N(t) - e^{-2vT} f_{N_0}(2T + t) \quad (10-5)$$

۵-۳-۳- شتاب همگرایی

در مطالعه هانینگ و هیردس [۶۲]، سه روش شتاب‌دهی الگوریتم ε ، روش مینیمم-ماکزیمم و روش

مبتنی بر برازش منحنی قابل استفاده هستند. برای $f_N(t)$ غیریکنوا^۱، الگوریتم ε و روش مینیمم-ماکزیمم در

حالت کلی نرخ همگرایی را به طور قابل ملاحظه‌ای افزایش می‌دهند. اما در مواردی چون تبدیلات اویلر توابع

یکنوا منجر به نتایج غیر قابل قبول می‌شوند. روش مبتنی بر برازش منحنی در این حالت موجب بهبود قابل توجه

نتایج می‌شود.

$$c_K = \frac{e^{vt}}{T} \left[\operatorname{Re} \left\{ F \left(v + i \frac{n\pi}{T} \right) \right\} \cos \frac{n\pi}{T} t - \operatorname{Im} \left\{ F \left(v + i \frac{n\pi}{T} \right) \right\} \sin \frac{n\pi}{T} t \right] \quad K = 0, 1, 2, \dots \quad (11-5)$$

در روش مبتنی بر برازش منحنی، مقدار تابع با استفاده از رابطه زیر تخمین زده می‌شود.

$$f_N(t) = \frac{1}{2} c_0 + \sum_{K=1}^N c_K \quad (12-5)$$

^۱ Non-Monotonous

۵-۴- نتایج

در این بخش، یک صفحه دارای ترک با هندسه و خواص ماده استفاده شده در بخش ۴-۴-۱ در نظر گرفته شده است. شرط مرزی گرمایی مسئله طبق رابطه (۴-۴۲) مورد استفاده قرار گرفته است. از مش یکنواخت 101×401 المان مستطیلی و گام زمانی 0.004 جهت مسئله استفاده شده است.

در حالت دوم تعداد المانها 5×11 در نظر گرفته شده است.

در هر دو حالت حل مسئله به دلیل حجم بالای محاسبات و کمبود حافظه کامپیوتر متوقف شده است.

متن خطای دو حالت فوق، در شکل‌های (۵-۱) و (۵-۲) نشان داده شده است.



```
Error using symengine
Out of memory.

Error in sym/privBinaryOp (line 308)
    Csym = mupadmex(op,args(1).s, args(2).s, varargin{:});

Error in \_ (line 321)
    X = privBinaryOp(A, B, 'symobj:mldivide');

Error in Beam (line 748)
    U_s=R_eq\(s.*F);

>>
```

شکل (۵-۱) متن خطای روش لاپلاس معکوس عددی با مش 101×401 المان

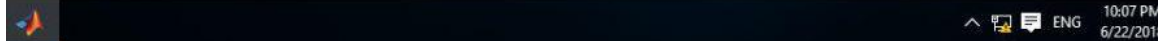
```
Error using mupadmex
Error in MuPAD command: Out of memory.
Evaluating: gcdlib::gcd_of_exprs

Error in sym/privBinaryOp (line 820)
    Csym = mupadmex(op,args(1).s, args(2).s, varargin{:});

Error in \ (line 281)
    X = privBinaryOp(A, B, 'symobj::mldivide');

Error in Beam (line 737)
    U_s=K_eq\ (s.*F);

>> |
```



شکل (۴-۵) متن خطای روش تبدیل لاپلاس معکوس عددی با مش 5×11 المان

فصل ۶:

نتیجه‌گیری و پیشنهادها

۶-۱- نتیجه گیری

در این پایان نامه، ضرایب شدت تنش ترک ایستا تحت شوک گرمایی با در نظر گرفتن تئوری ترموالاستیسیته گرین-نقدی در یک محیط محدود دوبعدی تعیین شده است. روش المان محدود توسعه یافته برای مدل سازی ترک و انتگرال برهم کنش جهت استخراج ضریب شدت تنش مورد استفاده قرار گرفته است. در مثال های متعدد نتایج تئوری گرین-نقدی با سایر تئوری های ترموالاستیسیته مانند لرد-شولمان، گرین-لیندزی و کلاسیک مقایسه شده است. اثر ضریب میرایی بر توزیع دمای نوک ترک و ضریب شدت تنش مورد بررسی قرار گرفته است. اثر استقلال از دامنه و نیز حساسیت مش بر نتایج مورد بررسی قرار گرفته است. بخشی از نتایج تحقیق حاضر به شرح زیر قابل بیان هستند.

۱. تغییرات زمانی دمای نوک ترک بر اساس مدل II تئوری گرین-نقدی یک موج مستطیلی است که با سایر تئوری های ترموالاستیسیته متفاوت است و به توزیع دمای پیش بینی شده توسط قانون فوریه همگرا نمی شود.

۲. برای ترک تحت شوک دمایی قبل از رسیدن موج گرما به نوک ترک، تاریخچه زمانی ضریب شدت تنش تئوری گرین-نقدی II و III مشابه مدل لرد-شولمان است. قله ضریب شدت تنش تئوری گرین-نقدی II و III از مدل های دیگر به طور قابل توجهی بزرگتر است. همچنین ضریب شدت تنش با رسیدن موج گرما به نوک ترک بیشینه می شود.

۳. در تئوری گرین نقدی III قله ضریب شدت تنش مود I به ازای ضرایب میرایی بزرگتر تحت شوک دمایی کاهش یافته و به تأخیر می افتد. در حالی که توزیع دما و ضریب شدت تنش مود I تحت شوک شار گرمایی به ازای ضرایب میرایی مختلف تغییر چندانی ندارد.

۴. هنگامی که توزیع دما تحت تأثیر مسیر ترک قرار می گیرد؛ یک ناحیه سرد متحرک در طول مسیر ترک ایجاد می شود که ممکن است دما در آن ناحیه از شرط مرزی گرمایی اعمال شده کمتر شود.

۶-۲- پیشنهادها

- "بررسی رشد ترک با در نظر گرفتن تئوری گرین-نقدی" جهت درک بهتر رفتار ترک و سازه
- "محاسبه ضرایب شدت تنش با در نظر گرفتن تئوری گرین-نقدی برای مواد تابعی (FGM)" جهت درک رفتار مواد تابعی در مقابل ترک با توجه به استفاده روزافزون از این مواد و نیز مقایسه این مواد با مواد همگن و همسانگرد
- "محاسبه ضرایب شدت تنش با در نظر گرفتن تئوری گرین-نقدی و خواص مکانیکی و گرمایی وابسته به دما" جهت داشتن پیش‌بینی دقیق‌تر رفتار ماده و مقایسه آن با حالت خواص ثابت
- "استخراج توابع وزنی ترک لبه‌ای" با استفاده از نتایج روش المان محدود توسعه یافته جهت استقلال تعیین ضرایب شدت تنش از هندسه و بارگذاری

پیوست الف

میدان‌های کمکی حوزه نوک ترک ساکن در محیط ایزوتروپیک همگن

میدان‌های تنش و جابجایی کمکی اطراف نوک ترک، میدان‌های مجانبی نوک ترک هستند. این میدان‌ها

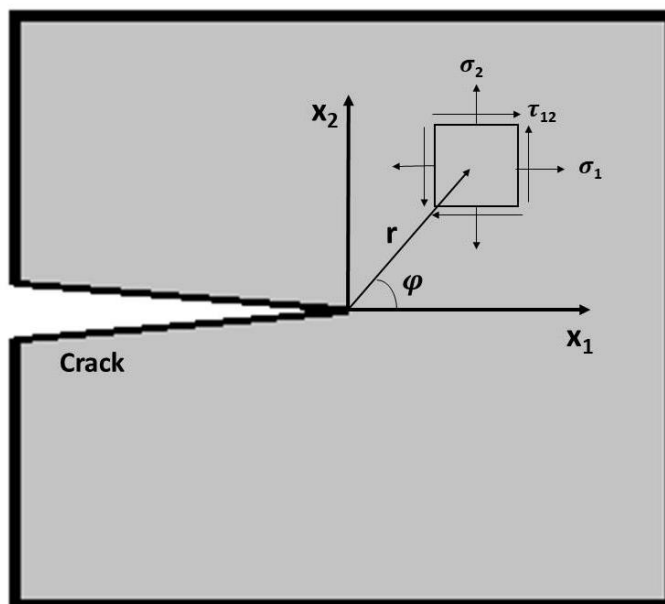
توسط ویلیامز [۶۵] ارائه شده‌اند. میدان‌های کمکی مد ۱ ترک ایستا در مختصات محلی نوک ترک به صورت

زیر هستند [۶۶]:

$$\sigma_1^{aux} = \frac{K_I^{aux}}{\sqrt{2\pi r}} \cos\left(\frac{\varphi}{2}\right) \left[1 - \sin\left(\frac{\varphi}{2}\right) \sin\left(\frac{3\varphi}{2}\right)\right] \quad (\text{الف-۱})$$

$$\sigma_2^{aux} = \frac{K_I^{aux}}{\sqrt{2\pi r}} \cos\left(\frac{\varphi}{2}\right) \left[1 + \sin\left(\frac{\varphi}{2}\right) \sin\left(\frac{3\varphi}{2}\right)\right] \quad (\text{الف-۲})$$

$$\tau_{12}^{aux} = \frac{K_I^{aux}}{\sqrt{2\pi r}} \cos\left(\frac{\varphi}{2}\right) \sin\left(\frac{\varphi}{2}\right) \cos\left(\frac{3\varphi}{2}\right) \quad (\text{الف-۳})$$



شکل الف-۱- دستگاه مختصات محلی نوک ترک

$$u_1^{aux} = \frac{K_I^{aux}}{2\mu_{Tip}} \sqrt{\frac{r}{2\pi}} \cos\left(\frac{\varphi}{2}\right) \left[\kappa_{Tip} - 1 + 2\sin^2\left(\frac{\varphi}{2}\right)\right] \quad (\text{الف-۴})$$

$$u_2^{aux} = \frac{K_I^{aux}}{2\mu_{Tip}} \sqrt{\frac{r}{2\pi}} \sin\left(\frac{\varphi}{2}\right) \left[\kappa_{Tip} + 1 - 2\cos^2\left(\frac{\varphi}{2}\right) \right] \quad (\text{الف-۵})$$

در روابط فوق κ ضریب کلوسوف^۱ است.

$$\kappa = \begin{cases} (3 - \nu)/(1 + \nu) & \text{تنش صفحه‌ای} \\ 3 - 4\nu & \text{کرنش صفحه‌ای} \end{cases} \quad (\text{الف-۶}) [۶۷]:$$

میدان‌های کمکی ترک مد II نیز به صورت زیر قابل بیان هستند:

$$\sigma_1^{aux} = \frac{-K_{II}^{aux}}{\sqrt{2\pi r}} \sin\left(\frac{\varphi}{2}\right) \left[2 + \cos\left(\frac{\varphi}{2}\right) \cos\left(\frac{3\varphi}{2}\right) \right] \quad (\text{الف-۷})$$

$$\sigma_2^{aux} = \frac{K_{II}^{aux}}{\sqrt{2\pi r}} \sin\left(\frac{\varphi}{2}\right) \cos\left(\frac{\varphi}{2}\right) \cos\left(\frac{3\varphi}{2}\right) \quad (\text{الف-۸})$$

$$\tau_{12}^{aux} = \frac{K_{II}^{aux}}{\sqrt{2\pi r}} \cos\left(\frac{\varphi}{2}\right) \left[1 - \sin\left(\frac{\varphi}{2}\right) \sin\left(\frac{3\varphi}{2}\right) \right] \quad (\text{الف-۹})$$

$$u_1^{aux} = \frac{K_{II}^{aux}}{2\mu_{Tip}} \sqrt{\frac{r}{2\pi}} \sin\left(\frac{\varphi}{2}\right) \left[\kappa_{Tip} + 1 + 2\cos^2\left(\frac{\varphi}{2}\right) \right] \quad (\text{الف-۱۰})$$

$$u_2^{aux} = \frac{-K_{II}^{aux}}{2\mu_{Tip}} \sqrt{\frac{r}{2\pi}} \cos\left(\frac{\varphi}{2}\right) \left[\kappa_{Tip} - 1 - 2\sin^2\left(\frac{\varphi}{2}\right) \right] \quad (\text{الف-۱۱})$$

میدان‌های کمکی فوق، مربوط به مختصات محلی نوک ترک هستند. تنش‌های دستگاه مختصات

سراسری با استفاده از روابط زیر به دستگاه مختصات محلی تبدیل می‌شوند:

$$\sigma_1^g = \sigma_1^l \cos^2 \omega + \sigma_2^l \sin^2 \omega - \tau_{12}^l \sin(2\omega) \quad (\text{الف-۱۲})$$

$$\sigma_2^g = \sigma_1^l \sin^2 \omega + \sigma_2^l \cos^2 \omega + \tau_{12}^l \sin(2\omega) \quad (\text{الف-۱۳})$$

$$\tau_{12}^g = \tau_{12}^l \cos(2\omega) + 0.5(\sigma_1^l - \sigma_2^l) \sin(2\omega) \quad (\text{الف-۱۴})$$

در روابط فوق l نشان‌دهنده دستگاه مختصات محلی و g دستگاه مختصات سراسری است. ω زاویه بین

دستگاه‌های مختصات محلی و سراسری است.

^۱ Kolosov Coefficient

منابع

- [1] Bagri A., and Eslami M. R. (2008) “Generalized coupled thermoelasticity of functionally graded annular disk considering the Lord–Shulman theory” **Composite Structures**, 83, pp 168-179.
- [2] Peshkov V. (1947) “Determination of the velocity of propagation of the second sound in helium II” **In Report of an international conference on fundamental particles and low temperatures: Low temperatures**, 2, pp 19-32.
- [3] Peshkov V. (1944) “Second sound in liquid helium” **J. Phys.**, 8, pp 381.
- [4] Ackermann C., Bertram B., Fairbank H. and Gyuer R. (1966) “Second sound in solid helium” **Phys. Rev.**, 16, pp 789-791.
- [5] Chester M. (1963) “Second Sound in Solids” **Phys. Rev.**, 131, pp 2013-2015.
- [6] Mitra K., Kumar S., Vedavarz A. and Moallemi M. K. (1995) “Experimental evidence of hyperbolic heat conduction in processed meat” **J. Heat Transfer**, 117, pp 568-573.
- [7] Tzou D. Y. (1995) “The generalized lagging response in small-scale and high-rate heating” **Int. J. Heat Mass Transfer**, 38, pp 3231-3234.
- [8] Babaei M. H. and Chen Z. T. (2010) “Transient hyperbolic heat conduction in a functionally graded hollow cylinder” **Thermophys. Heat Transfer**, 24, pp 325-330.
- [9] Chandrasekharaiah D. S. (1986) “Thermoelasticity with second sound” A Review, **Appl. Mech. Rev.**, 39, pp 355-376.
- [10] Chandrasekharaiah D.S. (1998) “Hyperbolic Thermoelasticity” A Review of Recent Literature, **Appl. Mech. Rev.**, 51, pp 705-729.
- [11] Joseph D. D. and Preziosi L. (1989) “Heat waves” **Rev. Mod. Phys.**, 61, pp 41-73.
- [12] Joseph D. D. and Preziosi L. (1990) “Heat waves: addendum” **Rev. Mod. Phys.**, 62, pp 375-391.
- [13] Fu J. W., Chen Z. T. and Qian L. F. (2015) “Coupled thermoelastic analysis of a multi-layered hollow cylinder based on the C–T theory and its application on functionally graded materials” **compos. Struct.**, 131, pp 139-150.
- [14] Hetnarski R. B. and Eslami M. R. (2009) “**Thermal Stresses – Advanced Theory and Applications**” Springer.
- [15] Green A. and Naghdi P. (1993) “Thermoelasticity without energy dissipation” **J. Elasticity**, 31, pp 189-208.
- [16] Green A. and Naghdi P. (1992) “On undamped heat waves in an elastic solid” **J. Therm. Stress.**, 15, pp 253-264.
- [17] Green A. and Naghdi P. (1991) “A re-examination of the basic postulates of thermomechanics” **Proc. Roy. Soc., London A**, 432, pp 171-194.
- [18] Bargmann S. (2013) “**Remarks on the Green–Naghdi theory of heat conduction**” *J. Non-Equilib. Thermodyn.*

- [19] Chandrasekharaiah D. S. (1996) "One-Dimensional Wave Propagation in the Linear Theory of Thermoelasticity Without Energy Dissipation" **J. Therm. Stress.**, 19, pp 695-710.
- [20] Chandrasekharaiah D. S. and Srinath K. S. (1997) "Axisymmetric Thermoelastic Interactions Without Energy Dissipation in an Unbounded Body with Cylindrical Cavity" **J. Elasticity**, 46, pp 19-31.
- [21] Chandrasekharaiah D. S. and Srinath K. S. (1998) "Thermoelastic Interactions Without Energy Dissipation Due to a Point Heat Source" **J. Elasticity**, 50, pp 97-108.
- [22] Sharma J. N. and Chauhan R. S. (2001) "Mechanical and Thermal Sources in a Generalized Thermoelastic Half-Space" **J. Therm. Stress.**, 24, pp 651-675.
- [23] Li H. and Dhaliwal R. S. (1996) "Thermal Shock Problem in Thermoelasticity Without Energy Dissipation" **Indian J. Pure Appl. Math.**, 27, pp 85-101.
- [24] Bagri A. and Eslami M. R. (2007) "A unified generalized thermoelasticity; solution for cylinders and spheres" **Int. J. Mech. Sci.**, 49, pp 1325-1335.
- [25] Bagri A., Taheri H., Eslami M. R. and Fariborz S. J. (2006) "Generalized coupled thermoelasticity of a layer" **J. Therm. Stress**, 29, pp 359-370.
- [26] Hosseini S. M. and Abolbashari M. H. (2012) "Analytical Solution for thermoelastic waves propagation analysis in thick hollow cylinder based on Green-Naghdi model of coupled thermoelasticity" **J. Therm. Stresses**, 35, pp 363-376.
- [27] Shariyat M. (2012) "Nonlinear Transient Stress and Wave Propagation Analyses of the FGM Thick Cylinders, Employing a Unified Generalized Thermoelasticity Theory" **Int. J. Mech. Sci**, 65, pp 24-37.
- [28] Hosseini S.M. (2009) "Coupled thermoelasticity and second sound in finite length functionally graded thick hollow cylinders (without energy dissipation)" **Mater. Des**, 30, pp 2011-2023.
- [29] Erdogan F. and Wu B. H. (1996) "Crack problems in FGM layers under thermal stresses" **J. Therm. Stress.**, 19, pp 237.
- [30] Noda N. and Guo L. C. (2008) "Thermal shock analysis for a functionally graded plate with a surface crack" **Acta Mechanica**, 195, pp 157.
- [31] Vafa J. P. and Fariborz S. J. (2018) "Analysis of cracked layers under transient temperature field" **J. Therm. Stress.**, 41, pp 658-686.
- [32] Portela A. and Aliabadi M. H. (1992) "The Dual BEM Effective Implementation for Crack Problems" **Int. J. Num. Meth. Eng.**, 33, pp 1269-1287.
- [33] Prasad N. N. V., Aliabadi M. H. and Rooke D.P. (1996) "The Dual Boundary Element Method for Transient Thermoelastic Crack Problems" **Int. J. Solids Struct**, 33, pp 2695-2718.
- [34] Dell'Erba D. N., Aliabadi M. H. and Rooke D. P. (1998) "Dual Boundary Element Method for Three-Dimensional Thermoelastic Crack Problems" **Int. J. Fract**, 94, pp 89-101.

- [35] Ekhlakov A. V., Khay O. M., Zhang CH, Sladek J. and Sladek V. (2012) “A BDEM for transient thermoelastic crack problems in functionally graded materials under thermal shock” **Comput. Mater. Sci.**, 57, pp 30-37.
- [36] Ekhlakov A. V., Khay O. M., Zhang CH., Sladek J. and Sladek V. (2012) “Thermoelastic crack analysis in functionally graded materials and structures by a BEM” **Fatigue & Fract. of Eng. Mater. & Struct.**, 35, pp 742-766.
- [37] Hosseini-Tehrani P., Eslami M. R. and Daghyani H. R. (2001) “Dynamic Crack Analysis Under Coupled Assumption” **Trans. ASME J. Appl. Mech.**, 38, pp 584-588.
- [38] Hosseini-Tehrani P. and Hosseini-Godarzi A. R. (2004) “Dynamic crack analysis under thermal shock considering Lord-shulman theory” **Int. J. Therm. Sci.**, 43, pp 1003-1010.
- [39] Hosseini-Tehrani P., Eslami M. R. and Azari S. H. (2006) “Analysis of Thermoelastic Crack Problems Using Green–Lindsay Theory” **J. Therm. Stress.**, 29, pp 317-330.
- [40] Hosseini-Tehrani P., Hosseini-Godarzi A. R. and Tavangar M. (2005) “Boundary element analysis of stress intensity factor K-I in some two-dimensional dynamic thermoelastic problems” **Eng. Anal. Bound. Elem.**, 29, pp 232-240.
- [41] Zamani A., Hetnarski R. B. and Eslami M. R. (2011) “Second Sound in a Cracked Layer Based on the Lord-Shulman Theory” **J. Therm. Stress.**, 34, pp 181-200.
- [42] Zamani A. and Eslami M. R. (2009) “Coupled Dynamical Thermoelasticity of a Functionally Graded Cracked Layer” **J. Therm. Stress.**, 32, pp 969-985.
- [43] Mohammadi S. (2012) “**XFEM fracture analysis of composites**” Oxford, UK: Blackwell Publishing Ltd.
- [44] Zamani A., Gracie R. and Eslami M. R. (2012) “Cohesive and non-cohesive fracture by higher-order enrichment of XFEM” **Int. J. Nume. Meth. Engin.**, 90, pp 452-483.
- [45] Hosseini S. S., Bayesteh H. and Mohammadi S. (2013) “Thermo-mechanical XFEM crack propagation analysis of functionally graded materials” **Mater. Sci. Eng.**, 561, pp 285-302.
- [46] Goli E., Bayesteh H. and Mohammadi S. (2014) “Mixed mode fracture analysis of adiabatic cracks in homogeneous and non-homogeneous materials in the frame-work of partition of unity and the path-independent interaction integral” **Eng. Fract. Mech.**, 131, pp 100-127.
- [47] Zarmehri N. R., Nazari M. B. and Rokhi M. M. (2018) “XFEM analysis of a 2D cracked finite domain under thermal shock based on Green-Lindsay theory” **Eng. Fract. Mech.**, 191, pp 286-299.
- [48] Esmati V., Nazari M. B. and Rokhi M. M. (2018) “Implementation of XFEM for Dynamic thermoelastic crack analysis under non-classic thermal shock” **Theor. Appl. Fract. Mec.**, 95, pp 42-58.
- [49] Kirugulige M. S. (2007), Ph.D thesis, “**A study of mixed-mode dynamic fracture in advanced particulate composites by optical interferometry, digital image correlation and finite element methods**” Auburn University.

- [50] Belytschko T. and Black T. (1999) "Elastic crack growth in finite elements with minimal remeshing" **Int. J. Nume. Meth. Engin.**, 45, pp 601-620.
- [51] Moes N., Dolbow J. and Belytschko T. (1999) "A finite element method for crack growth without remeshing" **Int. J. Nume. Meth. Engin.**, 46, pp 131-150.
- [52] Belytschko T., Gracie R. and Ventura G. (2009) "A Review of Extended/Generalized Finite Element Methods for Material Modelling" **Modelling Simul. Mater. Sci. Eng.**, 17, pp 1-24.
- [53] Mohammadi S. (2008) "**Extended Finite Element Method**" Blackwell Publishing Ltd.
- [54] Dufloot M. (2008) "The extended finite element method in thermoelastic fracture mechanics" **Int. J. for Num. Methods in Engin.**, 74, pp 827-847.
- [55] Zamani A. and Eslami M. R. (2010) "Implementation of the extended finite element method for dynamic thermoelastic fracture initiation" **Int. J. Solids and Struct.**, 47, pp 1392-1404.
- [56] KC A. and Kim J. H. (2008) "Interaction integrals for thermal fracture of functionally graded materials" **Eng. Frac. Mech.**, 75, pp 2542-2565.
- [57] Chessa J., Wang H. and Belytschko T. (2003) "On the construction of blending elements for local partition of unity enriched finite elements" **Int. J. Numer. Meth. Eng.**, 57, pp 1015-1038.
- [58] Lee K. Y. and Sim K. B. (1990) "Thermal shock stress intensity factor by Bueckner's weight function method" **Eng. Fract. Mech.**, 37, pp 799-804.
- [59] Narayanamurti V. and Dynes R. C. (1972) "Observation of second sound in bismuth" **Phys. Rev. Lett.**, 28, pp 1461.
- [60] El-Karamany A. S. and Ezzat M. A. (2011) "On the Two-Temperature Green-Naghdi Thermoelasticity Theories" **J. Therm. Stress.**, 34:12, pp 1207-1226.
- [61] Chen T. C. and weng C. I. (1988) "Generalized coupled transient thermoelastic plane problems by laplace transform/finite element method", **J. App. Mec.**, 55, pp 377-382.
- [62] Honig G. and Hirdes U. (1984) "A method for the numerical inversion of Laplace transform" **J. Comp. Appl. Math.**, 10, pp 113-132.
- [63] Dubner H. and Abate J. (1968) "Numerical inversion of Laplace transforms by relating them to the finite Fourier cosine transform" **J. ACM.**, 15, pp 115-123.
- [64] Durbin F. (1973) "Numerical inversion of Laplace transforms: an effective improvement of Dubner and Abate's method" **Comput. J.**, 17, pp 371-376.
- [65] Williams M. L. (1957) "On the stress distribution at the base of a stationary crack" **J. Appl. Mech., Trans. ASME.**, 24(1), pp 109-114.
- [66] Anderson T. L. (1995) "**Fracture mechanics**" 2nd edition, CRC Press LLC, Florida, USA.
- [67] Menouillard T., Song J. H., Duan Q. and Belytschko T. (2010) "Time dependent crack tip enrichment for dynamic crack propagation" **Int. J. Fract.**, 162, pp 33-49.

Abstract

In this thesis, a cracked finite isotropic medium under a non-classic thermal shock is studied. The fully coupled dynamic thermoelasticity equations based on the Green-Naghdi theory of thermoelasticity are considered. The extended finite element method is employed to discrete governing equations in the space, and the Newmark scheme is used as the time integration method. The stress intensity factors, which are extracted using the interaction integral method, are compared with other theories of thermoelasticity. The effect of damping coefficient on the time history of stress intensity factors and temperature field is investigated. Furthermore, the crack tip temperature distribution, which disturbs the temperature distribution, based on the type II and III are compared. The results of a cracked plate under temperature shock demonstrated that the stress intensity factors based on thermoelasticity without energy dissipation were significantly greater than those based on classic and Lord-Shulman models. Whereas, the peak of stress intensity factors under heat flux shock are nearly equal for various theories of thermoelasticity.

Keywords

Stress Intensity Factors (SIFs); eXtended Finite Element Method (XFEM); Thermal shock; Green-Naghdi Theory.



Shahrood University of Technology

Faculty of Mechanical Engineering

Computation of stress intensity factors for an isotropic medium
subjected to thermal shock considering Green-Naghdi theory and
using eXtended Finite Element Method

Mohammad Shahsavan Taqan

Thesis

Submitted in partial fulfillment of the requirements for the degree of
Master of Science (M. Sc)

Supervisor

Dr. Mohammad Bagher Nazari

Dr. Masoud Mahdizadeh Rokhi

January 2019